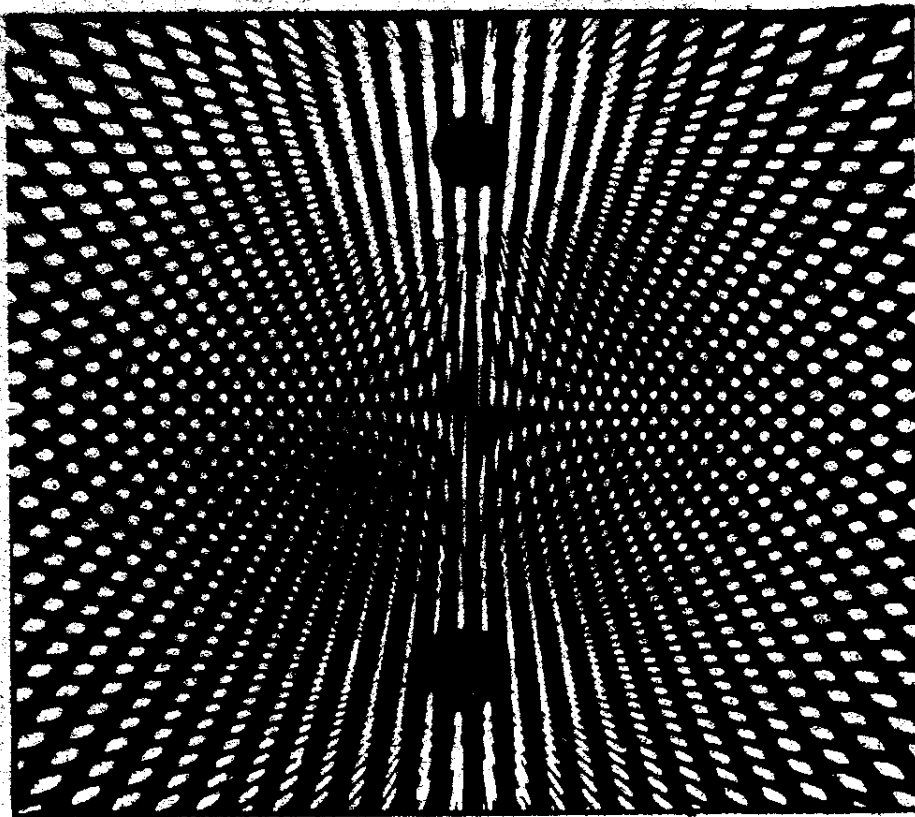


С. Н. Козлов

Матрица
Московского
университета



ФИЗИКА

КОЛЕБАНИЯ

И ВОЛНЫ

Отсканировано: Кузнецов М.В.

Бугайчук О.В.

Техническая поддержка:

Ефимова А.И.



1991

БК 22.31
К 59
УДК 531

Рецензенты: доктор физико-математических наук
профессор Б.А.Струнов,
доктор физико-математических наук
профессор В.И.Николаев

Печатается по постановлению
Редакционно-издательского Совета
Московского университета

Козлов С.Н.
К59 Колебания и волны.-М.: Изд-во МГУ, 1991.-152 с.
ISBN 5-411-01963-6.

С единых позиций рассмотрены механические и электромагнитные колебательные процессы, а также распространение упругих и электромагнитных волн в однородной среде.
Для студентов химического факультета.

077 (02) - 91 - заказное

БК 22.31

ISBN 5-211-01963-6

© Московский государственный университет, 1991 г.

Глава I. КОЛЕБАНИЯ	
§ 1. Колебания систем с одной степенью свободы. Гармонический осциллятор	1
§ 2. Модель термодинамического осциллятора в кванте	4
§ 3. Свободные колебания связанных систем	9
§ 4. Затухающие колебания	14
§ 5. Вынужденные колебания	19
Глава II. ВОЛНЫ	
§ 1. Классическое дифференциальное волновое уравнение	26
§ 2. Уравнение волны	28
§ 3. Энергия упругой волны	31
§ 4. Электромагнитные волны в системе связанных контуров и в двухпроводной линии	34
§ 5. Электромагнитные волны в однородной непрозрачной среде	36
§ 6. Энергия электромагнитной волны	40
Глава III. ИНТЕРФЕРЕНЦИЯ ВОЛН	41
§ 1. Наложение волн	43
§ 2. Интерференция волн от двух точечных источников	46
§ 3. Условии наблюдения интерференции	46
§ 4. Стоячие волны	51
§ 5. Интерференция волн, отраженных от двух поверхностей	54
Глава IV. ДИФРАКЦИЯ ВОЛН	
§ 1. Принцип Гюйгенса-Френеля. Метод зон Френеля	57
§ 2. Дифракция Френеля от щели	65
§ 3. Дифракция Фраунгофера от щели	70
§ 4. Квантово-механическая дифракционная явленция	72
§ 5. Дифракция Фраунгофера от светлых щелей	76
§ 6. Характеристики дифракционной решетки как спектрального аппарата	80
Глава V. ПОЛИРИЗАЦИЯ ВОЛН	
§ 1. Поляризация волн при изотропном поглощении	83
§ 2. Поляризация света при отражении и рассеянии	86
§ 3. Поляризация света при двойном лучепределении	94

§ 1. Колебания систем с одной степенью свободы.
Гармонический осциллятор

Коллебателные процессы, т.е. процессы, характеризующиеся определенной повторяемостью во времени, весьма часто встречаются в природе, а также находят широкое применение в технике. Неосознаваемые здесь на примерах колебательных процессов, попытаемся выяснить физические причины столь широко их распространения в самых разных системах (от атомов и молекул до галактических звезд). Для этого вспомним, что фундаментальную роль в природе играет гравитационные и электростатические взаимодействия. Если сил гравитации и электростатические обладают одним важным общим свойством — они являются потенциальными (могут быть охарактеризованы потенциальной энергией U). В дальнейшем для простоты мы будем полагать, что имеем дело с однородной системой (т.е. системой с одной степенью свободы), в которой потенциальная энергия — функция только одной координаты x . В качестве примера на

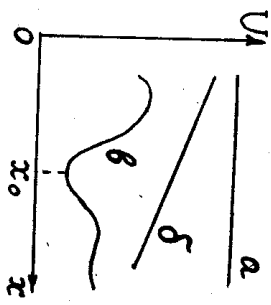


Рис. I

постоянная по величине сила $F_x = -dU/dx = \text{const}$, направленная по оси x ; происходит равноускоренное движение по этой оси. Очевидно, наиболее общая ситуация изображена на рис. I (в) — потенциальная энергия в этом случае зависит от координаты каким-то более сложным образом (конкретный вид этой зависимости не играет существенной роли в наших рассуждениях).

Предположим, что система находится вблизи одного из минимумов потенциальной энергии — в окрестности точки x_0 . Считая, что функция $U(x)$ непрерывна и имеет все производные

стр.

§ 4. Эллиптические и круговые (шпрингера) подризации света 98

§ 5. Интерференция подризованного света 104

§ 6. Искусственная оптическая анизотропия 107

§ 7. Оптическая активность 111

Глава VI. ВОЛНОВЫЕ ПАКЕТЫ И ИМПУЛЬСЫ

§ 1. Волновое уравнение Волны 117

§ 2. Корреляционные волнового пакета 118

§ 3. Распространение волновых пакетов 124

§ 4. Волновые пакеты и импульсы произвольной формы 129

§ 5. Дурье-сигналы волновых пакетов и импульсов 133

§ 6. Представление о дурье-спектральности 140

ПРЕДВАРИТЕЛЬНЫЕ МЕТОДЫ ИССЛЕДОВАНИЯ

§ 1. Интерференционные компараторы 143

§ 2. Интерференционный рефрактометр Лавенка 144

§ 3. Интерференционный спектральный аппарат Фабри-Перо 147

ЛИТЕРАТУРА 150

при $x = x_0$, можно разложить ее вблизи этой точки в ряд Тейлора:

$$U(x) = U(x_0) + [dU/dx(x_0)](x-x_0) + [1/2 \cdot d^2U/dx^2(x_0)](x-x_0)^2 + \dots \quad (1.1)$$

Очевидно, при малых отклонениях от точки x_0 основную роль будет играть член с наименьшей степенью $\xi = x - x_0$. Учитывая, что в минимуме $dU/dx = 0$, разложение (1.1) приближенно можно переписать в виде:

$$U(x) \approx U(x_0) + [1/2 d^2U/dx^2(x_0)] \xi^2 = U(x_0) + K \xi^2/2. \quad (1.2)$$

В этом случае на систему вблизи точки $x = x_0$ будет действовать сила

$$F_x = -dU/dx = -d^2U/dx^2(x_0) \cdot \xi = -K \xi. \quad (1.3)$$

Легко видеть, что эта сила всегда направлена в сторону, противоположную отклонению системы от точки x_0 ("точки равновесия"), поэтому часто эту силу называют возвращающей. Поскольку величина возвращающей силы пропорциональна отклонению системы от положения равновесия (как для идеальной пружины) эту силу называют квазиупругой.

Второй закон динамики для системы, находящейся вблизи положения равновесия (точки $x = x_0$), запишется с учетом вышесказанного в форме

$$m \ddot{\xi} = -K \xi. \quad (1.4)$$

Общее решение этого дифференциального уравнения может быть записано в виде гармонической функции

$$\xi = A \cdot \cos(\omega_0 t + \varphi_0). \quad (1.5)$$

Здесь A и φ_0 - независимые произвольные постоянные. Подстановка (1.5) легко укажет, что частота собственных гармонических колебаний системы $\omega_0 = \sqrt{K/m}$. Величина A называется амплитудой, $\varphi = \omega_0 t + \varphi_0$ - фазой, φ_0 - начальной фазой колебаний. Для определения двух параметров колебательного процесса - амплитуды колебаний и начальной фазы в каждом конкретном случае, нужно знать два начальных условия - начальное отклонение системы от положения равновесия и начальную скорость $\dot{\xi} = \dot{\xi}(t=0)$.

Таким образом, гармоническим осциллятором является любой система, совершающая колебания по закону (1.5) и, соответственно, подчиняющаяся дифференциальному уравнению

$x''(c.c.a.) \approx$ гармонич. колебл. с частотой $\omega_0 = \sqrt{K/m}$

второго порядка (1.4)). Подчеркнем, что гармонический осциллятор - некая физическая идеализация. Модель гармонического осциллятора может быть использована только в тех случаях, когда пренебрежимо пренебрежение членами высших порядков в разложении 1.1 (т.е. когда амплитуда колебаний достаточно мала).

В заключение этого параграфа продemonстрируем полноту аналогии в описании механических и электрических колебаний.

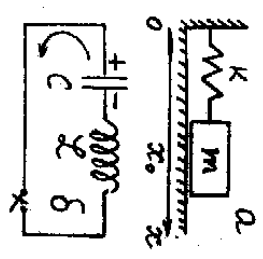


Рис. 2

На рис. 2, а показан простейший механический осциллятор - тело массой m на пружине с коэффициентом упругости K . Второй закон Ньютона для рассматриваемой системы выглядит так (без учета сил трения):

$$m \ddot{x} = -K x. \quad (1.6)$$

Для электрического контура без потерь (см. рис. 2, б) сумма напряжений на конденсаторе U_C и индуктивности U_L равна нулю:

$$U_C + U_L = 0. \quad (1.7)$$

Учитывая, что $U_C = q/C$, $U_L = L di/dt$, имеем:

$$L \dot{q} + q/C = 0, \quad \dot{q} = -dq/dt, \quad \text{имеем:} \quad (1.8)$$

где q - заряд конденсатора, C - емкость, L - индуктивность, \dot{q} - величина тока в контуре.

Легко видеть, что уравнения (1.6) и (1.8) полностью аналогичны и эквивалентны уравнению (1.4). Решения их имеют вид (1.5); необходимо только для электрической системы вместо ξ , m и K использовать q , L и $1/C$, соответственно ($A \rightarrow q_0$).

Энергия механического осциллятора складывается из кинетической энергии тела T и потенциальной энергии деформированной пружины:

$$W = U + T = K \xi^2/2 + m \dot{\xi}^2/2 = K A^2/2. \quad (1.9)$$

Используя найденную аналогию между параметрами механической и электрической систем, получим энергию, запасенную в электрическом контуре, можно записать в виде

$$W = q^2/2C + L \dot{q}^2/2 = q_0^2/2C. \quad (1.10)$$

Первое слагаемое в соотношении (1.10) представляет собой энергию электрического поля конденсатора, второй член - энергию магнитного поля катушки индуктивности.

$\text{В) } \text{малл} \dot{q} \quad \mathcal{E}_L = -L \frac{dq}{dt}$

§ 2. МОДЕЛЬ ГАРМОНИЧЕСКОГО ОСЦИЛЛЯТОРА В ТИПЕ

Несмотря на идеализированный характер модели гармонического осциллятора (отсутствии потерь энергии, малые колебания), использование этой модели в ряде случаев позволяет быстро найти достаточно точные ответы на вопросы, касающиеся некоторых особенностей колебаний атомов и молекул. Приведем наиболее простые примеры задач такого рода.

1. Найдем частоту собственных колебаний двуатомной молекулы (массы атомов m_1 и m_2 , коэффициент упругости, характеризующий межатомную связь $-K$) - см. рис. 3. Уравнение динамики для первого атома запишется в виде (ξ_1 и ξ_2 - отклонения атомов от их равновесных положений):

$$m_1 \ddot{\xi}_1 = -K(\xi_1 - \xi_2). \quad (I.11)$$

Поскольку центр масс молекулы должен оставаться неподвижным в процессе колебаний, величина ξ_1 и ξ_2 связаны соотношением $m_1 \xi_1 = -m_2 \xi_2$. Заменяя в (I.11) ξ_2 на $-\xi_1 m_1 / m_2$, приходим к уравнению одномерного гармонического осциллятора, где роль массы играет величина $\mu = m_1 m_2 / (m_1 + m_2)$, называемая "приведенной массой":

$$\mu \ddot{\xi}_1 = -K \xi_1. \quad (I.12)$$

Отсюда очевидно, что частота собственных колебаний двуатомной молекулы:

$$\omega_0 = \sqrt{K/\mu} = \sqrt{K(m_1 + m_2)/m_1 m_2}. \quad (I.13)$$

Если массу одного из атомов устремить к бесконечности, мы вернемся к модели, изображенной на рис. 2, а; причем вместо приведенной массы в (I.13) останется только масса легкого атома.

2. Опеним различие частот собственных колебаний свободных (не связанных с другими молекулами) "обичных" и "тяжелых" гидроксидов O-H и O-D. Обозначая m_0 , m_1 и m_2 массы атомов кислорода, водорода и тяжелого водорода и используя соотношение (I.13), получаем искомое отношение частот:

$$\omega_{O-H} / \omega_{O-D} = \sqrt{m_0(m_1 + m_2) / m_1(m_0 + m_2)}. \quad (I.14)$$

Отсюда следует, что частота собственных колебаний "обичных"

гидроксидов на ~ 37% выше, чем "тяжелых". Это хорошо подтверждается экспериментально, а методика изотопного лейттер-обмена широко используется в инфракрасной спектроскопии для идентификации колебательных спектров водород-содержащих фрагментов в исследуемом веществе.

3. Определим, как относятся частоты собственных колебаний свободных и связанных гидроксидов (например, гидроксидов, связанных с поверхностями атомов твердого тела, диссоциированных молекул). Полагая, что для связанного гидроксидов $m_2 \gg m_1$, $m_1 = m_0$, получаем:

$$\omega_{O-H}^{своб} / \omega_{O-H}^{связ} = \sqrt{(m_0 + m_1) / m_0} \approx 1,031. \quad (I.15)$$

С помощью современной аппаратуры легко зарегистрировать отличие в частоте собственных колебаний молекул на сотни и тысячи процентов, так что разница в 3,1% следствия из (I.15), представляет собой треманный эффект, который уже давно экспериментально наблюдается.

4. Не составляет большого труда найти отличие частот собственных колебаний свободных молекул типа H₂, H₂O, NH₃, H₂O₂. Предлагаям выполнить соответствующие вычисления самостоятельно и сравнить полученные результаты со справочными данными.

§ 3. СВОБОДНЫЕ КОЛЕБАНИЯ СВЯЗАННЫХ СИСТЕМ

В большинстве практических реальных случаев приходится иметь дело с осцилляторами, взаимодействующими между собой. Например, молекулы жидкости, газа или твердого тела полвертаются взаимодействуют со стороны соседних молекул. Электрические цепи тоже, как правило, состоят из двух или нескольких взаимнодействующих контуров. Вообще говоря, количество таких связанных осцилляторов в исследуемой системе может быть очень большим. Тем не менее мы покажем, что основные особенности колебаний в системе связанных осцилляторов становятся понятными, если рассмотреть задачу о простейшей системе такого рода, состоящей всего лишь из двух взаимодействующих между собой осцилляторов.

В качестве примера рассмотрим простую механическую модель двух гидроксидных групп, взаимодействующие между собой осуществляется через водородную связь. В этой модели, пока-

Величина ω называется частотой колебаний. Вектор \vec{r} называется нормальным вектором к поверхности. Вектор \vec{r} называется нормальным вектором к поверхности. Вектор \vec{r} называется нормальным вектором к поверхности.

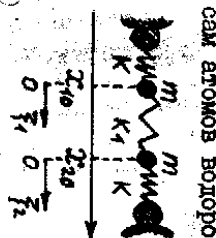


Рис. 4

сам атомов водорода, пружинки с коэффициентами упругости K моделирует O-H связь. Будем полагать, что два атома кислорода либо расположены на поверхности твердого тела, либо прочно связаны с большими молекулами. С точки зрения модельных представлений в этом случае концы пружинки можно считать жестко фиксированными. Водородную связь между атомами кислорода будем моделировать пружиной с коэффициентом упругости K_1 . Напомним, что силовые константы связей K и K_1 можно найти, если известна зависимость потенциальной энергии взаимодействия между атомами от расстояния между ними - см. соотношение (1.2). Для простоты будем считать, что движение атомов водорода происходит только по оси X ; силами трения пренебрежем. Введем величины отклонений атомов от положений равновесия x_{10} и x_{20} :

$$m \ddot{x}_1 = -K x_1 - K_1 (x_1 - x_2), \quad (1.16)$$

$$m \ddot{x}_2 = -K x_2 + K_1 (x_1 - x_2). \quad (1.17)$$

Легко видеть, что соотношения (1.16) и (1.17) не являются уравнениями тармонических колебаний. В каждом из этих уравнений входит две независимые величины - координаты x_1 и x_2 . Отсюда очевидно, что в общем случае движение каждого атома не будет представлять собой простое тармоническое колебание.

Покажем, однако, что заменой переменных можно свести систему уравнений (1.16) и (1.17) к двум независимым линейным дифференциальным уравнениям, каждое из которых будет уравнением тармонических колебаний. Для этого сначала сложим, а затем вычтем почленно правые и левые части соотношений (1.16) и (1.17). После этих элементарных процедур получим:

$$m \ddot{z}_I = -K z_I, \quad (1.18)$$

$$m \ddot{z}_{II} = -(K + 2K_1) z_{II}. \quad (1.19)$$

Здесь в качестве новых независимых переменных использованы величины $z_I = x_1 + x_2$ и $z_{II} = x_1 - x_2$. Введенные нами новые

10

В. Х. Чисел в бортовой памяти компьютера. В. Х. Чисел в бортовой памяти компьютера. В. Х. Чисел в бортовой памяти компьютера.

координаты z_I и z_{II} называются нормальными. Таким образом, нормальные координаты - такие координаты, введение которых позволяет свести уравнения движения системы связанных тел (каждое такое уравнение зависит от нескольких переменных) к системе линейных дифференциальных уравнений с постоянными коэффициентами, каждое из которых содержит только одну переменную величину, называемую нормальной координатой. Ноно, что число нормальных координат равно числу координат уравнений движения, описывающих систему (т.е. количеству степеней свободы).

$$z_I = A_1 \cos(\omega_I t + \varphi_I), \quad (1.20)$$

$$z_{II} = A_2 \cos(\omega_{II} t + \varphi_{II}). \quad (1.21)$$

Функции (1.20) и (1.21) описывают так называемые нормальные колебания (нормальные моды) рассматриваемой системы, в частности:

$$\omega_I = \sqrt{K/m}, \quad \omega_{II} = \sqrt{(K + 2K_1)/m}, \quad (1.22)$$

называются частотами нормальных колебаний (нормальных мод). Движение каждого тела связанной системы является результатом наложения нормальных колебаний этой системы. В рассматриваемом случае:

$$x_1 = (z_I + z_{II})/2, \quad x_2 = (z_I - z_{II})/2. \quad (1.23)$$

Количество нормальных мод в той или иной системе, как и количество нормальных координат, всегда равно числу степеней свободы (в рассмотренной модели число степеней свободы и, соответственно, нормальных колебаний равно двум). Нумерация нормальных мод обычно начинают с низкочастотных (по мере возрастания частоты нормального колебания номер моды увеличивается).

Для полного описания движения системы, состоящей из N связанных осцилляторов, необходимо, помимо частот всех N нормальных мод, знать амплитуды и начальные фазы всех нормальных колебаний (всего $2N$ параметров). В рассмотренном выше примере ($N = 2$) необходимо определить четыре параметра, входящих в соотношения (1.20) и (1.21) - A_1, A_2, φ_I и φ_{II} . Это может быть сделано, если заданы четыре начальных условия (обычно это начальные координаты и скорости всех тел). В нашем слу-

11

В. Х. Чисел в бортовой памяти компьютера. В. Х. Чисел в бортовой памяти компьютера. В. Х. Чисел в бортовой памяти компьютера.

Для того, чтобы в системе осуществлялись нормальные колебания, в начальный момент времени необходимо задать несимметричные условия для двух тел (разные начальные отклонения, либо разные начальные скорости). При этом каждое тело будет одновременно принимать участие в гармонических колебаниях с частотами ω_1 и ω_2 . Если связь между двумя осцилляторами достаточно слабая ($K_1 \ll K$), то частоты ω_1 и ω_2 близки, наложение двух колебаний с близкими частотами приведет к известному эффекту - амплитуда колебаний каждого осциллятора будет претерпевать медленные изменения (будут наблюдаться т.н. "биения").

Подчеркнем, что если в какой-то момент времени в системе связанных осцилляторов была возбуждена только одна мода колебаний, то и в дальнейшем только эта нормальная мода будет существовать. Если в системе возбуждены две (или, в общем случае, несколько) нормальных мод, то энергия, "запасенная" каждой нормальной модой, сохраняется неизменной. Это отражает важнейшее свойство нормальных мод - их независимость (энергия не может передаваться от одной моды к другой).

Из (I.22) следует, что по мере ослабления связи взаимодействия между двумя осцилляторами частоты нормальных колебаний двух типов постепенно сближаются и в пределе (при $K_1 \rightarrow 0$) стремятся к одной и той же частоте собственных колебаний изолированного осциллятора.

В заключение этого параграфа покажем, что совершенно аналогично будет себя система двух связанных контуров (см. рис. 6). Будем предполагать, что два одинаковых электрических контура, состоящих из индуктивностей L и емкостей C , соединены через емкость C_1 (аналог упругой связи двух механических осцилляторов через пружинку K_1). Потерями энергии, как и ранее, будем пренебрегать. Для определенности зададим знаки зарядов на конденсаторах и направления токов в контурах I_1 и I_2 . Совершая обход по каждому контуру в направлении, указанном на рис. 6 стрелками, получим два уравнения:

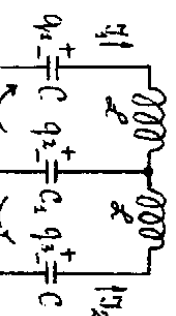


Рис. 6

$$L \frac{dI_1}{dt} - L \frac{dI_2}{dt} - q_2/C = 0, \quad (I.25)$$

Учтем, что $I_1 = -\dot{q}_1$, $I_2 = -\dot{q}_2$;

$$q_1 + q_2 + q_3 = 0; \quad \text{тогда соотношения (I.26)}$$

$$q_1/C - L \frac{d^2 q_1}{dt^2} - q_2/C = 0, \quad (I.24)$$

$$q_1/C - L \frac{d^2 q_2}{dt^2} - q_2/C = 0, \quad (I.24)$$

Учтем, что $I_1 = -\dot{q}_1$, $I_2 = -\dot{q}_2$;

$$q_1 + q_2 + q_3 = 0; \quad \text{тогда соотношения (I.26)}$$

$$L \dot{q}_1 + q_1/C + (q_1 + q_2)/C_1 = 0, \quad (I.27)$$

$$L \dot{q}_2 + (q_1 + q_2)/C_1 + q_2/C = 0. \quad (I.27)$$

Как и ранее, почленно суммируем и вычитаем эти уравнения, полу-

Для того, чтобы в системе осуществлялись нормальные колебания, в начальный момент времени необходимо задать несимметричные условия для двух тел (разные начальные отклонения, либо разные начальные скорости). При этом каждое тело будет одновременно принимать участие в гармонических колебаниях с частотами ω_1 и ω_2 . Если связь между двумя осцилляторами достаточно слабая ($K_1 \ll K$), то частоты ω_1 и ω_2 близки, наложение двух колебаний с близкими частотами приведет к известному эффекту - амплитуда колебаний каждого осциллятора будет претерпевать медленные изменения (будут наблюдаться т.н. "биения").

Подчеркнем, что если в какой-то момент времени в системе связанных осцилляторов была возбуждена только одна мода колебаний, то и в дальнейшем только эта нормальная мода будет существовать. Если в системе возбуждены две (или, в общем случае, несколько) нормальных мод, то энергия, "запасенная" каждой нормальной модой, сохраняется неизменной. Это отражает важнейшее свойство нормальных мод - их независимость (энергия не может передаваться от одной моды к другой).

Из (I.22) следует, что по мере ослабления связи взаимодействия между двумя осцилляторами частоты нормальных колебаний двух типов постепенно сближаются и в пределе (при $K_1 \rightarrow 0$) стремятся к одной и той же частоте собственных колебаний изолированного осциллятора.

зад в итоге

$$\ddot{y}_I + y_I/c = 0, \quad (1.28)$$

$$\ddot{y}_{II} + y_{II} \cdot (1/c + 2/c_1) = 0. \quad (1.29)$$

Здесь $y_I = y_1, -y_3, y_{II} = y_1 + y_3$ - нормальные координаты. Соответствующие нормальные частоты

$$\omega_I = \sqrt{1/c}, \quad \omega_{II} = \sqrt{(1/c + 2/c_1)/2}. \quad (1.30)$$

полностью эквивалентны соотношениям (1.22).

При возбуждении в рассматриваемой системе первой модой ток через конденсатор C_1 вообще не протекает (токи в обмотках контуров в любой момент времени направлены в одну сторону - по часовой стрелке или против нее, поэтому токи i_1 и i_2 через конденсатор C_1 всегда направлены в разные стороны и компенсируются). При возбуждении второй колебательной модой токи в контурах направлены в противоположные стороны, поэтому ток через конденсатор C_1 в любой момент времени равен удвоенному току i_1 или i_2 . Таким образом, очевидно полная аналогия колебательных элементов в системах, показанных на рис. 4 и рис. 6.

§ 4. Затухающие колебания

В реальных колебательных системах всегда присутствуют потери энергии (в механических системах - из-за трения, в электрических - из-за того, что сопротивление цепи электрическому току отлочно от нуля). Учетом это обстоятельство, добавив в левую часть уравнения (1.4) силу трения, которую будем считать пропорциональной скорости тела $F_{тр} = -\gamma \dot{x}$ (такая зависимость силы трения от скорости типична для движения тела конечных размеров в вязкой среде). В результате второй закон динамики для осциллятора при наличии вязкого трения запишется так:

$$m \ddot{x} = -\gamma \dot{x} - kx. \quad (1.31)$$

Обозначив $2\beta = \gamma/m$ и $\omega_0^2 = k/m$, соотношение (1.31) приведем к виду

$$\ddot{x} + 2\beta \dot{x} + \omega_0^2 x = 0. \quad (1.32)$$

Совершенно аналогичное уравнение получим для электрического контура с затуханием, добавив в левую часть (1.7) падение напряжения на сопротивлении V_k . Только в этом случае вместо сме-

нения \ddot{x} в (1.32) будет заряд на конденсаторе q ; коэффициент сопротивления γ нужно заменить на сопротивление цепи электрическому току R ; $2\beta = R/L$, $\omega_0^2 = 1/LC$.

Поскольку функции $\ddot{x}(t)$, $\dot{x}(t)$ и $x(t)$ должны быть с точностью до постоянных коэффициентов одинаковыми (это очевидно из уравнения (1.32)), решение (1.32) будем искать в виде

$$\ddot{x} = A_0 e^{\lambda t} \quad (1.33)$$

Подставляя (1.33) в (1.32), получаем квадратное уравнение

$$\lambda^2 + 2\beta\lambda + \omega_0^2 = 0. \quad (1.34)$$

для показателя λ :

$$\lambda^2 + 2\beta\lambda + \omega_0^2 = 0.$$

Решение этого уравнения:

$$\lambda = -\beta \pm \sqrt{\beta^2 - \omega_0^2}. \quad (1.35)$$

Рассмотрим сначала случай небольшого затухания ($\beta < \omega_0$). При этом $\lambda = -\beta \pm i\sqrt{\omega_0^2 - \beta^2}$ и, имея в виду формулу Эйлера, решив уравнения (1.32) можно записать в форме

$$\ddot{x} = A_0 e^{-\beta t} \cos(\omega t + \varphi_0), \quad (1.36)$$

где $\omega = \sqrt{\omega_0^2 - \beta^2}$ - будем называть частотой собственных затухающих колебаний; φ_0 - как и ранее, начальной фазой. Коэффициент перед экспоненциальной функцией будем называть амплитудой колебаний $A = A_0 e^{-\beta t}$, которая теперь не сохраняется постоянной, а убывает по экспоненциальному закону - см. рис. 7. Параметр β определяет темп затухания амплитуды, называется коэффициентом затухания.

Для описания колебаний с небольшим затуханием используют следующие характеристики:

1. Время релаксации амплитуды $T_A = 1/\beta$ - за время T_A амплитуда колебаний уменьшается в "e" раз.
 2. Число колебаний, за которое амплитуда уменьшается в "e" раз: $N_e = T_A/T = 1/\beta T$. Здесь $T = 2\pi/\omega$ - период колебаний.
 3. Декремент затухания $D = A(t)/A(t+T) = e^{-\beta T}$.
 4. Логарифмический декремент затухания $\gamma = \ln D = \beta T = 1/N_e$.
 5. Добротность $Q = \pi N_e = \pi/\gamma = \pi/\beta T = \omega_0/2\beta$.
- При малом затухании ($\beta \ll \omega_0$) можно использовать приближенное

соотношение $Q = \omega_0/2\beta$, которое в случае электрического контура легко преобразуется к виду: $Q = (L/R) \cdot \sqrt{C/L}$.

Далее мы встретимся еще с четырьмя определенными добротности. В частности, этот параметр при малом затухании пропорционален отношению энергии, запасенной осциллятором, к энергии, теряемой за период. Действительно, энергия, запасенная осциллятором, пропорциональна квадрату амплитуды колебаний (для маятника колебаний) или квадрату максимального заряда конденсатора (для электрических колебаний) - см. соотношения (I.9) и (I.10). Следовательно, в любой момент времени

$$W(t) = W_0 e^{-2\beta t} = W_0 e^{-t/\tau_w} \quad (I.36)$$

где W_0 - начальный запас энергии осциллятора, $\tau_w = 1/2\beta$ - время релаксации энергии (оно в два раза меньше времени релаксации амплитуды). Учитывая, что потери энергии за период

$$\Delta W(t) = W(t) - W(t+T) = W(t)(1 - e^{-2\beta T}), \quad (I.37)$$

получаем

$$W(t)/\Delta W(t) = 1/(1 - e^{-2\beta T}). \quad (I.38)$$

В условиях малого затухания $\exp(-2\beta T) \approx 1 - 2\beta T$ и соотношение (I.38) преобразуется к виду

$$W(t)/\Delta W(t) \approx 1/2\beta T = Ne/2 = 1/2\gamma = Q/2\pi. \quad (I.39)$$

Остается сделать еще одно определение добротности (подчеркнем, что оно справедливо только при малом затухании):

$$Q \approx 2\pi W(t)/\Delta W(t). \quad (I.40)$$

Заметим, что, поскольку время релаксации энергии равно $\tau_w = 1/2\beta$, можно дать третье определение добротности:

$$Q = \omega_0/2\beta = \omega_0 \tau_w \approx \omega_0 \tau_w. \quad (I.40, a)$$

Последнее выражение справедливо в условиях малого затухания.

Обсудим теперь некоторые закономерности поведения осциллятора с большим затуханием ($\beta \gg \omega_0$). Как следует из (I.35), в этом случае решение дифференциального уравнения (I.32) таково:

$$\zeta(t) = e^{-\beta t} (A e^{\beta_1 t} + B e^{-\beta_1 t}) = A e^{-t/\tau_1} + B e^{-t/\tau_2}. \quad (I.41)$$

Здесь $\beta_1 = \sqrt{\beta^2 - \omega_0^2}$, $\tau_1 = 1/(\beta - \beta_1)$, $\tau_2 = 1/(\beta + \beta_1)$. Два

параметра - A и B определяются из начальных условий (начальная координата и начальная скорость должны быть заданы). В частности, если в начальный момент времени смещение равно нулю (напряжения, магниты выводятся из равновесия толчком), то $\zeta(0) = A + B = 0$ и $A = -B$. Соответствующая зависимость смещения от времени показана на рис.8 (a). Если начальное отклонение от положения равновесия не равно нулю, то $A \neq -B$; соответствующая траектория

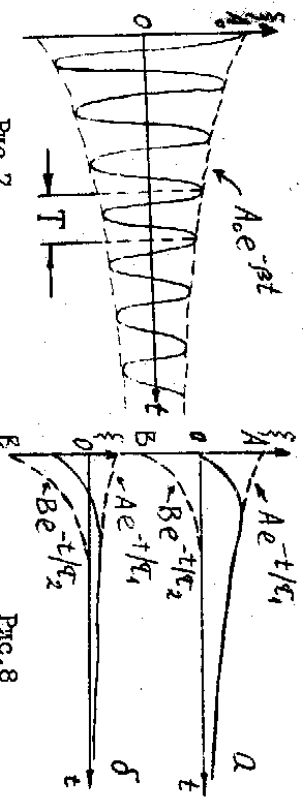


Рис.7

Рис.8

движения тела показана на рис.8 (б). Сравнивая рисунки 7 и 8, легко понять, почему режим с большим затуханием часто называют "аперриодическим". Существенно, что время возвращения системы к равновесию определяется в аперриодическом режиме экспонентой с наибольшей постоянной времени $\tau_1 = 1/(\beta - \beta_1)$. При очень сильном затухании ($\beta \gg \omega_0$) эта постоянная времени может быть весьма большой ($\beta \approx \beta_1$, $\tau_1 \rightarrow \infty$). Очевидно, режим с большим затуханием целесообразно использовать при работе стрелочных приборов, как, впрочем, и режим с малым затуханием - см. рис.7, 8. С этой точки зрения наиболее интересен т.н. "критический режим", когда выполняется условие $\beta = \omega_0$, т.е. $\beta_1 = 0$.

Критический режим работы широко используется в разлчных приборах, поскольку в этом режиме возвращение к положению равновесия происходит наиболее быстро.

В критическом режиме $\tau_1 = \tau_2$ и решение (I.41) не может быть общим решением дифференциального уравнения второго порядка, поскольку фактически в (I.41) останется только один параметр - множитель перед экспонентой. Легко показать, что решением уравнения (I.32) при $\beta = \omega_0$ является функция

$$\zeta(t) = e^{-\beta t} (A + Bt). \quad (I.42)$$

част. уравнения (I.31) член, описывающий действие вынуждающей силы (I.44):

$$m \ddot{\xi} = -\gamma \dot{\xi} - K \xi + F_0 \cos \omega t. \quad (I.45)$$

Это уравнение удобнее привести к виду

$$\ddot{\xi} + 2\beta \dot{\xi} + \omega_0^2 \xi = f_0 \cos \omega t, \quad (I.46)$$

где $f_0 = F_0/m$, $\beta = \gamma/2m$, $\omega_0^2 = K/m$.

Аналогичное уравнение справедливо и для электрического контура, в котором роль вынуждающей силы играет внешняя ЭДС

$U = U_0 \cos \omega t$. Учитывая, что сумма напряжений на емкости, индуктивности и сопротивлении равна в рассматриваемом случае внешней ЭДС, получим уравнение (I.46), в котором $f_0 = U_0/L\omega$, $\beta = R/2L$, $\omega_0^2 = 1/LC$, а вместо смещения ξ будет фигурировать заряд на конденсаторе q .

Поскольку установившиеся колебания происходят с частотой вынуждающей силы, решение уравнения (I.46) будем искать в виде

$$\xi = A \cos(\omega t - \alpha). \quad (I.47)$$

Дифференцируя (I.47), получаем:

$$\dot{\xi} = -A\omega \sin(\omega t - \alpha) = A\omega \cos(\omega t - \alpha + \pi/2); \quad (I.48)$$

$$\ddot{\xi} = -A\omega^2 \cos(\omega t - \alpha) = A\omega^2 \cos(\omega t - \alpha + \pi). \quad (I.49)$$

Для решения (I.46) воспользуемся методом векторных диаграмм - заменим гармонические функции (I.47)-(I.49) векторами, вращающимися против часовой стрелки с угловой скоростью ω .

Амплитуда каждого вектора равна коэффициенту перед соответствующим косинусом. Учтем также, что $\dot{\xi}$ и $\ddot{\xi}$ опережат по фазе ξ на $\pi/2$ и π , соответственно - см. (I.47)-(I.49). В итоге получим векторную диаграмму, показанную на рис.10. Регулярно сложив трех векторов, соответствующих трем членам в левой части уравнения (I.46), должен быть равен вектору, соответствующему правой части. Амплитуда этого вектора равна f_0 , а угол α - сдвиг по фазе между силой и смещением в соответствии (I.47). По теореме Пифагора имеем:

$$A^2 [(\omega_0^2 - \omega^2)^2 + 4\beta^2 \omega^2] = f_0^2. \quad (I.50)$$

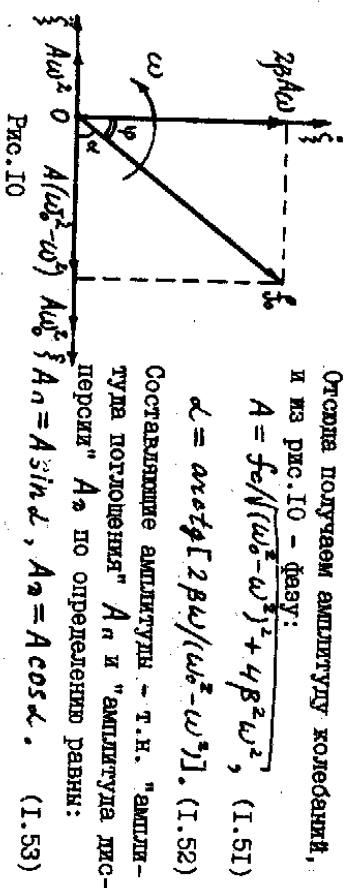


Рис. 10

Рассмотрим сначала область низких ($\omega \ll \omega_0$) и высоких ($\omega \gg \omega_0$) частот. При $\omega \ll \omega_0$, как легко видеть из соотношения (I.51)-(I.53):

$$A \approx f_0/\omega^2, \quad A_1 \approx 2\beta f_0 \omega/\omega^4 \rightarrow 0, \quad A_2 \approx A, \quad \alpha \approx 0. \quad (I.54)$$

Легко образом, на низких частотах смещение успеет опережать за силой; механический осциллятор ведет себя практически так же, как под действием постоянной силы $F_0 = F_0/K$. Соответственно на величину $A = F_0/m : m/K = F_0/K$. Соответственно, в электрическом контуре амплитуда заряда на конденсаторе на низких частотах $q_0 = CV_0$, т.е. все внешнее напряжение падает целиком на конденсаторе.

На высоких частотах ($\omega \gg \omega_0$) амплитуда $A \approx f_0/\omega^2$ стремится к нулю при $\omega \rightarrow \infty$, а сдвиг фаз между силой и смещением при этом приближается к π ($\tan \alpha = -2\beta/\omega$). Амплитуда положения и дисперсия также асимптотически стремятся к нулю ($A_1 \approx 2\beta f_0/\omega^3$, $A_2 \approx -f_0/\omega^2$). В этих условиях осциллятор не успевает следовать за внешней силой, отсюда - малая амплитуда и отставание по фазе на π .

Найдем теперь условия, при которых достигается максимальная амплитуда колебаний (т.е. наблюдается резонанс смещения). Дифференцируя подкоренное выражение в (I.51) и приравняв производную нулю, получаем частоту, на которой реализуется резонанс смещения:

$$\omega R = \sqrt{\omega_0^2 - 2\beta^2} = \sqrt{\omega_0^2 - \beta^2}. \quad (I.55)$$

Подставляя (I.55) в (I.51) и (I.52), получаем амплитуду смеще-

22

ния и так же сдвиг фаз между смещением и силой при резонансе,

$$A'' = f_0 / 2\beta \omega c; \quad (1.56)$$

$$\tan \alpha_r = \omega r / \beta, \quad (1.57)$$

В условиях малого затухания ($\beta \ll \omega_0$) справедливы следующие приближительные выражения:

$$A'' \approx f_0 / 2\beta \omega_0; \quad (1.56, a)$$

$$\tan \alpha_r \approx \omega_0 / \beta; \quad \alpha_r \approx \pi/2. \quad (1.57, a)$$

Из соотношений (1.54) и (1.56, a) следует, что отношение амплитуд колебаний при резонансе к амплитуде на низкой частоте равно добротности (четвертое определение добротности):

$$A''/A(\omega \rightarrow 0) = \omega_0^2 / 2\beta \omega c \approx \omega_0^2 \tau \omega \approx Q. \quad (1.58)$$

Очевидно, что для электрического контура величина добротности равна отношению амплитуды напряжения на конденсаторе при резонансе к амплитуде внешнего напряжения:

$$Q \approx q''/cV_0 = V_{e0}''/V_0. \quad (1.59)$$

Из (1.53) видно, что при резонансе амплитуда дисперсии близка к нулю, а амплитуда поглощения приблизительно равна полной амплитуде.

Поскольку для электрических цепей важно знать частоту, при которой достигается максимальная амплитуда тока в цепи (а ток в электрическом контуре — аналог скорости для механического осциллятора), найдем условие резонанса скорости. Учитывая, что амплитуда скорости, в соответствии с (1.48), равна $A_v = A\omega$, получаем из (1.51):

$$A_v = f_0 / \sqrt{(\omega_0^2 - \omega^2)^2 \tau^2 \omega^2 + 4\beta^2}. \quad (1.60)$$

Отсюда очевидно, что резонанс скорости (или тока в цепи, состоящей из последовательно соединенных индуктивности, емкости и сопротивлений) наблюдается при частоте: $\omega_r = \omega_0$.

Обсудим теперь вопрос о мощности, затрачиваемой внешним источником на поддержание вынужденных незатухающих колебаний. По определению, мгновенная величина мощности есть произведение действующей силы на скорость тела

$$P(t) = F(t) \cdot \dot{x}(t). \quad (1.61)$$

Подставляя в (1.61) соотношения (1.44) и (1.48), имеем:

$$P(t) = F_0 A \omega \cos \omega t \cdot \cos(\omega t - \alpha + \pi/2) = \frac{1}{2} F_0 A \omega [\cos(2\omega t - \alpha + \pi/2) + \cos(\alpha - \pi/2)]. \quad (1.62)$$

Из (1.62) следует, что мгновенная мощность, затрачиваемая внешней силой на возбуждение вынужденных колебаний с частотой ω изменяется со временем с удвоенной частотой 2ω . Средняя по времени величина затрачиваемой на возбуждение колебаний мощности

$$\langle P(t) \rangle = \frac{1}{T} \int_0^T P(t) dt = \frac{1}{2} F_0 A \omega \cos(\alpha - \pi/2) = \frac{1}{2} F_0 A \omega. \quad (1.63)$$

Таким образом, величина $\langle P(t) \rangle$ оказывается пропорциональной амплитуде поглощения (отсюда и происхождение этого термина). Для электрической цепи формулу (1.63) легко трансформировать к виду

$$\langle P(t) \rangle = \frac{1}{2} V_0 q_0 \omega \cos \varphi = \frac{1}{2} V_0 I_0 \cos \varphi. \quad (1.64)$$

В выражении (1.64) вместо угла α введен угол $\varphi = \alpha - \pi/2$ (сдвиг фаз между током и напряжением — рис. 10, II). Так как $V_0 \cos \varphi = I_0 R$ (см. рис. II), можно записать (1.64) несколько иначе:

$$\langle P(t) \rangle = I_0^2 R / 2 = I_{\text{эф}}^2 R. \quad (1.65)$$

Последнее выражение аналогично формуле для мощности, выделяемой на сопротивлении при протекании по нему постоянного тока силой $I_{\text{эф}} = I_0 / \sqrt{2}$, поэтому эта величина называется "эффективной" (или "действующей") значением переменного гармонического тока. Точно так же вводятся величина эффективного (или действующего) значения переменного гармонического напряжения $V_{\text{эф}} = V_0 / \sqrt{2}$; соотношение (1.64) при этом может быть представлено в такой форме:

$$\langle P(t) \rangle = I_{\text{эф}} \cdot V_{\text{эф}} \cdot \cos \varphi. \quad (1.66)$$

Множитель $\cos \varphi$ иногда называют "коэффициентом мощности", потому что сдвиг фаз между током и напряжением определяет величину выделяемой в цепи мощности при прочих равных условиях.

В частности, для идеальных (без потерь) емкости и индуктивности выделяющаяся мощность при любых $I_{\text{эф}}$ и $V_{\text{эф}}$ равна нулю, так

как равен нулю коэффициент мощности (сдвиг фаз между током и напряжением $\varphi = \pi/2$ - см. рис. 10, 11).

Для цепи, состоящей из последовательно соединенных емкости, индуктивности и сопротивления, вместо рис. 10 удобнее изобразить векторную диаграмму, на которой представлены напряжения на конденсаторе $V_C = Z_C I$, индуктивности $V_L = Z_L I$ и сопротивлении (индекс "0" здесь означает амплитудные значения соответствующих напряжений). Переход от рис. 10 к рис. 11 осуществляется заменой механически величин эквивалентными электрическими. Используя рис. 11, получаем связь между амплитудой тока в цепи и амплитудой внешнего напряжения*

$$V_0 = Z_0 \sqrt{(I/\omega C - \omega L)^2 + R^2}. \quad (1.67)$$

Соотношение (1.67) называется законом Ома для переменного тока; величина $Z = \sqrt{(I/\omega C - \omega L)^2 + R^2}$ называется полным сопротивлением цепи; R - омическим; $Z_p = I/\omega C - \omega L$ - "реактивным" сопротивлением. Из рис. 11 следует, что тангенс угла сдвига фаз между током и напряжением

$$\tan \varphi = (\omega L - 1/\omega C) / R. \quad (1.68)$$

Весьма важным с практической точки зрения является вопрос о зависимости от частоты внешней силы величины мощности, затрачиваемой на возбуждение вынужденных колебаний. Для электрических контуров эта зависимость определяет их резонансные свойства. Для осцилляторов типа молекул или их ансамблей зависимость такого типа отражает характер полос поглощения, связанных с возбуждением колебаний того или иного рода под действием, например, инфракрасного излучения (в ИК-спектроскопии) или электромагнитных волн сантиметрового диапазона (ЭПР-спектроскопия), коротких радиоволн (ЯМР-спектроскопия).

Как следует из формулы (1.63), частотная зависимость поглощаемой мощности такова:

* Такая же связь между эффективными величинами напряжения и тока в цепи.

$$\langle P(t) \rangle = \frac{1}{2} F_0 A_n \omega \sim \omega^2 / \Gamma (\omega_0 - \omega)^2 + 4\beta^2 \omega^2. \quad (1.69)$$

Поскольку $(\omega_0^2 - \omega^2)^2 = (\omega_0 - \omega)^2 (\omega_0 + \omega)^2 \approx (\omega_0 - \omega)^2 \cdot 4\omega^2$, легко видеть, что характер зависимости средней поглощаемой мощности от частоты может быть приближенно отображен функцией

$$\langle P(t) \rangle \sim R(\omega) = \beta^2 / \Gamma (\omega_0 - \omega)^2 + \beta^2. \quad (1.70)$$

В спектроскопии функция (1.70) называется "лоренцевской" функцией формы линии. Она обладает следующими свойствами: $R(\omega) = \Gamma$ при $\omega = \omega_0$; $R(\omega) = \Gamma/2$ при $|\omega_0 - \omega| = \beta$; $R(\omega) = 0,1$ при $|\omega_0 - \omega| = 3\beta$. Очевидно, что "полуширина" $\Delta\omega_p$ кривой, описывающей зависимость величины поглощаемой мощности от частоты

$$\Delta\omega_p = 2\beta = 1/\Gamma \omega. \quad (1.71)$$

Используя (1.40, а), получаем явное определение добротности: $Q = \omega L C \omega \approx \omega_p T \omega = \frac{\omega_p}{\Delta\omega_p}$. (1.72)

Так как при выводе (1.70) были сделаны упрощающие предположения, необходимо указать диапазон частот, в котором формула (1.70) "работает". Нетрудно угадывать, что это диапазон ограничен весьма жесткими условиями:

$$|\omega - \omega_0| \leq n\beta, \text{ где}$$

$$n \ll 2\pi/\gamma = 2\pi/\Gamma = 2Q. \quad (1.73)$$

Для иллюстрации приведем некоторые итоги вышесказанному в графической форме - см. рис. 12.

В заключительной части этого раздела останемся кратко на особенностях вынужденных колебаний в системе свя-

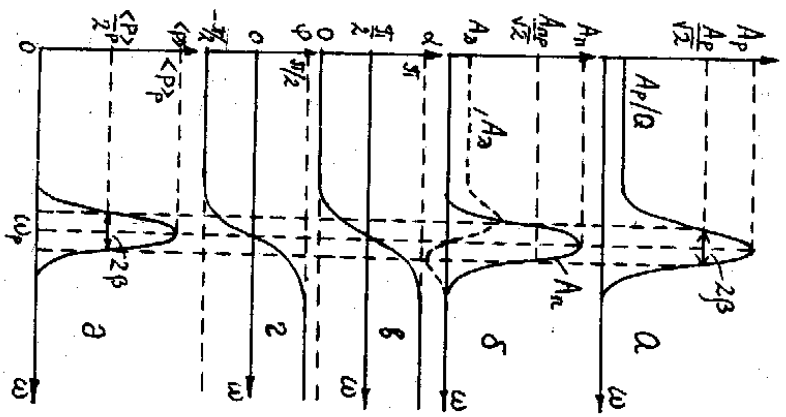


Рис. 12

занных осцилляторов. Совершенно ясно, что в системе с N степенями свободы при повышении частоты внешней силы будут появляться резонансы для всех N нормальных мод. Совершенно необходимо резонансные кривые будут тем шире, чем меньше добротность для данной моды колебаний (эти добротности могут быть разными!). Таким образом, в системе с N степенями свободы при повышении частоты внешней возмущения будут наблюдаться N резонансных кривых с различными (в общем случае) амплитудами и разной полупериодом $\Delta\omega$. На каждой резонансной частоте будут возбуждаться нормальные колебания только одного типа. С увеличением затухания резонансные кривые, соответствующие разным нормальным модам, начнут перекрываться. В этих условиях терять смысл выделение отдельных нормальных мод, как независимых колебательных движений системы, не обмениваясь энергией; использование представлений о нормальных колебаниях становится некорректным.

Г Л А В А П. В О Д Н И

§ 1. Классическое дифференциальное волновое уравнение

При увеличении числа связанных осцилляторов в системе, помимо выделения нормальных мод, выяснения спектра их частот не менее важным становится вопрос о скорости передачи колебательного движения из одной части системы в другую - т.е. о скорости распространения волны в системе. Под волнами мы будем понимать возмущения, распространяющиеся в какой-либо среде (далее мы убедимся, что такой средой может быть и вакуум) и несущие энергию.

Рассмотрим одномерную модель системы, состоящей из большого числа связанных осцилляторов - см. рис. 13.

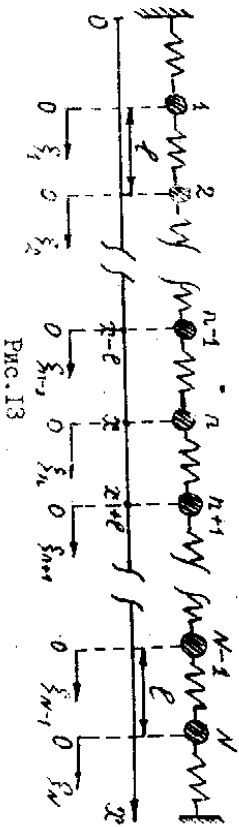


Рис. 13

Можно считать, что показанная на рис. 13 система моделирует одномерный кристалл, либо длинную молекулу полимерного типа. Масштаб всех N "атомов" будем считать одинаковыми и равными m , связи между ними моделируем пружинками с коэффициентами упругости K . Потерями (трением) в системе пренебрежем. Введем ось x , направленную вдоль цепочки атомов, через $\xi_1, \xi_2, \dots, \xi_n$ обозначим отклонения каждого атома от положения равновесия. Расстояния между равновесными положениями всех соседних атомов будем полагать одинаковыми (ℓ).

Запишем второй закон динамики для n -го атома:

$$m \ddot{\xi}_n = K(\xi_{n+1} - \xi_n) - K(\xi_n - \xi_{n-1}). \quad (2.1)$$

Поскольку n -й атом имеет координату x , можно заменить величину ξ_n на функцию $\xi(x, t)$. Далее мы ограничимся рассмотрением только таких колебательных движений в нашем кристалле, при которых соседние атомы движутся почти одинаково (это означает, что мы исключаем из рассмотрения наиболее высокочастотные моды колебаний). При этом на расстоянии ℓ величина смещения атома от положения равновесия изменяется мало; воспользовавшись разложением функции в ряд Тейлора, можно записать приближительные выражения для смещений атомов с номерами $(n-1)$ и $(n+1)$, отрываясь от трех первых членами разложения по малому параметру ℓ :

$$\xi_{n+1} = \xi(x+\ell, t) \approx \xi(x, t) + \ell \frac{\partial \xi}{\partial x} + \frac{(\ell^2/2)}{2!} \left(\frac{\partial^2 \xi}{\partial x^2} \right); \quad (2.2)$$

$$\xi_{n-1} = \xi(x-\ell, t) \approx \xi(x, t) - \ell \frac{\partial \xi}{\partial x} + \frac{(\ell^2/2)}{2!} \left(\frac{\partial^2 \xi}{\partial x^2} \right). \quad (2.3)$$

Подставив (2.2)-(2.3) в (2.1), получаем линейное дифференциальное уравнение второго порядка:

$$\frac{\partial^2 \xi}{\partial t^2} = (K\ell^2/m) \left(\frac{\partial^2 \xi}{\partial x^2} \right). \quad (2.4)$$

Учитывая, что коэффициент перед $\frac{\partial^2 \xi}{\partial x^2}$ имеет размерность скорости, уравнение (2.4) можно записать так:

$$\frac{\partial^2 \xi}{\partial t^2} = v^2 \frac{\partial^2 \xi}{\partial x^2}. \quad (2.5)$$

Это уравнение описывает распространение возмущений в нашем одномерном кристалле, оно называется одномерным дифференциальным уравнением волны. Термин "классическое" применяется для того, чтобы подчеркнуть ограниченный диапазон использования этого

Термин классический применяется к тому, что в квантовой механике мы рассматриваем колебания атомов и молекул, а не электроны и протоны, которые являются квантовыми объектами.

то уравнения: 1. только в случае малых возмущений (квазиупругая сила); 2. для неэлектроупругих сред (объяснение этого термина будет приведено ниже).

В трехмерном случае уравнение (2.5) выглядит так:

$$\partial^2 \xi / \partial t^2 = v^2 \Delta \xi. \quad (2.6)$$

Здесь $\Delta = \partial^2 / \partial x^2 + \partial^2 / \partial y^2 + \partial^2 / \partial z^2$ - оператор Лапласа.

§ 2. Уравнение волны

Уравнением упругой волны называется соотношение, в явной форме описывающее зависимость смещения колеблющихся частиц от координат и времени. В случае электромагнитной волны, как будет показано ниже, вместо смещения в уравнении волны будут фигурировать напряженность электрического и индукции магнитного полей.

Сначала будем предполагать, что для нашего одномерного кристалла (рис.13) в начале координат ($x = 0$) в начальный момент времени начинается колебательное движение одного атома по гармоническому закону:

$$\xi(0, t) = A \cos \omega t \quad (2.7)$$

Очевидно, что на соседние атомы будет действовать гармоническая возмущающая сила с частотой ω , и это возмущение будет постепенно распространяться все дальше от "начального" атома. Обозначим через v скорость распространения этого возмущения. Тогда зависимость от времени смещения атома, расположенного в точке с координатой x , можно, очевидно, представить в виде "запаздывающей" на время $\tau = x/v$ гармонической функции

$$\xi(x, t) = A \cos [\omega(t - \tau)] = A \cos(\omega t - kx), \quad (2.8)$$

где $k = \omega/v = 2\pi/\lambda$ - т.н. "волновое число", λ - длина волны. Подставляя (2.8) в волновое уравнение (2.5), убеждаемся в том, что это действительно решение волнового уравнения, причем введенный ранее из соображений размерности параметр v дифференциального уравнения (2.5) по физическому смыслу соответствует скорости распространения фазы волны (и называется поэтому "фазовой" скоростью). Существовало, что классическому дифференциальному волновому уравнению (2.5) удовлетворяют гармонические волны (2.8) различных частот ω при том, однако, условии, что

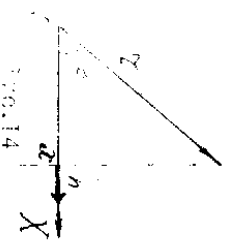
скорости распространения этих волн не зависят от частоты. Среды, в которых скорости распространения волн разных частот отличаются, называются "неэлектроупругими". Поскольку всякая достаточная "плотная" функция может быть разложена на гармонические функции (в ряд Фурье)*, совершенно очевидно, что такая функция $\xi(x, t)$ также будет решением уравнения (2.5). Предлагаем убедиться в этом прямой постановкой. Этим функции соответствуют распространяющиеся по оси x со скоростью v негармоническая волна.

Введем некоторое определение. Волновой поверхностью мы будем называть геометрическое место точек, колеблющихся в одной фазе. Из определения ясно, что волновых поверхностей может быть бесконечно много. В модели одномерного кристалла (рис. 13) важная волновая поверхность вырождается в точку. Имеет смысл специально выделить переднюю волновую поверхность, которая называется фронтом волны.

Если фронт волны и волновые поверхности - плоскости, то волна называется плоской. Плоскую волну можно наблюдать в тех случаях, когда расстояние до источника волн x много больше размеров источника D :

$$x \gg D. \quad (2.9)$$

Уравнение плоской волны, распространяющейся по оси x , аналогично (2.8), поскольку все точки, лежащие на одной и той же волновой поверхности (плоскости, перпендикулярной оси x), колеблются одинаково. Для плоской волны часто используют форму записи уравнения волны в полярной системе координат (см. рис.14). Введем радиус-вектор, проведенный из начала полярной системы координат в произвольную точку пространства (r), а также волновой вектор k .



Функция $f(r, \theta)$ должна удовлетворять условиям Дирихле: 1) быть однозначной, 2) непрерывной, 3) иметь конечные значения и производные в каждой точке области. В полярной системе координат $f(r, \theta)$ удовлетворяет уравнению Лапласа $\Delta f = 0$.

равный по величине волновому числу и направленный по нормали к волновой поверхности в сторону распространения волны. Тогда $kx = k'z \cos \beta = k'z$ (см. рис. 14) и уравнение плоской волны записывается в виде

$$\xi(z, t) = A \cos(\omega t - k'z). \quad (2.10)$$

Если размеры источника много меньше расстояния до него:

$$r \gg \lambda, z; \quad (2.11)$$

то волновые поверхности имеют сферическую форму, волна в этом случае также называется сферической. Ясно, что по мере удаления волны от источника энергии волны распределяется по все возрастающему количеству частиц среды. Энергия, приходящаяся на одну частицу, обратно пропорциональна площади соответствующей волновой поверхности, т.е. $\sim 1/r^2$ (здесь r — расстояние от волновой поверхности до точечного источника). Поскольку энергия колеблющейся частицы пропорциональна квадрату амплитуды (см. (1.9)), амплитуда колебаний частиц в сферической волне обратно пропорциональна r . В итоге уравнение сферической волны следует записать так:

$$\xi(r, t) = (A_0/r) \cos(\omega t - kr). \quad (2.12)$$

Наконец, если часть энергии волны теряется в среде из-за поглощения, то происходит постепенное затухание волны, которое нужно учесть аналогично (1.36) введением дополнительного экспоненциального множителя перед косинусом:

$$A = A_0 e^{-\gamma z} \quad - \text{плоская волна}; \quad (2.13)$$

$$A = (A_0/r) e^{-\gamma r} \quad - \text{сферическая волна}. \quad (2.14)$$

Подчеркнем, что соотношения (2.8), (2.10), (2.12) — (2.14) описывают как продольные волны (смещение частиц происходит вдоль направления распространения), так и поперечные волны (частицы колеблются в плоскости, перпендикулярной направлению распространения).

В заключение этого параграфа покажем, что полученное нами выражение для фазовой скорости упругой волны в однородной среде почти атомов (рис. 13) легко обобщается на систему с различными параметрами — длиной однородный стержень, изготовленный из металла, плотность которого ρ и модуль Юнга E .
* Определение модуля Юнга дано ниже.

Рассмотрим отрезок стержня длиной l (см. рис. 15), масса которого $m = \rho l S$, где S — площадь поперечного сечения стержня. Поскольку выдвинутый нами отрезок в целом покоится, приложим к нему слева и справа силы F , равные (для определенности будем считать эти силы растягивающими). При этом отрезок удлиняется на Δl . В рассматриваемом случае коэффициент пропорциональности — это коэффициент пропорциональности между силой F и удлинением стержня Δl :

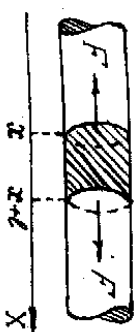


Рис. 15

$$k = F/\Delta l = FS/S\Delta l = ES/\Delta l. \quad (2.15)$$

В соотношении (2.15) введена величина механического напряжения $\sigma = F/S$. Подставляя полученные для m и ν выражения в формулу

$$v^2 = k \rho^2 / m = \sigma^2 / \rho \Delta l \quad (2.16)$$

и учитывая, что величина $E = \sigma / \Delta l$ по определению называется модулем Юнга, имеем окончательно для скорости распространения упругой волны следующее соотношение:

$$v = \sqrt{E/\rho}. \quad (2.17)$$

При выводе (2.17) мы предположили, что при распространении волны вдоль стержня вдоль стержня (по направлению распространения волны); соответственно, частицы стержня также совершают колебательные движения вдоль оси x (т.е. рассматривали продольные волны). В твердом теле возможно также распространение поперечных волн. Нетрудно показать, что в этом случае модуль Юнга в формуле (2.17) нужно заменить на модуль сдвига.

§ 3. Энергия упругой волны

Начнем рассмотрение энергии упругой волны с простой модели продольной волны в однородном кристалле (рис. 13). Вычислим энергию, приходящуюся на один "элемент" нашего кристалла — одну массу m и одну пружину — см. рис. 15. Кинетическая энергия элемента локализована на массе, движущейся со скоростью $\partial \xi / \partial t$:

$$T = (m/2) (\partial \xi / \partial t)^2. \quad (2.18)$$

Потенциальная энергия деформированной пружины определяется квадратом величины растяжения (или сжатия) $(\partial \xi / \partial x)^2$; учитывая

соотношение (2.2), имеем $\left(\frac{\xi}{v_{n1}} - \frac{\xi}{v_n}\right) = \frac{v_n - v_{n1}}{v_n v_{n1}}$, откуда

$$U = kL^2 \left(\frac{\partial \xi / \partial x}{2}\right)^2 / 2 = m v \left(\frac{\partial \xi / \partial x}{2}\right)^2 / 2 \quad (2.19)$$

Итак, для рассматриваемой нами простой модели полнана энергии одного элемента одномерного кристалла:

$$W = (m/2) \left[\left(\frac{\partial \xi}{\partial t}\right)^2 + v^2 \left(\frac{\partial \xi}{\partial x}\right)^2 \right] \quad (2.20)$$

Эта формула может быть естественным образом обобщена на длюже (не обязательно одномерные) среды с распределенными параметрами. Для этого нужно только заменить массу одного элемента на массу, приходящуюся на единицу объема среды (т.е. плотность ρ), при этом получим плотность энергии, приходящуюся на единицу объема среды, в которой распространяется упругая

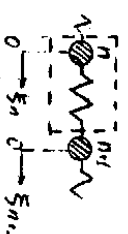


Рис. 16

Волна:

$$W_0 = (\rho/2) L \left[\left(\frac{\partial \xi}{\partial t}\right)^2 + v^2 \left(\frac{\partial \xi}{\partial x}\right)^2 \right] \quad (2.21)$$

Величина W_0 называется плотностью энергии упругой волны.

Для плоской волны, распространяющейся по оси x (как продольной, так и поперечной): зависимость смещения от координаты и времени определяется уравнением (2.8), откуда:

$$T_0 = (\rho/2) \left(\frac{\partial \xi}{\partial t}\right)^2 = (\rho/2) A^2 \omega^2 \sin^2(\omega t - kx) \quad (2.22)$$

$$U_0 = (\rho/2) v^2 \left(\frac{\partial \xi}{\partial x}\right)^2 = (\rho/2) A^2 \omega^2 \sin^2(\omega t - kx) \cdot v^2 = U_0 \quad (2.23)$$

Из соотношений (2.21)-(2.23) получаем

$$W_0 = T_0 + U_0 = \rho A^2 \omega^2 \sin^2(\omega t - kx) \quad (2.24)$$

На рис. 17 показаны пространственное распределение $T_0(x)$ и соответствующие функции $T_0(x)$, $U_0(x)$ для дельтеи упругой волны. Максимумы потенциальной и кинетической энергии в дельтеи волне локализованы в одних и тех же местах (там, где $\xi = 0$).

Со временем показанная на рис. 17 картинка «бегит» по оси x со скоростью v . В любой фиксированной точке пространства величина плотности энергии со временем пульсирует (период пульсации в два раза меньше периода волны - см. рис. 17). Поэтому целесообразно определить среднее по времени (или в пространстве) значение плотности энергии $\langle W_0 \rangle$. Учитывая, что усреднение по времени квадрата синуса дает $1/2$, получаем:

$$\langle W_0(t) \rangle = \rho A^2 \omega^2 / 2. \quad (2.25)$$

Поскольку волна переносит энергию, полезно определить насколько величина, характеризующая этот перенос.

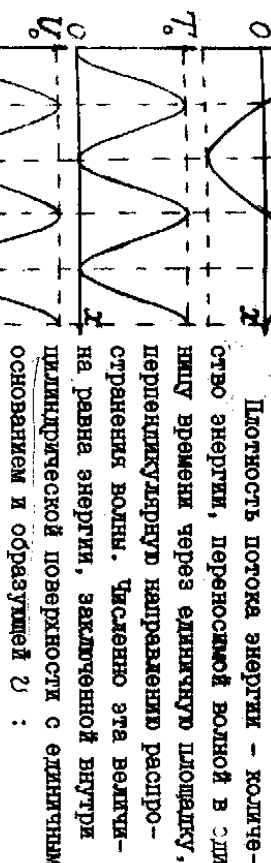


Рис. 17

Подчеркнем, что плотность потока энергии $S(t)$ зависит от времени величина $W_0(t)$ - см. (2.24).

Интенсивность волны называется среднее по времени значение плотности потока энергии волны:

$$I = \langle S(t) \rangle = \langle W_0(t) \rangle v = \rho A^2 \omega^2 v / 2. \quad (2.27)$$

Русским физиком Н.А. Умова в 1874 г. была введена векторная характеристика переноса энергии упругой волной:

$$\vec{S}(t) = W_0(t) \vec{v}. \quad (2.28)$$

Впоследствии величина \vec{S} получила название вектора Умова. Как следует из (2.28), амплитуда вектора Умова изменяется со временем и в пространстве, поэтому целесообразно определить среднее по времени значение вектора Умова (векторную интенсивность волны):

$$\langle \vec{S}(t) \rangle = \langle W_0(t) \rangle \vec{v} = \rho A^2 \omega^2 \vec{v} / 2. \quad (2.29)$$

Поток энергии упругой волны через любую поверхность S можно определить интегрированием скалярного произведения вектора Умова на векторный элемент площади $d\vec{S}$ (вектор $d\vec{S}$ направлен по нормали к площадке dS):

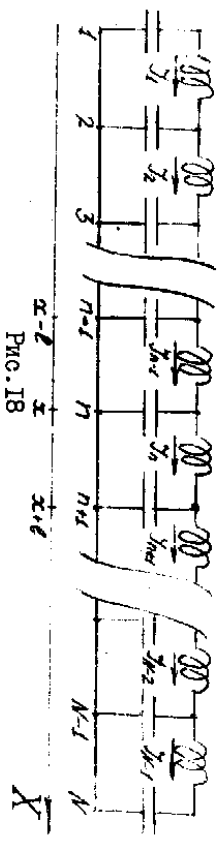
$$\Phi = \int \vec{S}(t) \cdot d\vec{S} = \int S_n(t) dS. \quad (2.30)$$

Здесь \int_{Σ} - нормальная к площадке dS составляющая вектора \vec{S} .
 Наконец, среднее по времени значение потока энергии упругой волны через поверхность S :

$$\langle \Phi(t) \rangle = \int \langle \vec{S} \rangle dS = \int \langle S_n \rangle dS. \quad (2.31)$$

§ 4. Электромагнитные волны в системе связанных контуров и в двухпроводной линии

Рассмотрим процесс передачи колебаний в системе связанных контуров, являющейся аналогом механической модели одномерного кристалла см. рис.18. Выделим в этой системе два произвольных соседних контура, включающих конденсаторы с номерами $n-1$, n и $n+1$. Для определенности обозначим на рисунке знаки зарядов



на конденсаторах и направления токов через индуктивности. Оусредняя обход по двум контурам по часовой стрелке, получаем уравнения:

$$q_{n-1}/C - \mathcal{L} d^2 y_{n-1} / dt^2 - q_n / C = 0, \quad (2.32)$$

$$q_n / C - \mathcal{L} d^2 y_n / dt^2 - q_{n+1} / C = 0. \quad (2.33)$$

Вычитая из (2.32) соотношение (2.33), имеем:

$$(q_{n+1} + q_{n-1} - 2q_n) / C - \mathcal{L} d^2 (y_{n-1} - y_n) / dt^2 = 0. \quad (2.34)$$

Поскольку $y_{n-1} - y_n = q_n$, второй член уравнения (2.34) может быть записан в форме $\mathcal{L} q_n$. Будем, кроме того, считать по аналогии с одномерным кристаллом, что заряд на конденсаторах является достаточно плавной и непрерывной функцией координаты x воспользуемся, как и ранее, разложением функции в ряд Тейлора:

$$q_n \approx q(x); \quad (2.35)$$

$$q_{n+1} \approx q(x+l) = q(x) + \mathcal{L} dq/dx + (\mathcal{L}^2/2) d^2 q/dx^2 + \dots; \quad (2.36)$$

$$q_{n-1} \approx q(x-l) = q(x) - \mathcal{L} dq/dx + (\mathcal{L}^2/2) d^2 q/dx^2 + \dots; \quad (2.37)$$

34

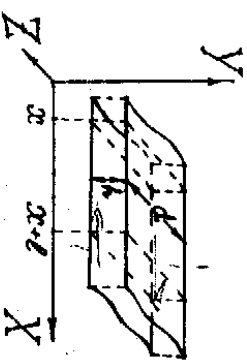
Ограничиваясь только указанными членами разложения в ряд и подставляя (2.35)-(2.37) в (2.34), получаем дифференциальное волновое уравнение в форме:

$$d^2 q/dx^2 = (\mathcal{L}^2 / \mathcal{L} C) d^2 q/dx^2. \quad (2.38)$$

Сравнивая (2.38) с (2.5), находим скорость электромагнитной волны в системе, состоящей из большого количества связанных контуров:

$$v = \mathcal{L} / \sqrt{\mathcal{L} C}. \quad (2.39)$$

Аналогично механической системе, уравнение (2.38) можно обобщить на случай системы с распределенными параметрами - двухпроводной линии (см. рис.19). Будем считать, что двухпроводная линия представляет собой расположенные на расстоянии k друг от друга две широкие длинные параллельные проводящие полосы, параллельные друг другу. Потери в линии будем пренебрегать. В такой линии емкость и индуктивность распределены по всей длине, а не сосредоточены на дискретных элементах, как в системе, показанной на рис.18.



Как и в случае механической системы с распределенными параметрами (рис.16), задача сводится к преобразованию соотношения (2.39), описывающего зависимость скорости волны от параметров системы.

Определим емкость и индуктивность участка двухпроводной линии длиной l .
 Емкостная емкость плоского конденсатора с площадью пластин $\mathcal{L}l$ и расстоянием k между ними равна

$$C = \mathcal{E} \mathcal{L} l d / k, \quad (2.40)$$

где \mathcal{E} - диэлектрическая проницаемость среды между пластинами конденсатора, \mathcal{E}_0 - электрическая постоянная.

Для определения индуктивности участка линии длиной l предположим, что на этом участке по верхней шине протекает ток I , направленный по оси X ; соответственно, по нижней шине течет такой же ток, но направленный в противоположную сторону (как в каждом контуре рис.18). Из теоремы о циркуляции следует, что

магнитное поле той "облачной" системы будет отлучаться от нуля только в пространстве между пластинами. Направление вектора магнитной индукции легко определить по правилу буравчика - вектор \vec{B} направлен по оси Z . Совершая обход по замкнутой контуре, отвечающему только один провод линии, и расположившись в плоскости YZ , можем по теореме о циркуляции:

$$Bd = \mu_0 I, \quad B = \mu_0 I/d. \quad (2.41)$$

Умножив величину магнитной индукции на lk , получим магнитный поток через участок боковой поверхности линии длиной l :

$$\Phi = Blk = \mu_0 I k l/d. \quad (2.42)$$

Поскольку по определению $\Phi = \mathcal{E} I$, коэф. взаимности \mathcal{E} участка линии длиной l равен:

$$\mathcal{E} = \mu_0 I k/d. \quad (2.43)$$

Наконец, подставим (2.43) и (2.40) в (2.39), и определим скорость электромагнитной волны в диэлектрической среде с диэлектрической проницаемостью ϵ и магнитной проницаемостью μ (μ_0 - магнитная постоянная):

$$v = 1/\sqrt{\epsilon \mu} = c/n. \quad (2.44)$$

Здесь $c = 1/\sqrt{\epsilon_0 \mu_0} = 3 \cdot 10^8$ м/с - скорость электромагнитной волны в диэлектрической среде, помещенной в вакуум; $n = \sqrt{\epsilon \mu}$ - показатель преломления от скорости среды.

Так как величина заряда на верхней и нижней шинах (заряд конденсатора) $q(x)$ пропорциональна напряженности электрического поля $E(x)$, дифференциальное уравнение (2.38) можно записать следующим образом:

$$\partial^2 E / \partial x^2 = \partial^2 I E / \partial x^2. \quad (2.45)$$

Подчеркнем, что в рассмотрываемой по оси x электромагнитной волне вектор \vec{E} направлен по оси y , а вектор магнитной индукции \vec{B} - по оси z , т.е. электромагнитная волна - поперечная.

§ 5. Электромагнитные волны в однородной изотропной среде

Для вывода уравнения электромагнитной волны в однородной изотропной среде воспользуемся уравнениями Максвелла в интегральной форме. При выводе дифференциального уравнения волны нам понадобятся только два из них - обобщенные выражения закона электромагнитной индукции и теоремы о циркуляции (с учетом того, что ток проводимости отсутствует):

$$-\partial \vec{A} / \partial t = \int \vec{B} d\vec{s} = \oint \vec{E} d\vec{l}, \quad (2.46)$$

$$\epsilon \epsilon_0 \int \text{rot}(\partial \vec{A} / \partial t) d\vec{s} = \oint \vec{B} d\vec{l}. \quad (2.47)$$

Правые интегралы в (2.46) и (2.47) берутся по замкнутой контуре ($d\vec{l}$ - элемент контура), левые - по площадкам, ограниченным соответствующими контурами. Необходимо помнить, что направление обхода по контуру и направление нормали к площадке строго связаны между собой правилом буравчика.

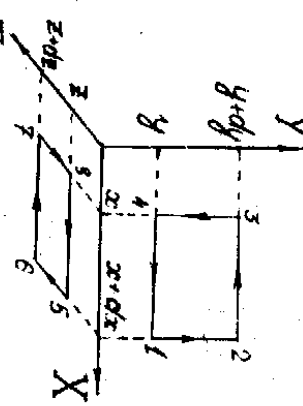


Рис. 20

Будем предполагать, что напряженность электрического поля и индукция магнитного поля - функции только координаты x - см. рис. 20. Это означает, что рассматриваемая нами электромагнитная волна (если, конечно, мы докажем ее существование) - плоская.

Выберем прямоугольный контур в плоскости XY и будем

осуществлять обход по пути 1-2-3-4, предполагая величину dx и dy малыми. Угтем, что на участке 1-2 перемещение происходит по оси Y , поэтому $\int \vec{E} d\vec{l} = E_y(x+dx)dy$; на участке 3-4 перемещение происходит против оси Y , поэтому $\int \vec{E} d\vec{l} = -E_y(x)dy$; участки 2-3 и 4-1 абсолютно одинаковы, но проходимся в разные стороны, следовательно $\int \vec{E} d\vec{l} = -\int E_x(x)dx$. В итоге имеем:

$$\oint \vec{E} d\vec{l} = [E_y(x+dx) - E_y(x)]dy = (\partial E_y / \partial x) dx dy. \quad (2.48)$$

Левая часть соотношения (2.46) легко вычисляется, если иметь в виду, что площадка $d\vec{s}$ - малая, так что величина B_z в разных местах этой площадки одинакова, а нормаль к этой площадке направлена по оси Z :

$$\int \vec{B} d\vec{s} = B_z dx dy. \quad (2.49)$$

Подставив (2.48) и (2.49) в соотношение (2.46), получаем:

$$\frac{\partial E_y}{\partial x} = -\frac{\partial B_z}{\partial t}. \quad (2.50)$$

Аналогичным образом выведем прямоугольный контур в плоскости XZ , и осуществим обход по пути 5-6-7-8. Правая часть уравнения (2.47) вычисляется точно так же, как и правая часть (2.46):

$$\oint \vec{B} d\vec{l} = [B_z(x+dx) - B_z(x)] dz = (\partial B_z / \partial x) dx dz. \quad (2.51)$$

При вычислении левой части нужно учитывать, что направление нормали к контуру 5-6-7-8 противоположно оси Y :

$$\int \vec{E} d\vec{s} = -E_y dx dz. \quad (2.52)$$

Подстановка (2.51) и (2.52) в (2.47) приводит к уравнению

$$\partial B_z / \partial x = -\epsilon_0 \mu_0 (\partial E_y / \partial t). \quad (2.53)$$

Дифференцируя (2.50) и (2.53) по координате Z и изменяя порядок дифференцирования в правых частях (2.50) и (2.53), получаем

$$\frac{\partial^2 E_y}{\partial x^2} = -(\partial / \partial t) \cdot (\partial B_z / \partial x), \quad (2.50, a)$$

$$\frac{\partial^2 B_z}{\partial x^2} = -\epsilon_0 \mu_0 (\partial / \partial t) \cdot (\partial E_y / \partial x). \quad (2.53, a)$$

Наконец, подставим в правую часть (2.50, a) формулу (2.53) а в правую часть (2.53, a) - соотношение (2.50); в итоге имеем два дифференциальных уравнения электромагнитной волны:

$$\frac{\partial^2 E_y}{\partial t^2} = v^2 \frac{\partial^2 E_y}{\partial x^2}, \quad (2.54)$$

$$\frac{\partial^2 B_z}{\partial t^2} = v^2 \frac{\partial^2 B_z}{\partial x^2}. \quad (2.55)$$

Естественно, что эти уравнения абсолютно одинаковы - изменение электрического и магнитного полей в электромагнитной волне строго взаимосвязаны. Скорость электромагнитной волны получила бы такой же, как и в двухпроводной линии - см. формулу (2.44). Следовательно, двухпроводная линия просто направляет электромагнитную волну в нужную сторону, присутствие линии не является необходимым условием существования волны.

Из уравнений (2.54)-(2.55) следует, что электромагнитная волна, в отличие от упругой, может распространяться в вакууме со скоростью $c = 1/\sqrt{\epsilon_0 \mu_0} = 3 \cdot 10^8$ м/с. Получив это число из своих уравнений, Максвелл сделал фундаментальный вывод - свет представляет собой электромагнитную волну (к тому времени скорость света была уже измерена экспериментально с достаточной

большой точностью). Для световой волны параметр $n = \sqrt{\epsilon \mu}$ называется показателем преломления; скорость света в среде с показателем преломления n определяется соотношением $v = c/n$.

Из уравнений (2.54) и (2.55) следует еще один принципиальный вывод - электромагнитная волна всегда является поперечной. Действительно, заданная только одним ограничением - предпологая, что волна плоская, мы в итоге автоматически получим, что в уравнениях (2.54) и (2.55) присутствуют только компоненты напряженности электрического поля и индукции магнитного поля, направленные по осям Y и Z соответственно.

Поэтому в дальнейшем мы не будем пользоваться индексами " Y " и " Z " у напряженности электрического поля и индукции магнитного поля.

Более внимательный анализ полученных нами уравнений позволяет достаточно просто найти связь между амплитудами и фазами колебаний векторов \vec{E} и \vec{B} . Для этого исследуем случай гармонической волны - предположим, что напряженность электрического поля изменяется по закону:

$$E = E_0 \cos(\omega t - kx). \quad (2.56)$$

Предполагая возможность сложить по фазе между колебательными векторами \vec{E} и \vec{B} , запишем:

$$B = B_0 \cos(\omega t - kx + \varphi). \quad (2.57)$$

Далее подставим (2.56) и (2.57) в уравнения (2.50) и (2.53):

$$k E_0 \sin(\omega t - kx) = \omega B_0 \sin(\omega t - kx + \varphi), \quad (2.58)$$

$$k B_0 \sin(\omega t - kx + \varphi) = \omega E_0 \epsilon_0 \mu_0 \sin(\omega t - kx). \quad (2.59)$$

Совершенно очевидно, что равенства (2.58) и (2.59) могут выполняться, только если равны амплитуды и фазы гармонических функций в левых и правых частях этих равенств. Отсюда получаем, что фазы колебаний векторов \vec{E} и \vec{B} одинаковы ($\varphi = 0$); перемена взаимноперекрестно амплитуды (2.58) и (2.59) и приравняв результаты перемножения, имеем:

$$\epsilon_0 \epsilon_0 E_0^2 = B_0^2 / \mu_0^2. \quad (2.60)$$

Поскольку фазы колебаний векторов \vec{E} и \vec{B} совпадают, соотношение (2.60) выполняется для величин напряженности электрического поля и индукции магнитного поля в произвольные моменты времени

(не только для амплитудных значений):
 $\epsilon \epsilon_0 E^2 = B^2 / \mu \mu_0, \quad B = E / v$ (2.61)

На рис. 21 показана мгновенная "фотография" плоской электромагнитной волны, распространяющейся по оси X . С течением времени волна движется по оси X со скоростью $v = c/n$.

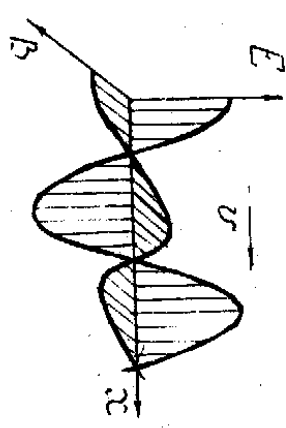


Рис. 21

Обратим внимание, что проекция векторов \vec{E} , \vec{B} и \vec{v} жестко закреплена; направление скорости волны всегда совпадает с направлением векторного произведения $[\vec{E}, \vec{B}]$. Максимумы напряженности электрического поля в электромагнитной волне совпадают с максимумами индукции магнитного поля.

§ 6. Энергия электромагнитной волны

Энергия электромагнитной волны складывается из энергии электрического поля и энергии магнитного поля. Ранее были получены выражения для плотности энергии электрического W_{oe} и магнитного W_{om} полей:

$$W_{oe} = \epsilon \epsilon_0 E^2 / 2, \quad (2.62)$$

$$W_{om} = B^2 / 2 \mu \mu_0. \quad (2.63)$$

Сравнивая (2.62) и (2.63) с (2.61), приходим к выводу, что в электромагнитной волне энергия распределяется поровну между электрическим и магнитным полями (точно так же, как в упругой волне энергия распределяется поровну между кинетической и потенциальной — см. (2.24)).

Из соотношений (2.62) и (2.63) следует, что плотность энергии (энергия, приходящаяся на единицу объема) в среде, где распространяется электромагнитная волна, равна:

$$W_0 = W_{oe} + W_{om} = \epsilon \epsilon_0 E^2 = B^2 / \mu \mu_0 = EB / \mu \mu_0 v. \quad (2.64)$$

Для характеристики переноса энергии электромагнитной волной вводится плотность потока энергии (S), интенсивность (I), поток энергии через какую-либо площадку (Q). Определения этих величин такие же, как для упругой волны (см. стр. 33). Аналогом

вектора Умова является вектор Пойнтинга* (\vec{S})

$$S(t) = W_0(t) \cdot v = EB / \mu \mu_0, \quad (2.65)$$

$$I = \langle S(t) \rangle = \langle W_0(t) \rangle v = E_0 B_0 / 2 \mu \mu_0, \quad (2.66)$$

$$S(t) = W_0(t) \vec{v} = [\vec{E}, \vec{B}] / \mu \mu_0, \quad (2.67)$$

$$\langle S(t) \rangle = \langle W_0(t) \rangle \vec{v} = [E_0 B_0] / 2 \mu \mu_0, \quad (2.68)$$

$$Q(t) = \int S dS = \int S_n dS, \quad (2.69)$$

$$\langle Q(t) \rangle = \int \langle S(t) \rangle dS = \int \langle S_n \rangle dS. \quad (2.70)$$

ГЛАВА III. ИНТЕРФЕРЕНЦИЯ ВОЛН

§ 1. Наложение волн

Пусть в данную точку пространства попадают две волны (упругие или электромагнитные). Пока будем рассматривать случай, когда обе волны вызывают в этой точке колебания, направленные по одной оси (сместенны частоты в упругих волнах, или колебания векторов \vec{E} и \vec{B} в электромагнитных волнах).

Будем предполагать, что выполняется принцип суперпозиции: (принцип наложения волн), т.е. допустим, что результирующий эффект от наложения двух волн есть просто сумма эффектов, вызванных каждой волной (иначе говоря, предположим, что отсутствуют влияния волн друг на друга). В этом случае, предпологая для простоты, что в рассматриваемую точку приходят две монохроматические гармонические волны с частотами ω_1 и ω_2 , результирующие колебания можно найти сложением двух колебаний:

$$\xi = \xi_1 + \xi_2, \quad (3.1)$$

где $\xi_1 = A_1 \cos(\omega_1 t + \varphi_{01})$; $\xi_2 = A_2 \cos(\omega_2 t + \varphi_{02})$. (3.2)

Здесь $\varphi_{01}, \varphi_{02}$ — начальные фазы соответствующих колебаний; A_1, A_2 — амплитуды колебаний.

Сложение колебаний удобно осуществлять методом векторных диаграмм (см. стр. 20). Изобразим гармонические колебания (3.2) двумя векторами, вращающимися против часовой стрелки с угловыми скоростями ω_1 и ω_2 — см. рис. 22. На рисунке приведена "мгновенная фотография" векторов в произвольный момент времени t .

* Введен английским физиком Дж. Г. Пойнтингом в 1885 г.

Углы φ_1 и φ_2 равны фазам колебаний в этот момент:

$$\varphi_2 = \omega_2 t + \varphi_{02}, \quad \varphi_1 = \omega_1 t + \varphi_{01} \quad (3.3)$$

Обозначив $\Delta\varphi = \varphi_2 - \varphi_1$ и используя теорему косинусов, получаем выражение для квадрата амплитуды результирующего колебания:

$$A^2 = A_1^2 + A_2^2 + 2A_1A_2 \cos \Delta\varphi \quad (3.4)$$

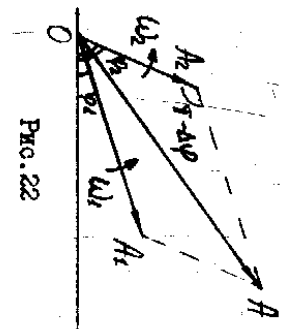


Рис. 22

Наша средняя по времени величина квадрата амплитуды колебаний

$$\langle A^2 \rangle = \frac{1}{T} \int_0^T A^2 dt = A_1^2 + A_2^2 + 2A_1A_2 \langle \cos \Delta\varphi \rangle \quad (3.5)$$

Из соотношения (3.5) следует, что результирующая интенсивность равна

$$I = I_1 + I_2 + \Delta I \quad (3.6)$$

где третье слагаемое, называемое "интерференционным членом"

$$\Delta I = 2\sqrt{I_1 I_2} \langle \cos \Delta\varphi \rangle \quad (3.7)$$

Если в точке, которую мы рассматриваем, находится какой-либо прибор, регистрирующий колебания (для световых волн - фотодетектор, для звуковых - микрофон, ухо), то необходимо учитывать, что любой аппарат осуществляет измерение интенсивности волны в течение какого-то конечного времени τ . Если за это время разность фаз будет беспорядочно изменяться, то средняя величина интерференционного члена окажется равной нулю, и в результате сложения колебаний от двух источников будет выполняться правило сложения интенсивностей:

$$I = I_1 + I_2 \quad (3.8)$$

Если же за время измерений изменение разности фаз будет меньше π , интенсивность волны в данной точке пространства может оказаться как больше, так и меньше суммы I_1 и I_2 (в зависимости от знака интерференционного члена). При этом, очевидно, происходит перераспределение энергии волн в пространстве

(в некоторых областях будут максимумы интенсивности, в других - минимумы). Накладывающиеся друг на друга волны называются в этом случае когерентными, а термин "наложение" (или "суперпозиция") волн заменяет термином "интерференция" волн. Таким образом, интерференция - это наложение волн, сопровождающееся перераспределением энергии волн в пространстве.

§ 2. Интерференция волн от двух точечных источников

Рассмотрим интерференцию волн в простейшем случае - будем предполагать, что накладываются наложение гармонических волн от двух точечных источников, испускающих волны, характеризующиеся одинаковыми величинами частоты начальной фазы и амплитуды. Поскольку в этом случае в любой точке пространства разность фаз $\Delta\varphi$ будет сохраняться постоянной, колебания будут когерентными и, следовательно, будет наблюдаться интерференция волн.

Определим вид интерференционной картины в пространстве - см. рис. 23. Величина $\Delta\varphi$ в любой точке пространства полностью определяется разностью путей r_2 и r_1 , пройденных волнами от двух источников до данной точки. Поэтому ясно, что, если волны распространяются в однородной среде, то геометрическое место точек в плоскости рис. 23, для которых разность фаз $\Delta\varphi = \text{const}$ - гиперболы. Таким образом, максимумы интенсивности на рис. 23 будут располагаться на гиперболах, в фокусах которых находятся источники. Между максимумами будут находиться минимумы интенсивности - также гиперболы. Положение максимумов и минимумов интерференционной картины в пространстве легко получить вращением рис. 23 относительно оси, проходящей через источники - это семейство гиперболоидов вращения. На плоском экране, показанном на рис. 23 справа, будет наблюдаться интерференционная картина, представляющая собой последовательность светлых и темных гипербол - кривых, по которым гиперболоиды вращения пересекаются экраном.

Рассмотрим подробнее структуру интерференционной картины в центре экрана (в плоскости рис. 23, вблизи точки O). Так как

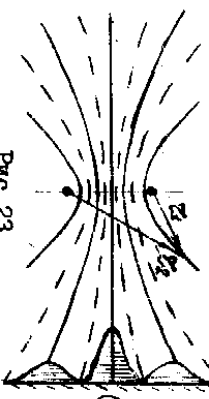


Рис. 23

расстояния от источников 1 и 2 до центральной части экрана практически одинаковы, интенсивности волн от этих источников вблизи центра интерференционной картины на экране также будем считать одинаковыми: $A_1 = A_2 = A_0$; $I_1 = I_2 = I_0$. Тогда соотношение (3.6) упрощается:

$$I = 2I_0 + 2I_0 \cos \Delta\varphi. \quad (3.9)$$

В максимумах интенсивности интерференционной картины $\Delta\varphi = 2\pi m$, $I = 4I_0$; в минимумах $\Delta\varphi = (2m+1)\pi$, $I = 0$ ($m = 0, 1, 2, \dots$ - любое целое число).

Если оба источника и экран находятся в одной плоскости, то разности фаз, кратной 2π соответствует разность хода волн от двух источников

$$\Delta r = r_2 - r_1 = \pm m\lambda, \quad (3.10)$$

где λ - длина волны в данной среде. В тех точках экрана, где выполняется условие (3.10), будут наблюдаться максимумы интерференционной картины. Соответственно, условия минимумов для одноплоскостной среды таково:

$$\Delta r = r_2 - r_1 = \pm (m + 1/2)\lambda. \quad (3.11)$$

Целое число $m = 0, 1, 2, \dots$ в соотношениях (3.9)-(3.11), равно разности хода двух волн, выраженной в длинах волн, называется порядком интерференции.

В том случае, когда два источника расположены близко друг к другу и, наоборот, далеко от экрана, для центральной области экрана выполняются неравенства $r \approx r_1 \approx r_2 \gg d, \varphi; \Delta r \ll d$ (см. рис.24). При этом из подобия двух треугольников имеем

$$\Delta r/d = \varphi/r \approx \varphi/\ell \text{ и, следовательно, максимумы и минимумы интерференционной картины вблизи центра экрана будут распо-}$$

ложены по оси φ в точках

$$\text{максимумы: } \varphi_{max} = \pm m\lambda\ell/d; \quad (m = 0, 1, 2, \dots) \quad (3.12)$$

$$\text{минимумы: } \varphi_{min} = \pm (m + 1/2)\lambda\ell/d. \quad (3.13)$$

Подчеркнем, что условия (3.10)-(3.11) в одноплоскостной среде справедливы всегда, для когерентных волн любого типа (как упругих, так и электромагнитных); условия же (3.12)-(3.13) выполняются только вблизи центра экрана, удаленного от двух источников.

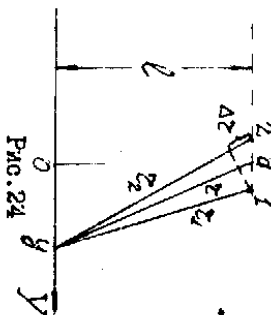


Рис. 24

Иногда приходится рассматривать ситуации, в которых волны от двух источников распространяются в разных средах. Если частоты, на которых излучают источники 1 и 2, остаются одинаковыми, то в разных средах будут отличаться скорости распространения волн и их длины λ , а значит, и волновые числа k .

Полагая, волна от первого источника распространяется в среде 1, а от второго - в среде 2 (длина волн λ_1 и λ_2 , соответственно) и считая начальные фазы излучения для обоих источников одинаковыми, получим:

$$\Delta\varphi = k_2 r_2 - k_1 r_1 = 2\pi (r_2/\lambda_2 - r_1/\lambda_1). \quad (3.14)$$

Из (3.14) следует, что при распространении волн в разных средах нужно сравнивать не геометрические пути, пройденные каждой волной от источника до рассматриваемой точки, а расстояния, измеренные в количестве длин волн.

В оптике соотношение (3.14) принято использовать в несколько иной форме, если показатели преломления n_2 и n_1 :

$$\Delta\varphi = 2\pi (n_2 r_2 - n_1 r_1) / \lambda_0 = 2\pi \Delta / \lambda_0. \quad (3.15)$$

Величина, заключенная в скобки, называется оптической разностью хода двух лучей (λ_0 - длина волны в вакууме):

$$\Delta = n_2 r_2 - n_1 r_1. \quad (3.16)$$

Произведение $n_1 r_1$ иногда называют оптическим путем луча 1, соответственно, $n_2 r_2$ - оптический путь луча 2. Эти выражения легко обобщаются на случай, когда каждый луч проходит через несколько разных сред:

$$\Delta = \sum_i n_{2i} r_{2i} - \sum_k n_{1k} r_{1k}. \quad (3.17)$$

Суммирование здесь проводится по всем средам, по которым распространяются лучи 1 и 2.

Очевидно, что условия максимума интерференционной картины двух световых волн

$$\Delta = \pm m\lambda_0; \quad m = 0, 1, 2, \dots \quad (3.18)$$

соответственно, минимумы должны наблюдаться в тех точках пространства, где

$$\Delta = \pm (m + 1/2)\lambda_0; \quad m = 0, 1, 2, \dots \quad (3.19)$$

§ 3. Условия наблюдения интерференции

В предыдущем параграфе, рассматривая интерференцию монохроматических гармонических волн от двух точечных источников, мы предположили идеализировали реальному картину интерференции волн. Действительно, в природе и технике нет источников, испускающих строго гармонические волны одной частоты; также как нет источников волн бесконечно малых размеров.

Поэтому необходимо выяснить, при каких условиях в реальных ситуациях возможно наблюдение интерференции волн.

1. Сначала обсудим, в какой степени осложняет наблюдение интерференции некогерентность источников волн. Предположим, что в какой-то точке пространства A в момент времени $t = 0$ две волны с частотами ω_1 и ω_2 , накладывают друг на друга, взаимно усиливаются — см. рис. 25, а.

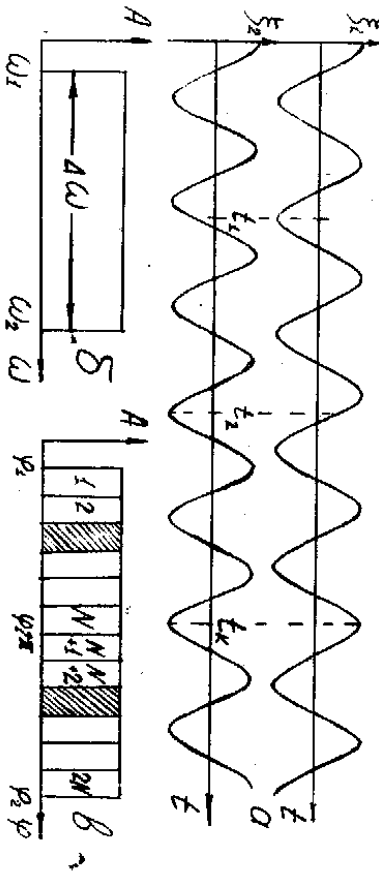


Рис. 25

На рисунке две эти волны показаны отдельно, хотя мы будем считать, что они распространяются по одной прямой. Если время измерений равно t_1 или t_2 (см. рис. 25, в), то за такое время разность фаз между колебаниями ξ_1 и ξ_2 изменится незначительно, эти колебания можно считать когерентными. Когерентность колебаний ξ_1 и ξ_2 нарушится, когда эти две волны перестанут усиливать друг друга, т.е. когда между ними "набежит" разность фаз π . Время, за которое это произойдет, называется временем когерентности t_k . Из вышесказанного следует, что в случае

интерференции двух монохроматических волн $t_k = \pi / (\omega_2 - \omega_1)$.

Обычно приходится иметь дело с источниками, испускающими волны, частоты которых распределены в некотором интервале от ω_1 до $\omega_2 = \omega_1 + \Delta\omega$. Мы будем полагать для простоты, что амплитуда волн всех частот в этом интервале одинакова — см. рис. 25, б. Если в начальный момент времени $t = 0$ фазы всех колебаний совпадают (как это иллюстрируется для двух волн на рис. 25, в), то в этот момент все волны усиливают друг друга. Эффект усиления исчезнет через некоторое время, когда наложение волн будет приводить к их взаимному ослаблению. Покажем, что в рассматриваемом случае это произойдет в момент времени $t = t_k$, когда между "крайними" волнами (с частотами ω_1 и $\omega_2 = \omega_1 + \Delta\omega$) накопится разность фаз, равная 2π . В этот момент фаза "первой" волны равна $\varphi_1 = \omega_1 t_k$, а фаза "последней" $\varphi_2 = \omega_2 t_k = \varphi_1 + 2\pi$. Фаза всех остальных волн будут равномерно распределены в интервале от φ_1 до φ_2 — см. рис. 25, в. Разобьем этот интервал на $2N$ одинаковых малых участков. Любым двум участкам с номерами $l < N$ (на левой половине рис. 25, в) и $l + N$ (на правой половине этого рисунка) соответствует волна, отличающиеся по фазе на π и, следовательно, эти волны взаимно уничтожатся. Следовательно, в момент времени $t = t_k$ вместо усиления волн наблюдаться их полное взаимное подавление.

Итак, для источников, испускающих волны в интервале частот $\Delta\omega$, время когерентности равно

$$t_k = 2\pi / \Delta\omega. \quad (3.20)$$

Количество периодов колебаний, которое произойдет за время когерентности, мы будем называть числом когерентных колебаний:

$$N_k = t_k / T = 2\pi / T \Delta\omega = \omega / \Delta\omega = \lambda / \Delta\lambda. \quad (3.21)$$

Число когерентных колебаний равно максимальному порядку интерференции, который можно наблюдать при данной некогерентности источника волн.

Длина когерентности называется длина пути волн, на которой сохраняется когерентность:

$$l_k = v t_k = \lambda t_k / T = \lambda N_k \approx \lambda^2 / \Delta\lambda. \quad (3.22)$$

Очевидно, что чем более некогерентным является источник волн, тем меньше для этого источника длина когерентности, число

когерентных колебаний и времени когерентности.

С учетом (3.22) соотношение (3.20) может быть записано в несколько иной форме

$$L_K = L_K / v \approx \lambda^2 / v \Delta \lambda. \quad (3.23)$$

Для солнечного света $\lambda = 400-760$ нм, число когерентных колебаний $N_K = \lambda / \Delta \lambda \approx 1$, длина когерентности порядка длины световой волны. Поэтому ясно, что если в опыте, показанного на рис. 24, спектральный состав излучения точечных источников такой же, как Солнца, то будет наблюдаться интерференционная картина, состоящая из центрального (нулевого) максимума и двух симметричных к нему максимумов первого порядка ($m = 1$). При разности хода между лучами 1 и 2, равной двум или более длинам волн, когерентность между этими лучами будет потеряна (максимальный порядок интерференции - максимально возможное число m в соотношении (3.18) - равно числу когерентных колебаний $N_K = 1$).

Используя светодиффузия (т.е. уменьшая $\Delta \lambda$), можно существенно улучшить условия наблюдения интерференции в солнечном свете. Наиболее монохроматическое излучение (помимо лазеров) регистрируется от отдельных возбужденных атомов. Однако и в этом случае испускаемая волна не является строго термонической, т.к. возбужденный атом излучает в течение интервала времени $t_K \approx 10^{-8}$ с, за это время излучается "пул" термонических волн $L = ct_K$. Длина такого пула волн по существу является длиной когерентности для излучения отдельного атома ($L_K \approx 3$ м). Начальная фаза следующего пула никак не связана с фазой предыдущего, поэтому колебания в двух последовательных пулах некогерентны. В лазерях за счет спонтанно излученных волн некогерентности, на несколько порядков больше, чем для излучения одного атома.

2. Рассмотрим теперь, как условия наблюдения интерференции зависят от размеров источника. Сначала предположим, что мы имеем точечный и монохроматический источник излучения А. Волновая поверхность для такого источника имеет вид сфер (на рис. 26 пунктиром показана одна из них). По определению, две волны точечного источника на одной волновой поверхности, должны колебаться в одной и той же фазе. Как нам в этом удостовериться? Поставим непрозрачную преграду ШГ на пути волны, оставив в

этой преграде два маленьких отверстия, через которые волны будут проникать в пространство за преградой (расстояние между отверстиями - d). На некотором расстоянии L от преграды поместим экран, на котором будем наблюдать интерференционную картину. Если волны, испускаемые двумя отверстиями, когерентны, то интерференционная картина должна уверенно регистрироваться (по существу результат такого эксперимента мы уже обсудили в предыдущем параграфе).

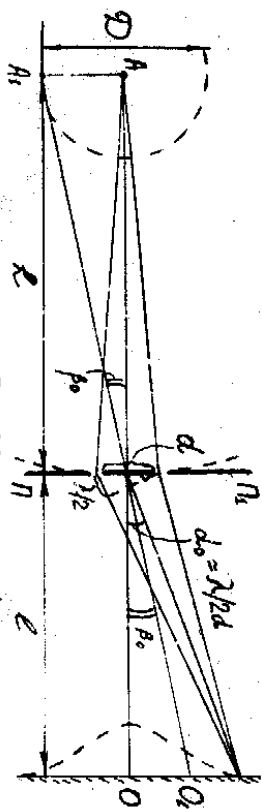


Рис. 26

Внесем в нашу задачу осложнение - будем предполагать, что источник продолжает оставаться монохроматическим, но теперь имеет конечные размеры D (на рис. 26 показана "крайняя" точка нашего источника - A_1). Очевидно, что интерференционная картина от точки A_1 на экране будет смещена относительно интерференционной картины от точки А на угол $\beta_0 = D/2L$, где L - расстояние от источника до преграды (т.е. до интересующей нас волновой поверхности). Если $\beta_0 \gg \alpha_0$, где α_0 - угловое положение первого минимума интерференционной картины от точки А, соответствующего $m = 0$ в соотношении (3.13), то полная интерференционная картина от всего протяженного источника окажется настолько "смазанной", что наблюдать перераспределение энергии в пространных не удастся. А это и означает, что выданные нами две точки на сферической поверхности (два отверстия в преграде) испускают некогерентные волны.

Итак, интерференцию волн от протяженного источника можно наблюдать только при выполнении неравенства $\beta_0 < \alpha_0$. Учитывая, что согласно (3.13) $\alpha_0 = \frac{1}{2} \frac{D}{L} / \lambda / 2d$, приходим к такому условию наблюдения интерференции

$$D/2L < \lambda/2d. \quad (3.24)$$

Это неравенство можно переписать несколько иначе:

$$d < 2r_k = \varphi_k \cdot \lambda. \quad (3.25)$$

В соотношении (3.25) введены т.н. "радиус когерентности"

$2r_k$ и "угол когерентности" φ_k :

$$2r_k = \lambda/\beta = \lambda \mathcal{L}/D; \quad \varphi_k = 2\alpha/\lambda = \lambda/D. \quad (3.26)$$

Здесь $\beta = 2/\mathcal{L} = D/\mathcal{L}$ - угловой размер источника волн.

По физическому смыслу радиус когерентности - это размеры области на сферической поверхности, окружающей источник, в пределах которой колебания можно считать когерентными. Размеры этих областей обратно пропорциональны размерам источника - см. рис. 27. Угол когерентности - это телесный угол, в который протяженный источник испускает когерентные волны. Чем больше размеры источника, тем этот угол меньше. Из (3.26) очевидно, что источник волн может считаться точечным, если его размеры меньше или, во всяком случае, порядка длины волны.

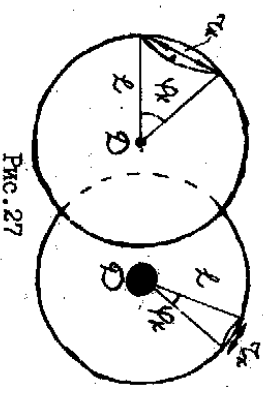
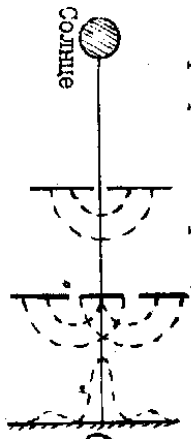


Рис. 27

Для солнечного света ра-

диус когерентности легко подсчитать, если учесть, что угловой размер Солнца $\beta \approx 0,01$ рад: $2r_k = \lambda/\beta = 5 \cdot 10^{-3}$ см. Поэтому, чтобы наблюдать интерференционную картину в опыте, показанном на рис. 26, расстояние между отверстиями в преграде должно быть меньше $5 \cdot 10^{-3}$ см, что трудно экспериментально осуществить.

Лишь в начале XIX в. Т. Юнг удалось впервые наблюдать интерференцию солнечного света от двух точечных источников (отверстий в непрозрачном экране). Оказалось, что интерференцию можно наблюдать только, если между



преграда

Рис. 28

экраном с двумя отверстиями и Солнцем поместить еще одну преграду с небольшим отверстием - см. рис. 28. На значение этой пополнительной преграды теперь понятно - с ее помощью удается уменьшить угловые размеры источника (в схеме Книга источником света служит отверстие в

преграде), а следовательно, увеличить радиус когерентности. Введем еще одну характеристику, определяющую степень когерентности излучения - объем когерентности

$$V_k = \mathcal{L} \cdot 2r_k^2. \quad (3.27)$$

Объем когерентности определяет объем той области пространства, в которой испускаемые источником волны когерентны.

§ 4. Стоячие волны

Возникновение стоячих волн - простейший случай интерференции. Пусть против оси x распространяется плоская гармоническая волна, частота которой ω , а волновое число k :

$$\xi_1 = A_0 \cos(\omega t + kx). \quad \omega = \frac{2\pi}{T} \quad (3.28)$$

На пути этой волны расположена неподвижная, идеально отражающая преграда (координата преграды $x = 0$). Уравнение отраженной от преграды плоской волны аналогично (3.28), только знак перед x необходимо изменить - направление распространения отраженной волны противоположное; кроме того, нужно учесть возможное изменение фазы при отражении:

$$\xi_2 = A_0 \cos(\omega t - kx - \varphi_0). \quad (3.29)$$

Используя принцип суперпозиции, получим, что в результате наложения прямой и отраженной волн возникает т.н.

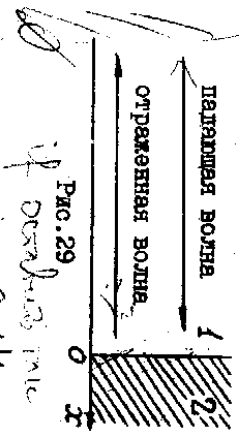


Рис. 29

"стоячая волна"

$$\xi = \xi_1 + \xi_2 = A_0 \cos(\omega t - \frac{\varphi_0}{2}) \cos(\frac{kx + \varphi_0}{2}) \quad (3.30)$$

В соотношении (3.30) амплитуда колебаний

$$A = |2A_0 \cos(\frac{kx + \varphi_0/2}{2})| \quad (3.31)$$

оказывается зависящей от координаты x : в тех точках называемых "пучностями", где $\cos(\frac{kx + \varphi_0/2}{2}) = \pm 1$, амплитуда максимальна ($A = 2A_0$); в "узлах" $\cos(\frac{kx + \varphi_0/2}{2}) = 0$ и амплитуда колебаний равна нулю.

$$A = 2A_0 \cos(\frac{kx + \varphi_0/2}{2}) = m \cdot A_0, \quad m = 0, 1, 2, \dots \quad (3.32)$$

$$A = 0 \text{ (узлы)}, \quad kx + \varphi_0/2 = (m + 1/2)\pi, \quad m = 0, 1, 2, \dots \quad (3.33)$$

На границе раздела двух сред ($x = 0$) число m принимает

минимальное значение ($m = 0$), по мере увеличения от нее m растет. Найдем изменение фазы волны при отражении, пока не конк-ретизируя вид волн (упругие, электромагнитные).

а) Пусть на границе раздела наблюдается лучность — см.

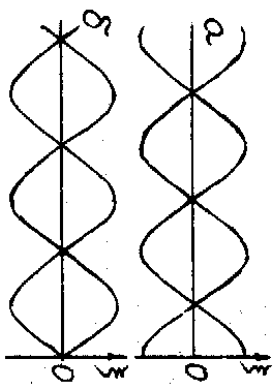


Рис. 30

Итак, если на границе образуется узел (рис. 30, б), то при отражении фаза волны изменяется на π (в этом случае принято говорить, что при отражении теряется половина).

Для упругих волн узел на границе раздела двух сред возникает, если отражение происходит от более плотной среды (пример — веревка, привязанная к стене; при образовании на ней стоячей волны у стены всегда наблюдается узел). В более плотной среде смещения колеблющихся частиц меньше, чем в менее плотной.

Для электромагнитных волн необходимо учесть их специфику — векторы E , B и \mathcal{U} жестко связаны между собой (векторное произведение $[E, B]$ всегда направлено по направлению распространения волны). Поэтому при отражении электромагнитной волны только один из векторов (E или B) должен изменить направление — см. рис. 31.

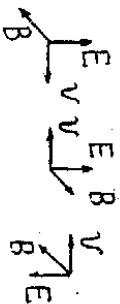


Рис. 31

Соответственно, если для одной составляющей электромагнитной волны (например, E) на границе будет узел, то для другой (в данном случае B) — лучность (см. рис. 31). Если, наоборот, на границе раздела двух сред наблюдается узел B , то обязательно там же должна быть лучность E — рис. 32.

В дальнейшем нас в основном будет интересовать поведение

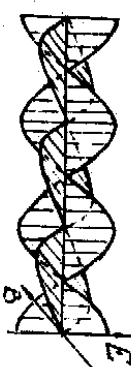


Рис. 32

на электрополевых эффектах). Параметром среды, определяющим действие на нее электрического поля, является диэлектрическая проницаемость ϵ . Аналогом более плотной среды для упругих волн следует считать в случае электромагнитных волн среду с большей величиной диэлектрической проницаемости, так как в та-кой среде напряженность электрического поля меньше (ср. смещение частиц для упругой волны). В применении к световым волнам средой с большими значениями ϵ и μ называют оптически более плотной.

Итак, если электромагнитная волна распространяется в среде 1 и отражается от среды 2, то на границе раздела происходит дит потеря $1/2$ волны в том случае, когда справедливы неравенства:

$$\epsilon_2 > \epsilon_1, \quad \mu_2 < \mu_1, \quad \mu_2 < \mu_1. \quad (3.36)$$

В этой ситуации на границе раздела двух сред наблюдается узел для электрического поля и лучность — для магнитного — см. рис. 33. Обратим внимание, что в стоячей электромагнитной волне

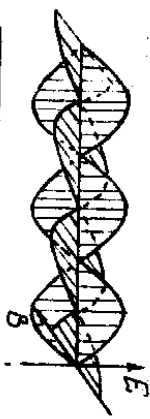


Рис. 33

области максимумов энергии электрического и магнитного полей пространственно разнесены (в отличие от бегущей волны). Заметим, что точно такое же соответствие имеется и в случае упругих волн: для бегущей волны максимумы потенциальной и кинетической энергии совпадают; в стоячей упругой волне максимумы кинетической энергии приходятся на лучности, а потенциальной — на узлы.

§ 5. Интерференция волн, отраженных от двух поверхностей

Пусть три различные среды разделены плоскими, параллельными границами раздела — см. рис. 34. В первой среде распространяется плоская волна (длина волны λ_1), падающая на границу раздела сред 1 и 2 под углом α . Отраженная от этой

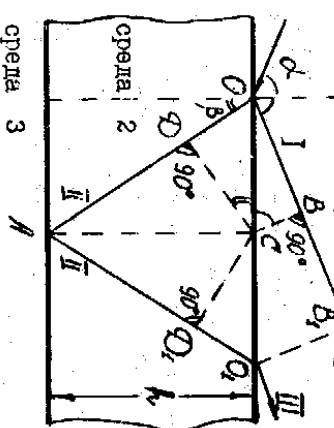


Рис. 34

границы волна I также составляет угол α с нормалью к граничной плоскости. Прошедшая во вторую среду волна II (длина волны во второй среде λ_2) частично отражится от нижней границы раздела и снова выйдет в первую среду (луч III). Таким образом, между лучами I и III возникает разность фаз, поскольку эти лучи проходят разные пути. Установим, какова эта разность фаз.

Выполним следующие построения: проведем перпендикуляр AC к обеим границам и из точки C опустим перпендикуляры CB и CD к лучам I и II, соответственно. Из проведенного построения очевидно, что $\angle OCB = \alpha$ (углу падения), $\angle OCD = \beta$ (углу преломления). Отсюда следует:

$$\frac{sin \alpha}{sin \beta} = \frac{OB}{OC} : \frac{OD}{OC} = \frac{OB}{OD} = \frac{\lambda_1}{\lambda_2} \quad (3.37)$$

Из (3.37) получаем, что, если измерять пути в количестве длин волн, то такие "волновые пути" на отрезках OB (для луча I) и OD (для луча II) оказываются равными. Ясно также, что то же самое можно утверждать относительно "волновых путей" на отрезках BE_1 и OD_1 (т.к. $BE_1 = OB$, $OD_1 = OD$). Таким образом, разность волновых путей лучей I и II обусловлена тем, что луч II-й проходит дополнительное (по сравнению с лучом I) расстояние DD_1 . Величину этого дополнительного пути во второй среде мы обозначим Δl , а толщину слоя 2 — k . Тогда

$$\Delta l = 2k \cos \beta \quad (3.38)$$

Если величина Δl меньше длины когерентности l_k , то при наложении лучей I и III возникнет интерференционная картина. Поскольку лучи I и III параллельны, интерференционная картина в рассматриваемом случае локализована в бесконечности (в частном случае интерференция световых волн, отраженных от поверхности тонкой пленки, лучи I и III можно считать линзой в ее фокальной плоскости).

Запишем условия максимумов и минимумов интенсивности интерференционной картины в двух случаях:

I. Отражение на каждой границе происходит от более плотной среды. При отражении луча I теряется $\lambda/2$ и при отражении луча III — тоже. Поэтому дополнительная разность фаз между лучами I и III из-за отражения не возникает.

Максимумы: $2k \cos \beta = m \lambda_2$,
 Минимумы: $2k \cos \beta = (m + 1/2) \lambda_2$, $m = 0, 1, \dots$ (3.39)

2. Среда 3 плотнее среды I, причем более плотной является среда 2. При отражении луча I теряется $\lambda/2$, как и раньше; но при отражении луча II изменения фаз нет (отражение от менее плотной среды). Эту дополнительную разность фаз между лучами I и III необходимо учесть при записи условий максимумов и минимумов:

Максимумы: $2k \cos \beta = (m + 1/2) \lambda_2$,
 Минимумы: $2k \cos \beta = m \lambda_2$, $m = 1, 2, \dots$ (3.40)

Явления, связанные с интерференцией отраженных от двух поверхностей волн, особенно важны в оптике. Поскольку обычно эти явления наблюдаются в естественном (солнечном) свете, видеть их можно только в тех случаях, когда толщина отражающей пленки (среда 2 на рис. 34) порядка длины световой волны. Это объясняется тем, что длина когерентности солнечного света порядка λ , поэтому для больших толщин пленок теряется когерентность между лучами I и III. Естественно, что с повышением монохроматичности источника света условия наблюдения интерференции становятся все более мягкими (увеличивается длина когерентности) и перечисленные ниже эффекты можно регистрировать, используя более толстые пленки.

I. Цвета тонких пленок. При наблюдении тонких пленок в отраженном свете они "окрашиваются" в те цвета, для которых удовлетворяется в данных условиях соотношение, описан-

Видиме максимумы интерференционной картины - см. (3.39)-(3.40).

2. Полосы равной толщины. Если тонкая пленка неоднородна по толщине и освещается параллельным пучком монохроматического света, то области разной толщины будут иметь различную интерференционную окраску (т.к. для некоторых толщин будут выполняться условия максимумов, а для других - минимумов). При освещении такой пленки белым светом участки пленки, имеющие одинаковую толщину, будут одинаково окрашены. В частности, если пленка представляет собой клин с малым углом (рис.35), то полосы равной толщины будут параллельны ребру клина и расположены на одинаковых расстояниях друг от друга. Легко показать, что интерференционная картина в этом случае локализована в плоскости, проходящей через ребро клина (в этой плоскости пересекаются все лучи, отраженные от двух поверхностей клина).

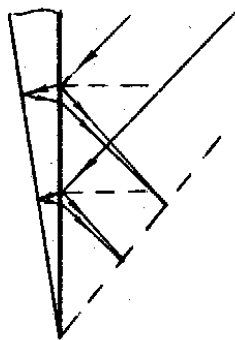


Рис.35

Другой частный случай полос равной толщины - кольца, наблюдаемые при отражении или прохождении света через систему, состоящую из плоской пластины и лежащей на ней линзы большого радиуса ("кольца Ньютона"). Кольца Ньютона представляют собой семейство концентрических темных и светлых окружностей, сгущающихся к периферии интерференционной картины.

3. Полосы равного наклона. Такие полосы наблюдаются, когда на тонкую плоскопараллельную пленку падает конический пучок света. Интерференционная картина в этом случае состоит из системы концентрических темных и светлых колец, поскольку положение максимумов и минимумов целиком определяется углом, под которым лучи света падают на пленку. Для всех лучей с одинаковыми углами падения (независимо от того, в какой плоскости они лежат), условия интерференции абсолютны одинаковы.

Ясно, что при освещении пленки монохроматическим пучком интерференционные кольца одного цвета, но разной интенсивности; если используется конический пучок белого света, то кольца будут разных цветов.

Полученные нами соотношения (3.39) оказываются полезными и при рассмотрении интерференции рентгеновских лучей, отражен-

ных от кристаллической решетки - см. рис.36. В этом случае h - расстояние между кристаллическими плоскостями, угол падения равен углу предомлиения ("среда" воздуха и та же), условия отражения двух лучей, как и при выводе соотношений (3.39), одинаковы. Поэтому, переходя к углу скольжения условия максимума можно записать в виде

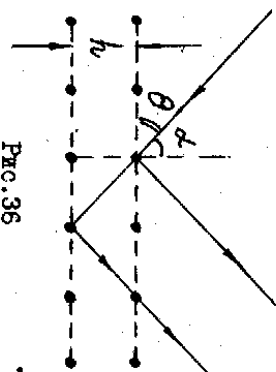


Рис.36

$$2h \sin \theta = \pm m\lambda, \quad (3.41)$$

Соотношение (3.41) представляет собой основное уравнение рентгеноструктурного анализа - формулу Брэгга-Вулфа. Многочисленные методы рентгеноструктурного анализа базируются на этой формуле и широко используются (в частности, в химии) для анализа структуры твердых тел, в том числе молекулярных кристаллов.

Г Л А В А IV. Д И Ф Р А К Ц И Я В О Л Н

§ 1. Принцип Гюйгенса-Френеля. Метод зон Френеля

Под дифракцией волны обычно понимают явление отклонения волнами препятствия. В более широком смысле дифракцией можно назвать любое отклонение при распространении волн от законов геометрической оптики. Основой для понимания дифракционных явлений в дальнейшем будет служить принцип Гюйгенса-Френеля, сформулированный в законченной форме в первой четверти XIX в.

Принцип Гюйгенса-Френеля состоит из двух положений:

1. Любая точка на любой волновой поверхности может рассматриваться как самостоятельный источник сферических волн. Эти волны в дальнейшем мы будем называть "вторичными".
2. Амплитуда (а следовательно, интенсивность) колебаний в любой точке пространства можно рассматривать как результат интерференции вторичных волн.

Продолствуем принцип Гюйгенса-Френеля таким примером. Пусть имеется точечный источник монохроматических волн А. Окружим его замкнутой поверхностью произвольной формы - рис. 37.

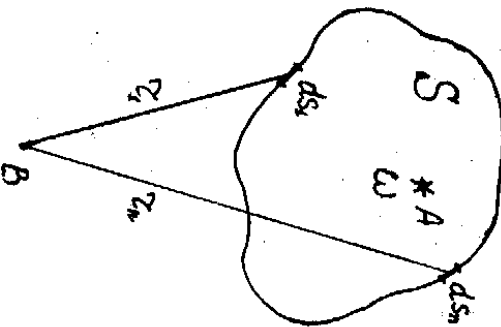


Рис. 37

Разобьем эту поверхность на малые элементы ds , каждый из которых будем считать "вторичным" точечным источником (расстояние от каждого вторичного источника r_2 должно быть много больше размера элемента ds). Согласно принципу Гюйгенса-Френеля для вычисления амплитуды (и, следовательно, интенсивности) колебаний в некоторой произвольной точке В можно вместо волн от источника А рассматривать только вторичные волны от всех элементов ds , а решить сложившее колебание в точке В найти сложением колебаний от вторичных источников (вторичные источники выглядят как малые размеры точечными, распространяющиеся от них волны - сферическими):

$$\sum_A = \sum_{(n)} \sum_{(n)} (A_n / r_n) \cos(\omega t - k r_n - \varphi_n) \quad (4.1)$$

Частота колебаний ω для всех вторичных волн такая же, как частота первичного источника А; $k = 2\pi / \lambda$ - волновое число; начальные фазы φ_n определяются фазой колебаний, кошедших до соответствующего элемента поверхности ds_n из точки А.

Выход поверхности S в принципе произволен; обычно S выбирают таким образом, чтобы максимально упростить поставленную задачу.

Использование принципа Гюйгенса-Френеля позволяет предсказать основные закономерности дифракции волн на препятствиях простой формы, в частности, круглых отверстий и дисках.

Начнем рассмотрение с наиболее простого случая - будем считать, что источник А удален от точки наблюдения В на бесконечность, так что распространяющаяся от него волна - плоская, а в некоторой плоскости $S'OS$ (сонадающей с одной из волновых

поверхностей), помещена непрозрачная для волн преграда с круглым отверстием в центре, радиус которого равен OS - см. рис. 38.

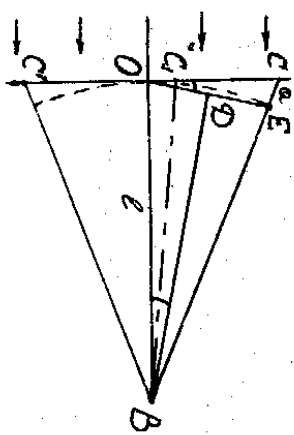


Рис. 38

Метод зон Френеля состоит в том, что интересующий нас волну показанную на рисунке - OS) разбивают на кольцевые участки таким образом, чтобы расстояния от границ этих участков до точки наблюдения В отличались на $\lambda/2$. Первая зона Френеля представляет собой круг, причём расстояние BC_1 больше $\lambda/2$; остальные зоны - кольца.

Выполним следующие построения: начертим дугу окружности радиусом OB с центром в точке В, проведем хорду OE и опустим на нее перпендикуляр ED из точки В. Легко видеть, что $\angle OBE = \angle OED$, т.к. стороны этих углов взаимно перпендикулярны. Учитывая, что рассматриваемые углы малы ($OS \ll OB$) можно записать:

$$OD : OB = EC : OS. \quad (4.2)$$

Введем обозначения: $OS = r$, $OB = l$, $EC = a$; учитывая, что $OD \approx r/2$ соотношение (4.2) перепишем в виде:

$$r/2l \approx a/r \quad (4.3)$$

Считая, что точка С лежит на границе m -ой зоны Френеля, а радиус отверстия r - это, соответственно, "внешний" радиус m -ой зоны Френеля; $r = m\lambda/2$, из (4.3) получаем:

$$a = r^2 / 2l, \quad r_m = \sqrt{m\lambda l}. \quad (4.4)$$

Полученное выражение для радиуса m -ой зоны Френеля легко обобщить на более общий случай. Пусть теперь точка А находится на конечном расстоянии L до плоскости SOS' - см. рис. 39. Со-единяя точки А и С, проводим точно такие же построения, как и ранее (спроим дугу окружности с центром в точке А, хорду OE и т.д.). В результате получим (обозначив $OE = l$):

$$r = \sqrt{2m\lambda L}. \quad (4.5)$$

Полная разность хода между лучами АСВ и АОВ равна сумме a и ϵ . Если, как и ранее, точка С находится на границе n_2 -ой зоны Френеля, то $a + \epsilon = m\lambda/2$ и, следовательно, имеем:

$$2m^2 = \frac{m^2 \lambda^2}{\lambda^2}, \text{ где } \frac{1}{\lambda^2} = \frac{1}{\lambda^2} + \frac{1}{\lambda^2}, \quad (4.6)$$

Вычисляя площадь n_2 -ой зоны Френеля

$$S_{m^2} = S_{m^2}^2 - S_{(m-1)^2}^2 = S \lambda^2, \quad (4.7)$$

убеждаемся, что в рассматриваемом случае площади всех зон Френеля одинаковы.

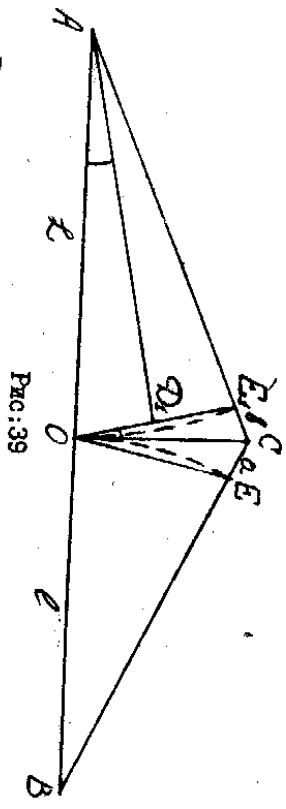


Рис. 39

Поместим теперь в плоскости ОС непрозрачную для волн преграду с круглым отверстием, радиус которого точно равен радиусу первой зоны Френеля ($r = r_1$). Построим векторную диаграмму колебаний в точке В. Для этого разобьем первую зону на много кольцевых участков одинаковой площади (так, чтобы волны, имевшие в точку В от одного и того же кольцевого участка, имели одинаковую фазу). Используем метод векторных диаграмм: изображим колебания в точке В от первого (центрального) участка первой зоны Френеля вектором $E_1^{(0)}$, второго участка - $E_2^{(0)}$ и т.д. (см. рис. 40). При сложении векторов $E_1^{(0)}, E_2^{(0)}, \dots, E_n^{(0)}$ необходимо учитывать, что колебания от каждого следующего участка приходят в точку В с некоторым запаздыванием по фазе, т.к. соответствующие волны проходят до точки В больший путь. Поскольку вся система векторов вращается с частотой ω против часовой стрелки, запаздывания по фазе соответствует поворот вектора по часовой стрелке. Вектор $E_n^{(0)}$ от последнего участка первой зоны отстает по фазе на π от $E_1^{(0)}$, так как, по определе-

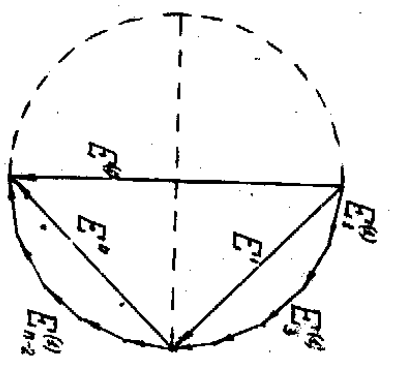


Рис. 40.

Совершенно аналогично поступаем, определяя результирующее колебание в точке В от всех последующих зон Френеля: разбиваем каждую зону на n узких кольцевых полосок и суммируем соответствующие вектора; первый вектор каждой последующей зоны "приливаем" с небольшим сдвигом по фазе к последнему вектору предыдущей зоны. На рис. 41, а изображена векторная диаграмма для первых двух зон Френеля, на рис. 41, б - трех зон, на рис. 41, в показана векторная диаграмма, получившаяся в результате сложения колебаний от всех зон Френеля, вектор E_0 - амплитуда результирующего колебания в точке В. Заметим, что с увеличением номера зон размеры векторов $E_1^{(0)}, E_2^{(0)}, \dots, E_n^{(0)}$ постепенно уменьшаются (соответственно, уменьшается и размер "диагонали" соответствующей полуокружности), т.к. каждая последующая зона находится от точки В несколько дальше, чем предыдущая. Согласно рис. 40 и 41, в, приходим к парадоксальному на первый

вид, разность хода между соответствующими лучами равна $\lambda/2$. Суммируя все n векторов от $n/2$ участков, получаем, что результирующее колебание может быть изображено вектором $E^{(0)}$. Векторами E' и E'' на рис. 40 изображены амплитуды колебаний в точке В от первой и второй половинок первой зоны Френеля (граница между этими частями первой зоны - окружность, разделяющая зону на две равные по площади части).

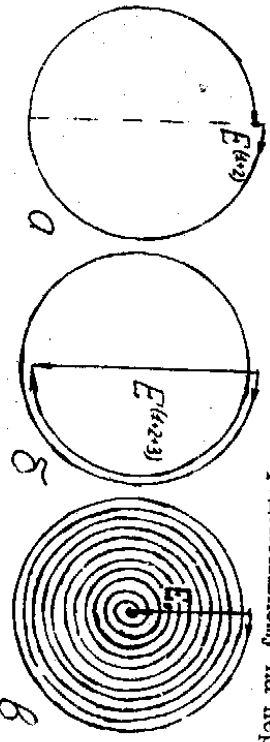


Рис. 41

важно выводу - амплитуда колебаний в точке В от одной первой зоны в два раза больше амплитуды колебаний от всех зон, вместе взятых. Таким образом, если закрыть все зоны, кроме первой, то в центре экрана будет наблюдаться светлое пятно, интенсивность которого в 4 раза больше, чем в отсутствие преграды. Отсюда следует, что малое отверстие может выполнять роль линзы со слабым фокусирующим действием, что и использовалось в первых фотокамерах.

При изменении расстояний от источника до преграды λ или от преграды до экрана L будет изменяться число открытых зон Френеля и, соответственно, интенсивность интерференционной картины в центре экрана. Пусть, например, в исходном положении расстояния λ и L таковы, что круглое отверстие в преграде равно двум λ оставяет открытыми 4 зоны Френеля ($r.e. \lambda = 2 \cdot \lambda$). Из рис. 41, в следует, что при этом в точке В будет наблюдаться темное пятно. Будем приближать экран к отверстию (уменьшать L); как видно из формулы (4.6), радиус r_n -ой зоны Френеля при этом уменьшится, и отверстие в экране будет "вмещать" все большее число зон. В тот момент, когда радиус отверстия станет равным радиусу пятой зоны Френеля, в центре экрана будет регистрироваться светлое пятно. При дальнейшем перемещении экрана по направлению к преграде интенсивность интерференционной картины в точке В будет пульсировать - она будет максимальной, когда открыты нечетное число зон Френеля (5, 7, 9 и т.д.), и минимальной - когда четное (6, 8, 10 и т.д.).

Если экран удалять от преграды, количество видимых из центра экрана зон Френеля будет уменьшаться (см. (4.6)). Интенсивность картины в точке В также будет пульсировать до тех пор, пока не останется открытой только одна зона. В этот момент мы зарегистрируем самый яркий максимум интенсивности в центре экрана и три дальнейших увеличения λ пульсации прекратятся - будет наблюдаться постепенное уменьшение освещенности центральной точки экрана и "расплывание" центрального дифракционного максимума (подробнее об этом несколько позже).

Общим характер дифракционной картины на экране не только в центре. Очевидно, что картина симметрична относительно оси АВ. Предположим, что из точки В видна только одна первая

зона Френеля - рис. 42, а. Сместимся немного в сторону от центра экрана - в точку В₁. Из этой точки уже видна значительная часть второй зоны Френеля, и только некоторая доля - первой (рис. 42, б). Если "выимне" площадь первой и второй зон близки, амплитуда результирующих колебаний в точке В₁ будет малой. Отсюда следует, что центральное светлое пятно будет окружено темным кольцом - первым минимумом. Сместимся еще дальше от центра экрана - в точку В₂ (рис. 42, в). Из этой точки видна уже значительная часть третьей зоны Френеля, колебания от которой совпадают по фазе с колебаниями от первой зоны, поэтому интенсивность колебаний в точке В₂ будет больше, чем в точке В₁ - т.е. снова будет наблюдаться светлое кольцо. Итак, очевидно, что дифракционная картина при дифракции волн на круглом отверстии представляет собой систему концентрических колец большей и меньшей интенсивности, в центре картины будет светлое или темное пятно (в зависимости от числа открытых зон Френеля).

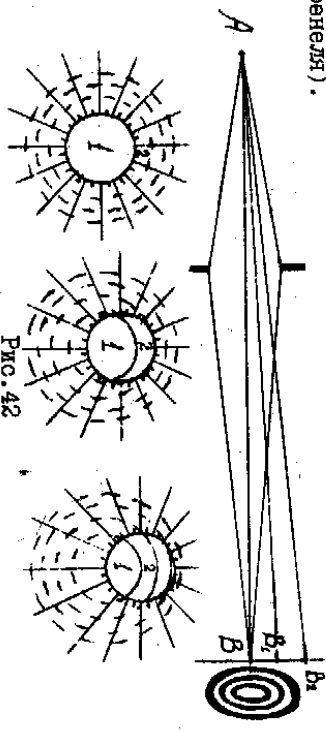


Рис. 42

Если в плоскости ОС (см. рис. 39) поместить пластинку, на которой "затемнить" кольца, соответствующие всем четным зонам Френеля, и оставить пронцаемыми для волн области, соответствующие всем нечетным зонам Френеля, то получится так называемая "амплитудная зонная пластинка". Векторная диаграмма колебаний в точке В для такой пластинки показана на рис. 43. Очевидно, что если пластинка пропускает излучение от N нечетных зон, то амплитуда колебаний в центре экрана возрастает приблизительно в N раз, а интенсивность - в N^2 раз (по сравнению с круглым отверстием, открывающим одну зону Френеля).
 Пополнительное увеличение амплитуды колебаний в точке В

В два раза (в интенсивности - в четыре раза) можно получить, если четные зоны Френеля не закрывать, а ввести на соответствующих местах пластинки дополнительную разность хода $\lambda/2$ (обеспечить сдвиг фаз на $\lambda/2$). В этом случае излучение от четных зон будет приходить в точку наблюдения в той же фазе, что и от нечетных. Такая пластинка называется фазовой зонной пластиной. Амплитудная или фазовая зонная пластинка имитирует действие собирающей линзы с фокусным расстоянием, которое легко получить из соотношения (4.4):

$$F = z_m^2 / m\lambda \quad (4.8)$$

где z_m - радиус границ между темными и светлыми кольцами на пластинке. Из соотношения (4.8) следует, что положение фокуса зависит от длины волны, что является серьезным недостатком зонной пластинки как оптического фокусирующего элемента. Отметим, однако, что устройства типа зонных пластинок с успехом используются для фокусирования или направленного излучения радиоволн.

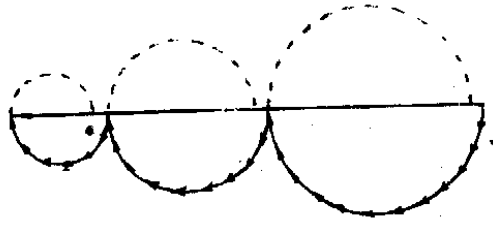


Рис. 43

Остается лишь вкратце на дифракции волн от небольших круглых препятствий. Рассмотрим для этой цели векторную диаграмму рис. 41, в. Если круглое препятствие закрывает две зоны Френеля, то это означает, что из спирали, изображающей векторную диаграмму для всех зон Френеля, нужно "удалить" две первых по окружности. Либо, что результирующая амплитуда колебаний в центре экрана



Рис. 44

(точке В) изменится при этом мало. Этот вывод останется справедливым при любом небольшом количестве закрытых зон - см. рис. 44. Получается довольно неожиданный результат теории Френеля, на который впервые обратил внимание Пуассон, - в центре дифракционной картины от не очень больш-

шого круглого препятствия света должно наблюдаться светлое пятно (т.н. "пятно Пуассона"). Очевидно, что вдоль края тени от круглого экрана, как и при дифракции на отверстии, должны наблюдаться светлые и темные кольца.

§ 2. Дифракция Френеля от щели

Метод зон Френеля оказывается весьма полезным и при решении задачи о дифракции волн на препятствиях типа полуплоскости или щели. В качестве примера рассмотрим дифракцию плоской волны на длинной щели шириной b . Экран, на котором регистрируется дифракционная картина, находится на расстоянии z от щели.

Разобьем плоскость, в которой находится препятствие от щели (эта плоскость перпендикулярна направлению распространения плоской волны), на зоны Френеля. В рассматриваемой задаче в качестве зон Френеля удобно выбрать полосы, параллельные щели. Расстояния от границы зон до точки наблюдения (пока будем называть дифракционной картиной в центре экрана - точке В), как и ранее, отсчитываем на $\lambda/2$. Повторим выкладки, проведенные на стр. 59, получим, что

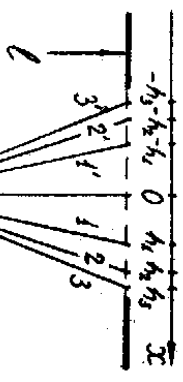


Рис. 45

Площадь m -ой зоны Френеля в данном случае пропорциональна ширине соответствующей полоски, т.е.

$$S_m \sim \sqrt{m} - \sqrt{m-1} \quad (4.10)$$

где z - расстояние от щели до точки наблюдения.

Отсюда следует, что в рассматриваемой ситуации площади разных зон Френеля отнюдь не равны:

$$S_1 : S_2 : S_3 : S_4 = 1 : 0,41 : 0,32 : 0,27 \quad (4.11)$$

Другая особенность этой задачи - наличие двух симметричных семейств зон Френеля - правой (цифры без штрихов на рис. 45) и левой (цифры со штрихами).

Сначала отобразим в виде векторной диаграммы результирующее действие только одной первой (нештрихованной) зоны Френеля.

Для этого мысленно разделим первую зону на много (N) узких полосок, параллельных границам зоны (и шири) и равных по ширине. Действие первой такой полоски (сдвигающей в центр) в точке В изобразим в виде маленького вектора $E_1^{(0)}$ - см. рис. 46. Как и в за-



Рис. 46

доче о дифракции на круглом отверстии, будем добавлять к вектору $E_1^{(0)}$ вектора $E_2^{(0)}, E_3^{(0)}, \dots, E_N^{(0)}$, изображающие действие следующих полосок. Длина каждого следующего вектора несколько меньше предыдущего из-за того, что чем больше номер полоски, тем дальше она находится от точки В (этог эффект навалки, также же уменьшение амплитуды векторов имеет место и при рассмотрении дифракции на круглом отверстии). Более существенно кругое - сдвиг фаз между колебаниями от соседних полосок сначала (для полосок, близких к центру) изменяется сравнительно медленно, а затем (при возрастании номера полоски) нарастает все быстрее. Эта особенность рассматриваемой задачи становится понятной, если вспомнить, что ширина зон Френеля быстро уменьшается с ростом номера зоны - см. (4.11). В итоге суммирования всех векторов $E_1^{(0)}, E_2^{(0)}, \dots, E_N^{(0)}$ для первой зоны Френеля мы получим слегка деформированную полуокружность - рис. 46.

Ошнем для кривых, показанных на рис. 40 и рис. 46, выкажутся сдвиг фаз между крайними векторами, равный в обоих случаях

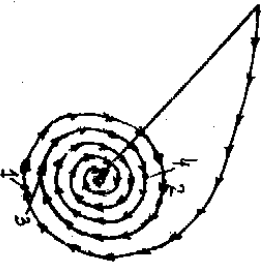


Рис. 47

равен на рис. 47 к полуокружности. Точки, обозначающие границы действия первых четырех зон Френеля, отмечены на рис. 47 номерами

ми. Видно, что действие первой зоны существенно больше действия второй (и последующих), так как площадь первой зоны значительнее больше площади любой последующей.

Очевидно, что точно такая же векторная диаграмма может быть построена для совокупности "лент" (штрихованных на рис. 45) зон Френеля. Поднув векторную диаграмму для бесконечно широкой щели, получим, "сшивая" две векторные диаграммы, показанные на рис. 47. При таком "сшивании" нужно учесть, что два начальных вектора $E_1^{(0)}$ и $E_1^{(0)}$ (от двух центральных полосок справа и слева от осевой линии OB) практически параллельны (фаза колебаний почти одинакова); по мере удаления от центральной полоски к периферийным соответствующие векторы $E_2^{(0)}, E_3^{(0)}, \dots, E_N^{(0)}$ все больше поворачиваются относительно $E_1^{(0)}$ по часовой стрелке (оставляя по фазе). В результате получим полуокружность диаграмму колебаний в

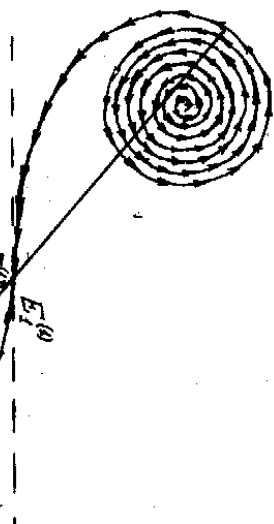


Рис. 48

48, можно провести качественное построение дифракционной картины от щели длиной b . В качестве примера рассмотрим дифракцию плоской волны на щели, ширина которой

$$b = \lambda = \sqrt{\lambda R}$$

На рис. 49 еще раз воспроизведена плоскость SOS_1 , в которой предполагается размерность прегула со щелью; цифрами обозначены вычисленные по формуле (4.9) границы зон Френеля.

Поместим щель точно в центре выделенной плоскости (поло-

жение "а" на рис. 49^к). Правильный щель приходится на середину первых зон Френеля справа и слева от оси ОВ. Соответствующий результирующий вектор колебаний в центре экрана показан на рис. 48 (вектор E_{a_2}).

Для того, чтобы найти амплитуду колебаний в какой-то точке экрана, отстоящей на расстоянии "x" от центра (точки В) осей на такое же расстояние от осевой линии ОВ саму щель, а ре-гистрировать колебания будем в точке В (и, соответственно, точка Пользоваться векторной диаграммой рис. 48). В частности, точка на экране, отстоящей от осевой линии ОВ на величину $\delta/2$ соот-ветствует положению щели, показанное на рис. 49 знаком "С".

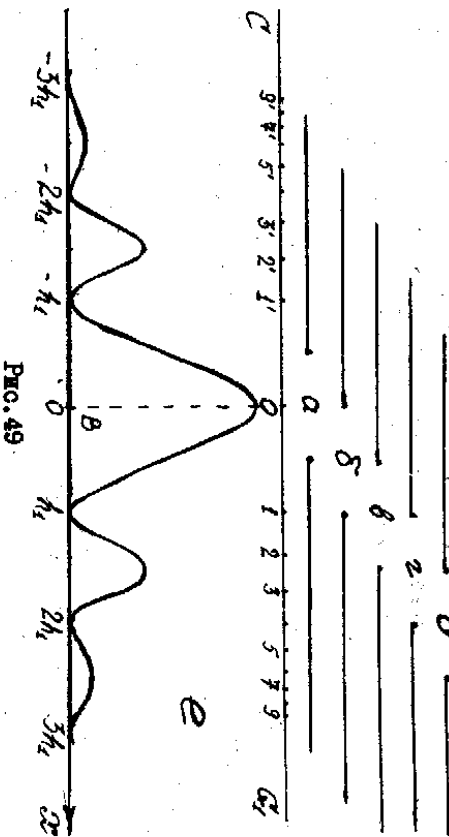


Рис. 49

Результирующий вектор колебаний для этой точки экрана (E_{δ}) соединяет на векторной диаграмме (рис. 48) начало и конец первой нерегистрируемой зоны Френеля.

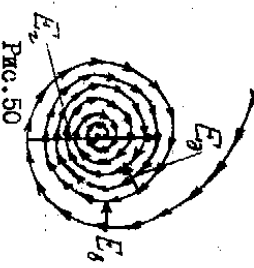


Рис. 50

Видно, что координате $x = \delta/2$ на экране будет соответствовать уменьшение амплитуды колебаний приблизительно в 2 раза (по сравнению с точкой $x = 0$) - см. рис. 49, в.

Для определения амплитуды колебаний в точке $x = \delta$ поме-

* Для удобства различные положения щели (а, б, в, г, д) разне-сены по вертикали.

ским щель в положении "б". Соответствующий вектор E_{δ} показан на векторной диаграмме рис. 50 (для удобства на рис. 50 перенесе-на правая часть рис. 48). Видно, что этой точке на экране необ-ходимо послать в соответствующие щели малую амплитуду колебаний.

Действуя аналогичным образом, получаем амплитуду колебаний в точках $x = 3\delta/2$ и $x = 2\delta$ (соответствующие положения щели "г" и "д" на рис. 49, а амплитуды - E_2 и E_4 на рис. 50).

На рис. 49, в показана зависимость амплитуды колебаний от координаты точки экрана по оси x.

Дифракционная картина от щели состоит из системы светлых и темных полос, параллельных щели. Положения минимумов в рассмат-риваемом нами частном случае, когда $h_1 = \delta$, соответствуют

$$x_{min} = m h_1 \quad (\text{где } m = 1, 2, 3, \dots). \quad \text{Условие наблюдения минимума интенсивности дифракционной картины можно записать несколько иначе, учитывая, что } h_1 = \sqrt{\lambda L}, \text{ и используя равенство } \sin \alpha \approx x/L:$$

В следующем параграфе будет показано, что соотношения (4.12) справедливы для щели любой ширины.

Очевидно, что при удалении экрана от щели (увеличение L) размеры зон Френеля будут увеличиваться (см. (4.9)) и щель бу-дет "вмещать" все меньше и меньше зон Френеля (а затем все мень-ше доль первой зоны Френеля). Качественно по же самое происхо-дит при уменьшении ширины щели и $L = \text{const}$. На рис. 51 описан-

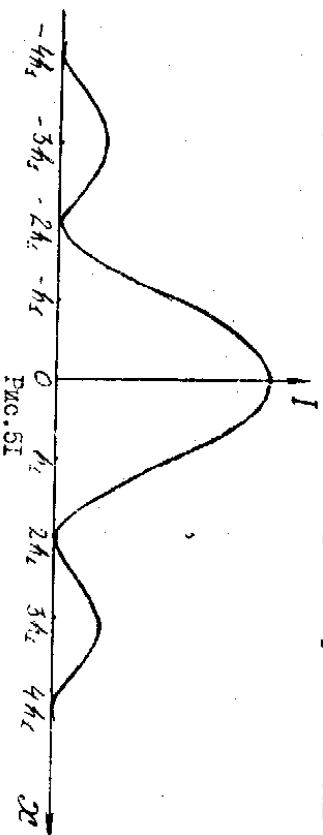


Рис. 51

ны выше методом построена дифракционная картина для более узкой щели ($L = h_1/2$). Видно, что при сужении щели в два раза дифрак-ционная картина во столько же раз расширяется по оси x; амплитуда колебаний, соответствующие максимумам интенсивности,

увеличивается в 2 раза, а интенсивности - в четыре.

Используя развитые представления, легко определить вид интерференционной картины от щели произвольной ширины, а также от полуплоскости.

§ 3. Дифракция Фраунгофера от щели

Термин "дифракция Фраунгофера" принято использовать, когда дифракционная картина наблюдается в параллельных лучах (например, экран находится очень далеко от препятствия, либо экран расположен в фокальной плоскости собирающей линзы).

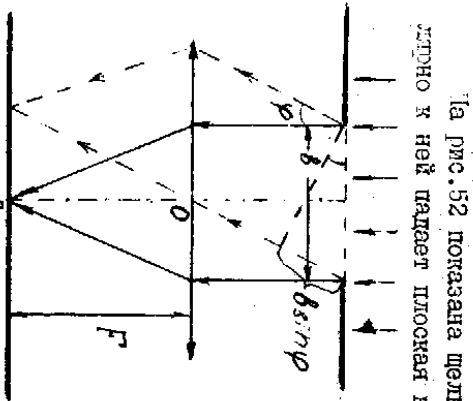


Рис. 52

На рис. 52 показана щель шириной b , на которую перпендикулярно к ней падает плоская волна, длина которой λ . Разобьем волновую поверхность, совпадающую с плоскостью щели, на много (n) полосок, параллельных краям щели. В соответствии с принципом Гюйгенса-Френеля, каждая такая полоска может рассматриваться как самостоятельный источник волн (в данном случае вторичные волны не сферические, как для точечного источника, а цилиндрические).

Рассмотрим семейство лучей, выходящих от всех вторичных источников в одном и том же направлении, составляющем угол φ с нормалью к плоскости щели и с падающим на щель пучком света. Поскольку все полоски имеют одинаковую площадь, интенсивность вторичных волн от каждой полоски одинакова. Как видно из рис. 52, разность хода между двумя, расположенными в данном направлении первой и последней (n -ой) полосками, равна $b \sin \varphi$. В центральной точке экрана в все n лучей придут в одной и той же фазе ($\varphi = 0$). Векторная диаграмма колебаний для этого случая (рис. 53) представляет собой последовательность одинаковых векторов, изображающих амплитуды колебаний (рис. 53) представляем собой последовательность одинаковых векторов, изображающих амплитуды колебаний в точке P от отдельных полосок; фаза всех векторов одинакова; общее количество векторов равно числу полосок. В сумме получается



Рис. 53

результирующий вектор, длину которого обозначим E_0 .

Будем постепенно удаляться от центра дифракционной картины, т.е. рассматривать лучи, идущие под все большими углами φ . Теперь между колебаниями от разных полосок на экране будет разность фаз, отличающаяся от нуля. На рис. 54, а показана векторная диаграмма для малого угла φ , когда разность фаз колебаний от первой и последней полосок (угол между первым и последним векторами - E_1 и E_n) равна приблизительно $\pi/4$. При выполнении условия $b \sin \varphi = \lambda/2$ разность фаз между колебаниями E_1 и E_n достигнет π (рис. 54, б). Амплитуда результирующего вектора E_0 при этом связана с E_0 очевидным соотношением $E_0 = 2E_0' = 0,64 E_0$ (интенсивности пропорциональны E^2 , поэтому $I_0 = 0,4 I_0'$). При дальнейшем увеличении угла будем последовательно получать векторные диаграммы, изображенные на рис. 55. Над каждой векторной диаграммой приведена величина разности хода между крайними лучами ($b \sin \varphi$), под каждой диаграммой -

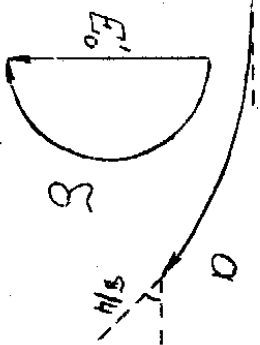


Рис. 54

длина результирующего вектора и интенсивности колебаний. Триггерское изображение зависимости интенсивности колебаний от синуса угла дифракции приведено на рис. 56.

$b \sin \varphi$	0	$\lambda/2b$	λ/b	$3\lambda/2b$	$2\lambda/b$	$5\lambda/2b$	$(m+1/2)\lambda/b$
класс	нулевой макс.	плечо нул. м.	первый мин.	первый макс.	второй мин.	второй макс.	m-ый макс.
вектор							
длина	E_0	$2E_0'$	E_0'	$2E_0'$	E_0'	$2E_0'$	E_0'
амплит.	E_0	$E_0 \frac{2E_0'}{E_0}$	0	$E_1 = \frac{2E_0'}{3,8}$	0	$E_2 = \frac{2E_0'}{5,8}$	$E_0 \frac{E_0'}{E_0}$
интенс.	$I_0 \sim E_0^2$	$I_0' = 0,4 I_0$	0	$0,045 I_0$	0	$0,015 I_0$	$(m+1/2)^2 I_0$

Рис. 55

Запишем условия максимумов и минимумов интерференционной картины от вторичных источников в случае дифракции от одной щели:

Максимумы: $\delta \sin \varphi = 0; \pm(m+1/2); m = 1, 2, \dots; \quad (4.13)$

Минимумы: $\delta \sin \varphi = \pm m\lambda; m = 1, 2, \dots; \quad (4.14)$

Отметим, что центральный максимум в два раза шире, чем все остальные; его амплитуда (по интенсивности) приблизительно в 25 раз больше, чем двух соседних. Поэтому почти вся энергия волн, проходящих через щель, сосредоточена в центральном максимуме.

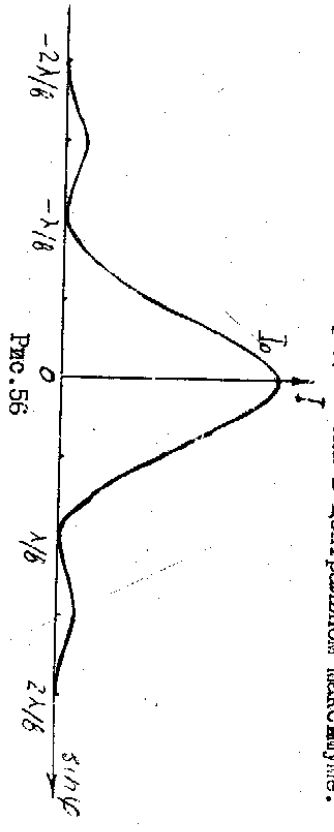


Рис. 56

В заключение этого параграфа подчеркнем два обстоятельства: 1) положения минимумов и максимумов (кроме центрального) зависят от длины волны, т.е. щель является просветленным спектральным аппаратом; 2) для наблюдения дифракции Фраунгофера использование длины совершенно необходимо лишь, чтобы экран находился достаточно далеко от щели (строгого колыцевого оптического условия наблюдения дифракции Фраунгофера обеспечивается в следующем параграфе).

§ 4. Классификация дифракционных явлений

При рассмотрении дифракции волн на различных препятствиях принято использовать исторически сложившуюся терминологию - называть "дифракцией Френеля" дифракционную картину, которая получается при измерении непосредственно лучей, и "дифракцией Фраунгофера" - дифракцию в параллельных лучах.

Насторожить приведенных выше формулировок очевидно; кроме того, совершенно не обсуждался пока вопрос о том, когда дифракционные явления существуют, и в каких условиях можно ограничиться классическими представлениями (в случае световых волн - представлениями геометрической оптики). Для того, чтобы выработать критерии, позволяющие точно разграничить области при-

меньности понятий "дифракция Френеля", "дифракция Фраунгофера", "геометрическая оптика", вернемся к задаче о прохождении плоской волны через длинную щель в бесконечно большой преграде - см. рис. 57, а.

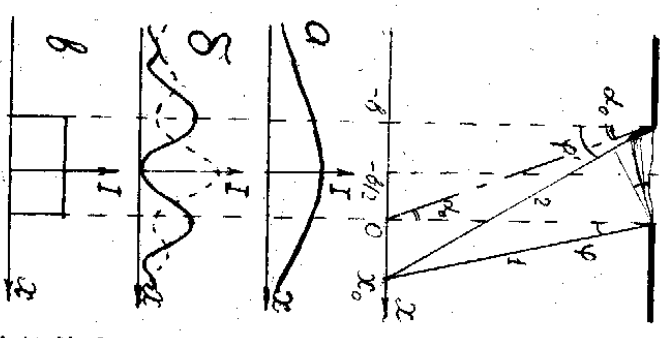


Рис. 57

Рассмотрим результат наложения волн от вторичных источников (как и ранее, вторичными источниками волн будем считать узкие подоски, "вырезанные" параллельно краям щели) в некоторой точке экрана, координата которой x_0 . Два крайних луча, идущие в эту точку от первого и n -ого вторичного источника, обозначим на рисунке пучками 1 и 2; углы дифракции для этих лучей - φ и φ' . Сохраняя принятое ранее обозначение, имеем:

$\delta \varphi = x_0 / r; \delta \varphi' = (x_0 + \delta) / r. \quad (4.15)$

Если речь идет о дифракции Фраунгофера, то лучи 1 и 2 должны быть почти параллельными, а это означает, что $\varphi = \varphi'$ и, следовательно,

$$x_0 \gg \delta \quad (4.16)$$

Считая, что наблюдаемая на экране дифракционная картина удовлетворяет неравенству (4.16), мы должны полагать, что ближайшая к центру картины особенность - первый минимум - во втором случае, не

получается соотношением (4.16). Поскольку для первого минимума $x_0 = x_0', \delta \sin \varphi = \lambda; \sin \varphi = \lambda / \delta \approx x_0' / \delta$, из (4.16) получаем:

$$\delta \gg \lambda \Rightarrow I. \quad \text{см. 289} \quad (4.17)$$

Выполнение условия (4.17) необходимо и достаточно для реализации дифракции Фраунгофера. Заметим, что из неравенства (4.16) следует:

$$\delta \sin \varphi \ll \delta \sin \varphi' = \lambda. \quad (4.18)$$

Соотношение (4.18) означает, что если смотреть на щель из точек, расположенных волнами пелюха экрана, то мы будем "видеть" значительно меньше одной зоны Френеля (разность хода между лучами 1 и 2 гораздо меньше длины волны). Это впрочем, полукачественный способ определения дифракции Фраунгофера.

Если интерферирующие лучи 1 и 2 не параллельны, то из (4.15)

автоматически получаем:

$$\lambda \approx \lambda \approx \delta$$

(4.19)

Очевидно, что при этом неравенство (4.17) преобразуется в приближительное равенство

$$\lambda \approx \lambda \approx \delta$$

(4.20)

которое и является условием наблюдения дифракции Френеля. Точно так же вместо (4.18) в случае дифракции Френеля нужно записать:

$$\delta \sin \alpha \approx \lambda$$

(4.21)

Последнее соотношение означает, что из центра экрана "видны" по-рядка одной (небольшое количество) зон Френеля.

Наконец, явление дифракции проявляется слабо, когда координата первого дифракционного минимума находится вблизи проекции на экран края щели, т.е. $\lambda \approx \delta$,

$$\delta \sin \alpha \approx \lambda$$

(4.22)

Из неравенства (4.22) получаем условие того, что можно пользоваться простыми представлениями геометрической оптики:

$$\lambda \approx \lambda \approx \delta \ll I$$

(4.23)

В этом случае из центра экрана видно много зон Френеля.

Качественный вид дифракционных картин для случаев дифракции Фраунгофера, Френеля и малой роли дифракции (геометрическая оптика) показан на рис. 57 (а, б, в - соответственно).

Несмотря на то, что в последнем из рассмотренных случаев дифракция относительно несущественна, полностью пренебречь ею нельзя - именно дифракционные эффекты ограничивают разрешающую способность оптической аппаратуры. Действительно, предположим, что источник волн, который мы хотим зарегистрировать с помощью какого-то оптического прибора (пленка или фотообъектива), находится достаточно далеко от нас (чтобы выполнялись условия (2.11) и источник можно было считать точечным). Если бы закон геометрической оптики выполнялся совершенно точно, то отверстие объектива просто ограничивало бы размеры "пучка" волн; направленные световые лучи не изменялись бы для наблюдателя на рис. 58. Показаны крайние лучи этого пучка - I и 2 (из-за того, что расстояние до источника волн много больше размера отверстия объектива, лучи I и 2 почти параллельны). После прохождения объектива все лучи пучка остаются параллельными, затем собираются линзой эти лучи фокусируются в одной точке фокальной плоскости 3 (угло-степенный элемент оптической аппаратуры, например, фотолинза, регистрирует в фотопленке изображение тени; сама же пленка может сле-

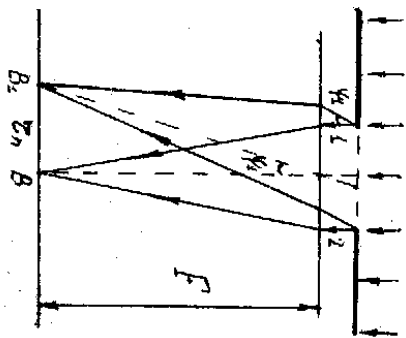


Рис. 58

шириной δ угол, под которым наблюдается первый минимум, равен $\sin \varphi_1 = 1,2 \lambda / \delta$, где δ - диаметр отверстия. В дальнейшем для простоты мы во всех случаях будем полагать, что крайние лучи пучка волн в результате дифракции на отверстии размером δ отклоняются на угол φ_1 :

$$\sin \varphi_1 \approx \lambda / \delta$$

(4.24)

Как видно из рис. 58, лучи, идущие под углом φ_1 к падающему пучку, сфокусируются на экране в точке V_1 - т.е. дифракция приводит к "расплыванию" изображения источника на экране. В рассматриваемом случае вместо точки на фотопленке будет пятно радиусом $r_1 = F \lambda / \delta$. Чем больше размер отверстия, тем ближе будет полученное изображение к точечному.

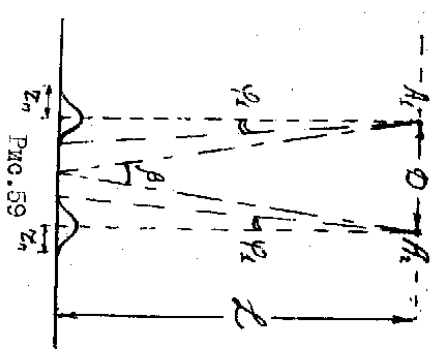


Рис. 59

Из сказанного выше очевидно, что дифракция будет ограничивать возможности простейшего устройства для данной оптической аппаратуры: два отдельных точечных источника волн могут быть разрешены только в том случае, когда угловое расстояние между ними β больше, чем угловой размер изображения от одного точечного источника (см. рис. 59)

$$\beta > \lambda / \delta > \lambda / \delta$$

(4.25)

Заметим, что неравенство (4.25) означает потерю когерентности волн,

распространяющихся от двух источников A_1 и A_2 (см. (3.26)):

$$\delta > \lambda d / D = \tau. \quad (4.26)$$

Если бы выполнялось неравенство, обратное (4.26), излучение от двух наших источников было бы когерентным, а значит, неотличимым от излучения одного точечного источника.

§ 5. Дифракция Фраунгофера от системы щелей

Рассмотрим дифракционную картину от нескольких (N) параллельных щелей шириной b , расположенных на одинаковом расстоянии друг от друга. Такую систему щелей будем называть дифракционной решеткой, расстояние d - периодом решетки (см. рис. 60). Пока будем считать, что падающий на решетку пучок света перпендикулярен плоскости решетки.

Поскольку мы рассматриваем дифракцию в параллельных лучах, после решетки поставим собирающую линзу. Все лучи, выходящие из решетки под одинаковым углом φ (угол φ , как и ранее, отсчитываем от направления нормали к решетке), будут сфокусированы линзой в одной и той же точке фокальной плоскости - рис. 60. Падающий на дифракционную решетку пучок света будем считать когерентным.

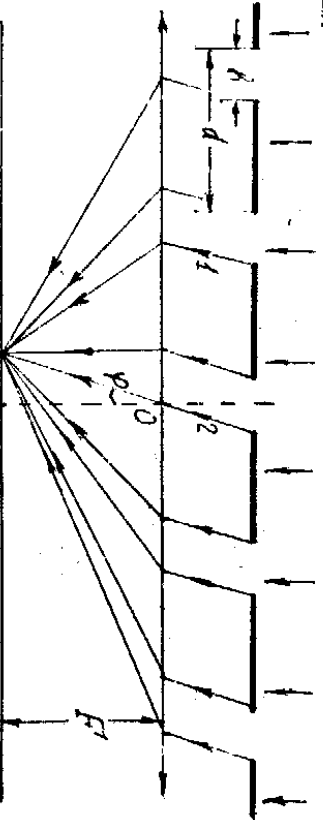


Рис. 60

Наша задача - определить положения максимумов и минимумов дифракционной картины, найти амплитуды и угловую яркость максимумов.

Наиболее просто определить положения главных минимумов дифракционной картины от решетки. Совершенно ясно, что там, где наблюдается минимум (нулевая интенсивность) от одной щели, будет наблюдаться минимум от каждой щели, а следовательно, и от

всей решетки (см. (4.14)):

$$\delta \sin \varphi = \pm m \lambda; \quad m = 1, 2, 3, \dots \quad (4.27)$$

Здесь по причинам, которые станут понятными несколько позже, вместо m используется обозначение m' .

Для того, чтобы найти интенсивность колебаний в произвольной точке экрана, необходимо проецировать сложение колебаний в данной точке, обусловленных каждой щелью.

Очевидно, что главные максимумы дифракционной картины от решетки будут наблюдаться под теми углами, для которых выполняются условия.

$$\delta \sin \varphi = \pm m \lambda; \quad m = 0, 1, 2, \dots \quad (4.28)$$

Число m принято называть порядком главного максимума. При выполнении условия (4.28) колебания, приходящие в соответствующую точку экрана от разных щелей, происходят в одной и той же фазе (разность хода между эквивалентными лучами, идущими от разных щелей, кратна λ - см. лучи 1 и 2 на рис. 60). Векторная диаграмма колебаний для этого случая показана на рис. 61, а. На этом рисунке E_1, E_2, \dots, E_N - амплитуды напряженностей электрического поля световых волн, пришедших в рассматриваемую точку экрана от первой, второй, ... N -й щели. Поскольку щель одинаковы, $E_1 = E_2 = E_3 = \dots = E_N$; каждая из этих величин для любого значения угла φ получается методом, изложенным в § 3 этого раздела. Из векторной диаграммы (рис. 61, а) следует, что амплитуда результирующего вектора

$$E_0 = N E_1 = N E_2 = \dots = N E_N.$$

Следовательно, интенсивность колебаний в тех местах экрана, в которых выполняется условие главных максимумов (4.28), в N^2 раз больше, чем в тех же местах, но от одной щели. Очевидно, что наибольшая интенсивность будет наблюдаться

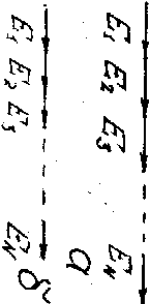


Рис. 61

они расположены от центра. Максимумов будет тем меньше, чем дальше

они расположены от центра. Так как полная энергия волны, пропускаемых решеткой, пропорциональна числу щелей, а интенсивность главных максимумов про-

проциональна N^2 , сразу ясно, что ширина главных максимумов должна быть пропорциональной l/N (несколько позже это будет строго доказано).

Между собой соседними главными максимумами разгруппируются дополнительные максимумы и минимумы. В качестве примера рассмотрим, как будет изменяться векторная диаграмма колебаний при постепенном увеличении угла φ от центрального ($m=0$) главного максимума к первому ($m=1$).

$m\varphi$	$1/2dN$	$1dN$	$3/2dN$	$2dN$	$5/2dN$
векторная диаграмма					
классифик.	плечо 1м	1-ый мин.	1-ый макс.	2-ой мин.	2-ой макс.

Рис. 62

Векторная диаграмма, показанная на рис. 62, а, соответствует величине угла φ , для которой разность фаз колебаний от первой и N -ой щелей равна π . При этом амплитуда колебаний уменьшается в $2/\pi$ раз, а интенсивность — в $2,5$ раза (см. стр. 71, рис. 55). Эта векторная диаграмма относится к плечу центрального ($m=0$) максимума. При постепенном увеличении угла φ (удлинии от нулевого максимума) векторная диаграмма колебаний для соответствующей точки экрана будет последовательно принимать вид, показанный на рис. 62 (б-д), в зависимости от значений $m\varphi$. Необходимо иметь в виду, что каждая **Щель** \textcircled{D} состоит из **однонаправленных** векторов, длина которых определяется напряженностью дифракционного поля световой волны в данной точке экрана от одной щели.

Векторные диаграммы рис. 62, б, г соответствуют первому и второму побочным максимумам. Первый побочный минимум ограничивает ширину главного максимума; из рис. 62, б следует, что ширина главного максимума пропорциональна l/N . Общее соотношение, описывающее положение всех побочных минимумов, можно записать так:

$$d \sin \varphi = \pm m \lambda; m_1 = 1, 2, \dots, N-1. \quad (4.29)$$

Обратим внимание, что максимально возможное число $m_1 = N-1$.

(между собой двумя главными максимумами расположено $N-1$ дополнительных минимумов). Для иллюстрации на рис. 63 продемонстрирована дифракционная картина от решетки, состоящей из пяти одинаковых щелей шириной b , период решетки $l = 2b$. Для этой решетки между главными максимумами находится четыре дополнительных минимума.

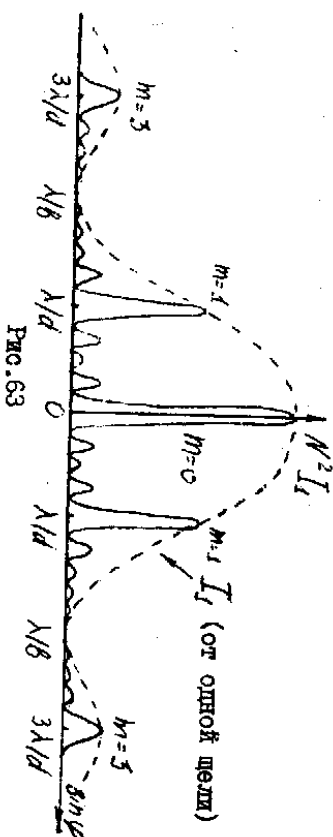


Рис. 63

Векторные диаграммы, показанные на рис. 62, в, д, соответствуют l у дополнительным максимумам. Общее условие наблюдения дополнительных максимумов:

$$d \sin \varphi = \pm m \lambda + \left(m' + \frac{1}{2}\right) \lambda/N; m_2 = 1, 2, \dots, N-2. \quad (4.30)$$

Подчеркнем, что максимальное значение числа m_2 равно $N-2$ (между соседними главными максимумами имеется $N-2$ дополнительных максимумов). Для дифракционной решетки, состоящей из пяти щелей, число дополнительных максимумов между двумя главными равно трем — см. рис. 63. Из векторных диаграмм, показанных на рис. 62, в, д, видно, что амплитуда побочных максимумов быстро уменьшается по мере удаления от главных максимумов.

Интенсивность любого дополнительного максимума легко найти точно таким же образом, как мы определяли ранее интенсивности максимумов дифракционной картины от одной щели — сравните рис. 55 и 62. Для того, чтобы получить амплитуды колебаний и интенсивности для дополнительных максимумов, можно воспользоваться соотношениями, приведенными в нижней части рис. 55, но вместо E_0 подставить величину $N E_1$, где E_1 — амплитуда колебаний от одной щели при соответствующем значении $m\varphi$.

В заключение этого параграфа сделаем несколько замечаний.

1. Практически вся энергия волн, проходящих через решетку, сосредоточена в области центрального максимума от одной щели —

(5.1) Ламбертом было сделано простейшее и вкратце естественное допущение о том, что относительное изменение интенсивности волны на участке dX не зависит от интенсивности и пропорционально длине этого участка:

$$dI/I = -\chi dX. \quad (5.2)$$

Легко увидеться, что (5.1) — следствие соотношения (5.2). Постоянная χ в (5.1), (5.2) называется показателем поглощения, величина χ зависит от длины волны и эта зависимость называется спектром поглощения вещества.

Если свет поглощается атомами или молекулами некоторого "активного" вещества в растворе, причем сам растворитель не поглощает в исследуемой спектральной области, то достаточно часто покажется подложки в (5.1) оказывается пропорциональным коэффициенту "активного" вещества $\chi = \epsilon_0 C$ (здесь C — концентрация, ϵ_0 — коэффициент, не зависящий от концентрации). Последнее утверждение по существу означает, что поглощаемая способность молекул "активного" вещества не зависит от присутствия рядом других молекул и называется законом Бера. Комбинация (5.1) с законом Бера обычно носит название закона Бутера-Ламберта-Бера. Независимое этого закона позволяет в ряде случаев оперативно измерять концентрацию исследуемого вещества в растворе путем измерения поглощения в определенной области.

Если вещество, через которое проходит поперечная волна, анизотропно, то показатель поглощения в соотношении (5.1) зависит от того, как в этой волне ориентированы возмущения (в случае электромагнитной волны — какова "плоскость колебаний", т.е. в какой плоскости колеблется вектор напряженности электрического поля). Вещества, обладающие такой анизотропией, называются поляризуемыми. В частности, таким свойством обладают природные и синтетические кристаллы турмалина — электрооптика, содержащего бор. Однако значительно более широкое применение в оптике в качестве поляризующих сред нашли органические пленки полимеров, длинные молекулы которых ориентированы преимущественно в одном направлении (это достигается специальными технологическими приемами — например, растяжением пленки в процессе ее формирования). Полиэтиленовые пленки (т.н. "поляризы"), изготовленные на основе поливинилового спирта или поливинилена, при типичной толщине в доли миллиметра пропускают только световые волны, плоскость колебаний

которой перпендикулярна полимерным цепям (эта плоскость называется главной плоскостью поляризации). Идеальным поляризатором принято называть устройство, которое пропускает 100% энергии световых волн, если плоскость колебаний вектора \vec{E} параллельна главной плоскости поляризации, и совсем не пропускает те волны, в которых плоскость колебаний \vec{E} перпендикулярна главной плоскости поляризации. Если на идеальный поляризатор падает световая волна с плоскостью колебаний, составляющей угол φ с главной плоскостью поляризации (рис.69), то через поляризатор пройдет только та волна, в которой вектор \vec{E} лежит в главной плоскости поляризации $P-P'$. Амплитуда колебаний вектора \vec{E} в этой волне равна $E_p = E_0 \cos^2 \varphi$. Отсюда следует, что интенсивность прошедшего через поляризатор света связана с интенсивностью падающего света I_0 простым соотношением, которое носит название закона Малюса:

$$I = I_0 \cos^2 \varphi. \quad (5.3)$$

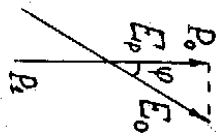


Рис. 69

После прохождения идеального поляризатора световая волна становится плоско- (или линейно-) поляризованной. Для реальных поляризаторов коэффициенты пропускания (отношения интенсивностей прошедшего через поляризатор и падающего на него света) волны с $\vec{E} \parallel P$ и $\vec{E} \perp P$ отличаются от единицы и нуля, соответственно ($\epsilon_1 < 1, \epsilon_2 > 0$), хотя для хорошего поляризатора волна с $\vec{E} \perp P$ почти полностью поглощается (имеется преимущественное направление ориентации вектора \vec{E} , хотя присутствует также волна с $\vec{E} \parallel P$). Такой свет принято количественно характеризовать угловым поляризатором P :

$$P = (I_{max} - I_{min}) / (I_{max} + I_{min}). \quad (5.4)$$

В соотношении (5.4) I_{max} и I_{min} — максимальная и минимальная интенсивности света, которые регистрировались бы чувствительным прибором Z (см. рис.70) при вращении главной плоскости идеального поляризатора $П$, через который пропускается луч I падающего на реального поляризатора $П$ частично плоскополяризованного света. После идеального поляризатора луч света 2 плоскополяризован, интенсивность луча 2 зависит от ориентации главной плоскости $П$ относительно плоскости колебаний луча 1.

Если луч I является плоскополяризованным (не частотно, а по направлению), то для такого луча значения его по схеме рис. 70 для $\theta = I_{min} = 0$ и, следовательно, степеней поляризации луча $P = I$ (см. формулу (5.4)).

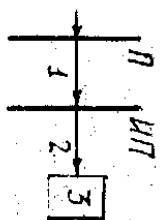


Рис. 70

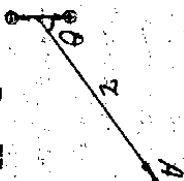


Рис. 71

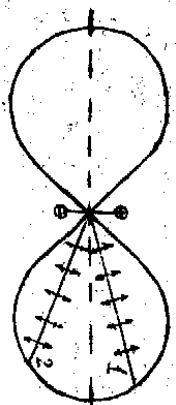


Рис. 72.

§ 2. Подполяризация света при отражении и рассеянии

Отраженная и рассеянная волны - результат излучения атомов и молекул той среды, от которой происходит отражение или рассеяние. Научаясь элементом возбужденной падающей волны среды двигаться колебавшись с частотой возбуждающей силы диполь - в первом приближении таким диполем можно считать систему электрон + атомный ядро (наиболее подробно в таком диполе электрон). Поэтому для понимания основных особенностей подполяризации волны при их отражении и рассеянии рассмотрим сначала некоторые закономерности излучения диполя.

1. Излучение диполя

Излучающий относительно неподвижно заряженный атомный ядро электрона можно рассматривать как элемент тока. Согласно закону Био-Савара-Лапласа, магнитное поле такого элемента тока равно:

$$d\vec{B} = (\mu_0/4\pi) i [d\vec{r} \times \vec{r}] / r^3. \quad (5.5)$$

Здесь $d\vec{r}$ - длина элемента тока, \vec{r} - радиус-вектор, проведенный от элемента тока до точки, в которой определяется величина магнитного поля (A) - см. рис. 71.

Для нашего качественного анализа достаточно, что создаваемое диполем в некоторой точке магнитное поле пропорционально величине тока и обратно пропорционально квадрату расстояния от элемента электрона относительно положения равновесия через \vec{r} и учитываем, что ток пропорционален скорости заряда \vec{v} , имеем:

$$dB \sim \vec{v} \sin \theta. \quad (5.6)$$

Поскольку при колебательном движении скорость электрона за-

висит от времени, излучение магнитного поля в рассматриваемой точке также изменится со временем. Из закона электромагнитной индукции (см. (2.46)) следует, что измененное магнитное поле вызовет появление электрического поля, причем направленность этого "индуцированного" поля пропорциональна скорости изменения магнитного поля:

$$E \sim dB/dt \sim \vec{v} \sin \theta. \quad (5.7)$$

Очевидно, что измененное электрическое поле приведет, в соответствии с соотношением (2.47), к возникновению магнитного поля и т.д. Таким образом, колеблющийся диполь будет источником электромагнитных волн, интенсивность которых в данной точке пространства пропорциональна квадрату направленности электрического поля (5.7):

$$I \sim E^2 \sim (\vec{v})^2 \sin^2 \theta \sim \omega^4 \sin^2 \theta. \quad (5.8)$$

В соответствии (5.8) видно, что ускорение колеблющегося по гармоническому закону электрона пропорционально квадрату частоты (см. (1.49)).

На рис. 72 изображена диаграмма направленности излучения диполя в плоскости рисунка (интенсивность волн, испускаемых в произвольном направлении, пропорциональна $\sin^2 \theta$). Треугольная диаграмма направленности излучения диполя может быть получена вращением рис. 72 относительно оси диполя - она имеет вид деформированного тороида. Таким образом, диполь вообще не излучает в направлении своей оси, максимальная интенсивность регистрируется для волн, испускаемых по нормали к оси диполя.

Из приведенных рассуждений следует, что вектор индукции магнитного поля распространяющийся от диполя волны в плоскости рис. 71 (в точке A) направлен перпендикулярно чертежу - см. соотношение (5.5). Так как в электромагнитной волне вектор \vec{E} всегда перпендикулярен вектору \vec{B} , мы приходим к выводу: излучение диполя является плоскополяризованным, причем плоскость колебаний индуцируемых диполем волн совпадает с плоскостью, в которой лежит ось диполя и направление распространения излучаемых им волн. Можно сказать, что в испускаемой диполем электромагнитной волне вектор направленности электрического поля колеблется в той же плоскости, что и электрические заряды самого диполя (см., например, лучи 1 и 2 на рис. 72).

3. Polarization of light by reflection

При отражении света под углом θ от поверхности раздела двух сред возникает явление поляризации света. Если падающий свет является естественным, то отраженный свет становится частично поляризованным. Показатель степени поляризации зависит от угла падения θ и коэффициентов отражения для параллельных и перпендикулярных компонент. Максимум поляризации достигается при угле Брюстера θ_B , который удовлетворяет условию $\tan \theta_B = n_2/n_1$, где n_1 и n_2 — показатели преломления двух сред. При этом отраженный свет становится полностью поляризованным, а отраженный свет — частично поляризованным.

Несомненно, однако, имеет в виду, что интенсивность рассеянного света определяется интенсивностью падающего света, коэффициентом отражения и углом падения. Поэтому явление рассеяния света можно наблюдать не всегда. Как будет показано несколько ниже, рассеяние света происходит только в неоднородных средах.

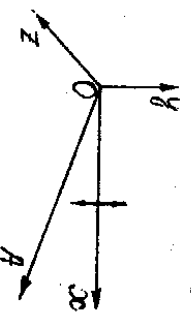


Рис. 73.

Прежде всего следует отметить неоднородность рассеянного света. Предположим, что лучи параллельных лучей естественного света распространяются в рассеивающей среде по оси Ox — см. рис. 73. Будем регистрировать вторичные волны, распространяющиеся перпендикулярно к направлению распространения исходного луча (например, по оси Oz или Oy). Очевидно, вторичные волны, распространяющиеся по этим осям, содержат элементарные излучатели, заряды которых колеблются в плоскости Oxz (из-за поперечности электромагнитных волн). Следовательно, свет, рассеянный под углом θ к исходному лучу, содержит плоскостепенные волны (вектор напряженности электрического поля рассеянной волны колеблется в плоскости Oxz). Поскольку лучи естественного света содержат лучи, поляризованные в различных плоскостях, в рассеивающей среде будут возбуждаться вторичные излучатели, ориентированные в плоскости Oxz по разным направлениям. Поэтому интенсивность рассеянного по нормали к исходному лучу света не будет зависеть от ориентации этой нормали в пространстве (будет одинакова для осей Oy и Oz).

Если первичный луч света плоскополяризован, то элементарные излучатели вторичных волн ориентированы строго одинаково (по направлению E в исходном луче) и, следовательно, излучение вторичных волн происходит несимметрично относительно направления Ox . Например, если плоскость колебаний исходного луча — Oxz , то по оси Oy не идет вторичный элементарный излучатель вообще не излучает элементарных волн, тогда как интенсивность излучения по оси Oz максимальна (см. рис. 72).

Вторичные волны, распространяющиеся в произвольном направлении (например, по оси Ox на рис. 73), частично плоскополяризованы, если исходный световой луч не имеет предельно естественной плоскости поляризации, и, конечно, полностью плоскополяризованы, если плоскополяризованными являются падающие на вещество лучи света.

Обсудим теперь зависимость интенсивности рассеянного света от частоты ω (или длины волны λ).

Если среда, в которой распространяется свет, однородна, и расстояние между соседними элементарными излучателями (атомами или молекулами) много меньше длины волны света, то каждому элементарному излучателю (например, 1 на рис. 74) будет соответствовать другая такой же излучатель 2, отличающийся от первого только тем, что расположен ближе к наблюдателю на расстоянии $\lambda/2$. Вторичные волны, приходящие от этих двух излучателей к наблюдателю, сдвинуты по фазе на π , поэтому взаимно компенсируются (в этом случае говорят о "деструктивной интерференции"). Поэтому в результате интерференции волн от всех вторичных источников (т.е. от большого числа пар элементарных источников) получается рассеянная волна, интенсивность которой близка к нулю.

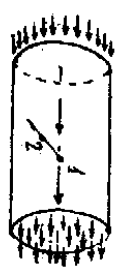


Рис. 74

Если же вещество, через которое проходит луч света, неоднородно, различные элементарные рассеиватели не идентичны и в результате интерференции вторичных волн возникает рассеянная волна конечной интенсивности.

В частности, если рассеивающая среда состоит из мелких частиц, размеры которых d много меньше длины световой волны $d \ll \lambda$, и расстояние между частицами $d \gg \lambda$, то каждая такая частица из-за малого размера излучает вторичные волны почти так же, как элементарный дипольный излучатель. С другой стороны, из-за боль-

шого ординато расстояния между частицами деформируемая инверсия-рентия вторичных волн отсутствует. В этом случае зависимость интенсивности рассеянного света от частоты ω или длины волны определяется законом зависимости (5.8):

$$I_{\text{рас}} \sim \omega^4 \sim \lambda^{-4} \quad (5.9)$$

Зависимость (5.9) называется законом Рэлея, а соответствующее рассеяние - рэлеевским. Имеется два характерных типа сред, в которых наблюдается рэлеевское рассеяние. Во-первых, это так называемые мутные среды: дым (частицы твердого вещества в газе), туманы (мелкие капельки жидкости в газе), суспензии и взвеси (частицы твердого вещества в жидкости), эмульсии (капельки одной жидкости в другой). Во-вторых, неоднородность среды (жидкости или газа) может возникнуть из-за случайных флуктуаций плотности вещества в результате хаотического теплового движения атомов или молекул. Рассеяние в средах второго типа принято называть молекулярным. Именно молекулярным рассеянием объясняется голубой цвет неба и красный цвет зорь.

П р и м е р ы

1. Соотношение (5.9) очень хорошо описывает законмерности рассеяния, если размер рассеивающих частиц меньше $1/15$ длины световой волны. С увеличением размеров частиц зависимость интенсивности рассеянного света от длины волны становится все более гладкой. Физическая причина этого понятия - с ростом D все более заметную роль играет деформируемая инверсия, причем прежде всего она начинает проявляться в рассеянии коротких волн. При рассеянии света на больших частицах ($D \sim \lambda$) интенсивность рассеянного света очень слабо зависит от длины волны. Именно поэтому облака имеют белый цвет (на фоне голубого неба, где рассеяние рэлеевское).

Рассеяние света на частицах, размер которых $D \gg \lambda$, теоретически рассмотрено Г.А. Ми, поэтому рассеяние на больших частицах иногда называют рассеянием Ми.

2. В тех случаях, когда рассеяние света играет существенную роль, интенсивность "первичного" пучка света убывает, поскольку энергия волн "уходит" в стороны. Этот эффект отличается от обычного поглощения, и его учитывают введением в соотношение (5.1) поправительного множителя:

$$I = I_0 \exp(-\alpha - \alpha')x \quad (5.10)$$

Постоянная α' , описывающая изменение интенсивности пучка света из-за рассеяния, называется коэффициентом экстинкции (от латинского *extinctio* - гашение).

3. При рассеянии света молекулами, наряду с обычным рассеянием без изменения частоты (такое рассеяние называется упругим) в пучке рассеянного света присутствуют волны, частота которых несколько смещена относительно частоты падающего света ω . Это смещение частоты обусловлено молекулярной амплитудой рассеянной волны за счет колебательного движения атомов в молекуле. Такое рассеяние называется неупругим (комбинационным). Несмотря на весьма небольшую интенсивность неупруго рассеянного света (десятиле и сотые доли процента от интенсивности рассеянного света с частотой ω), метод комбинационного рассеяния широко применяется в химии для изучения строения молекул и их взаимодействия с окружающей средой. Существовало, что спектры комбинационного рассеяния и поглощения света взаимно дополняют друг друга, поскольку в поглощении и комбинационном рассеянии проявляются различные колебательные движения молекул.

3. Поглощение света при отражении

Пусть параллельный пучок световых волн падает на плоскую границу двух диэлектриков, показатели преломления которых n_1 и n_2 см. рис. 75. Оба диэлектрических материала будем считать однородными, так что рассеяние света в объеме диэлектриков отсутствует. Однако граница раздела двух сред - неоднородность: излучение элементарных диполей второй среды, расположенных вблизи поверхности, раздела обуславливает возникновение отраженной волны II. Напомним, что, в соответствии с законами геометрической оптики, отраженный

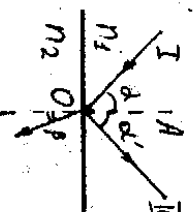


Рис. 75

луч II лежит в плоскости падения (т.е. в плоскости, проходящей через падающий луч I и нормаль к границе раздела диэлектриков ON_1); угол падения α равен углу отражения α' .

плоскости падения и перпендикулярны соответствующим лучам — см. рис. 76, а. Поскольку отраженный от границы раздела диэлектриков

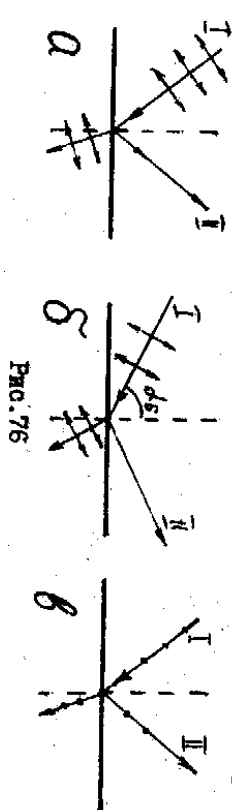


Рис. 76

волна II есть результат интерференции волн, излучаемых элементарными излучателями второй среды (вспомни ее поверхность), совершено но ясно, что при изменении угла падения α меняется также угол преломления и, соответственно, ориентация диполей второго диэлектрика относительно направления отраженного луча II.

В частности, при некотором значении угла падения $\alpha = \alpha_c$ элементарные излучатели второго диэлектрика будут направлены точно вдоль луча II, как видно на рис. 76, б, при этом излучение вторичных волн по направлению луча II невозможно (ор. с диаграммой направления излучения излучателя — рис. 72). Отсюда следует, что световая волна, плоскость колебаний которой совпадает с плоскостью падения и угол падения которой на границу раздела двух диэлектриков равен углу $\alpha = \alpha_c$, вообще не отражается этой границей (интенсивность отраженного луча равна нулю, имеется только преломленный луч III).

Величину угла α_c легко найти, используя закон преломления

$$\sin \alpha / \sin \beta = n_2 / n_1 \quad (5.11)$$

учитывая, что $\alpha_c + \beta_c = \pi/2$ (см. рис. 76, б), имеем $\sin \beta_c = \sin(\pi/2 - \alpha_c) = \cos \alpha_c$ и из (5.11) получаем:

$$\tan \alpha_c = n_2 / n_1 \quad (5.12)$$

Этот угол принято называть "углом Брюстера".

Если плоскость колебаний падающего луча I перпендикулярна плоскости падения (рис. 76, в), то, независимо от величины угла падения α , элементарные излучатели диэлектрика с показателем преломления n_2 , перпендикулярны плоскости падения и отраженному лучу II. Следовательно, интенсивность отраженного луча II для таких волн при любых α отлична от нуля.

Если на границу раздела диэлектриков падает луч естественно-

го свете, причем угол падения равен углу Брюстера, то в отраженном луче будут присутствовать только волны, плоскость колебаний которых перпендикулярна плоскости падения (т.е. отраженный луч II плоскополяризован). Соответственно, преломленный луч будет частично плоскополяризован (обогатен волнами, плоскость колебаний которых совпадает с плоскостью падения). При произвольной величине угла падения луча естественного света оба луча — и отраженный, и преломленный — частично плоскополяризованы (в отраженном луче всегда больше волн, плоскость колебаний которых перпендикулярна плоскости падения, в преломленном луче этих волн, соответственно, меньше).

П р и м е ч а н и я

1. Окна Брюстера в лазерах. В газовых лазерах активное вещество (аргон, смесь гелия и неона, дугосио углерода — в зависимости от типа лазера) помещается в стеклянную трубку с плоскопараллельными торцевыми окнами. Трубка находится между зеркалами, так что выходящий из лазера луч света многократно (~100 раз) проходит через окна трубки с активным веществом. Если окна сделать перпендикулярными к проходящему лучу света (см. рис. 77, а), то при каждом прохождении окна будет теряться на отражение ~8% интенсивности падающего луча, а после 100 прохождений исходный лучок ослабится приблизительно в 3000 раз, что совершенно непригодно для нормального функционирования лазера.

Выход из этой, на первый взгляд, тупиковой ситуации состоит в использовании окон, наклоненных по отношению к лучу падающего света на угол Брюстера (см. рис. 77, б). В результате много-

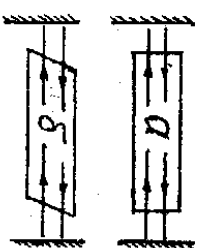


Рис. 77

кратного прохождения через трубку с такими окнами волны, плоскость колебаний которых параллельна поверхности окон, практически полностью потеряются из-за отражений, тогда как волны, поляризованные в перпендикулярной плоскости, пройдут через оптический элемент сколько угодно раз без потерь на отражение. В итоге интенсивность исходного луча света уменьшится не в ~3000 раз, а всего в 2 раза, что вполне приемлемо. Именно из-за такого устройства оптической системы луч света, выходящий из газового лазера, полностью плоскополяризован.

2. 0 6 о т р а ж е н и и о т п о в е р х н о с т и п р о в о д н и к а. При отражении света от поверхности проводящего вещества (металла, полупроводника) из-за сильного поглощения в приповерхностном слое этого вещества состояние поляризации отраженного луча изменяется иначе, нежели при отражении от поверхности диэлектрика. В частности, ни при каком значении угла падения естественного света отраженный луч не будет полностью плоскополяризованным (нет угла Брюстера). Если луч падающего на поверхность проводника света плоскополяризован, то отраженный луч в общем случае оказывается поляризованным эллиптически (подробно об эллиптической поляризации см. ниже - § 4). Характер эллиптической поляризации отраженного луча чрезвычайно чувствителен к состоянию отражающей поверхности - присутствию на ней тонких диэлектрических пленок или даже отдельных молекул (до десятых и сотых долей монослоя). Поэтому изучение состояния эллиптической поляризации отраженного от поверхности проводников света (т.н. "эллипсометрия") достаточно широко используется для измерения параметров (толщины, показателя преломления) тонких диэлектрических (в частности, окисных) пленок, нанесенных на поверхность металлов или полупроводников и для исследования адсорбционных процессов или химических реакций, происходящих на этих поверхностях.

§ 3. Поляризация света под двойным лучепределением

Навление двойного лучепределения состоит в разном направлении света луча при прохождении через анизотропное вещество (кристалл, анизотропный полимер и т.п.).

В качестве примера рассмотрим прохождение светового луча через кристалл, расположенные атомы в решетке которого показано на

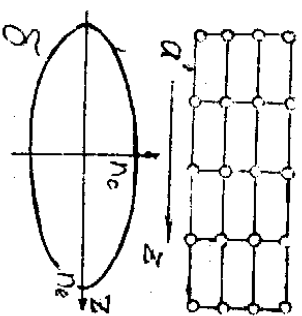


Рис. 78

рис. 78. В этом кристалле среднее расстояние между атомами вдоль одной оси (Z на рисунке) больше, чем в перпендикулярных направлениях. Очевидно, что поляризация этого диэлектрического кристалла под действием электрического поля будет происходить по разным направлениям неодинаково. В частности, если смещение электронных оболочек атомов при приложении электрического поля вдоль оси Z больше, чем в поперечном направлении, то диэлектрическая

проницаемость ϵ и показатель преломления по оси Z ($n_z = \sqrt{\epsilon}$) так же некоммунальны ($n_z \neq n_x$) - см. рис. 78, б. Будем считать, что оvoidная кристалла в любом перпендикулярном к оси Z направлении одинаковы (в этом случае кристалл называется одноосным); соответствует-зутьше значения ϵ_0 и n_0 минимальны. В произвольных направлениях смещения электронных оболочек атомов есть результирует смещения вдоль оси Z и перпендикулярно этой оси и, следовательно, показатель преломления принимает какое промежуточное между n_x и n_z значение. Можно показать, что в простейшем случае зависимость показателя преломления от направления электрического поля изображается эллипсисом вращения, вытянутым или сплюснутым (в зависимости от типа кристалла) вдоль оптической оси Z - см. рис. 79. Кристаллы, для которых $n_x > n_z$, называются положительными (рис. 79, а), $n_x < n_z$ отрицательными (рис. 79, б). Необходимо подчеркнуть, что на рис. 78, б и рис. 79 представляются зависимости показателя преломления от направления электрического поля (не от направления светового луча!).

Перейдем теперь к рассмотрению особенностей прохождения световых волн через одноосный кристалл (например, положительный). Сначала предположим, что световая волна, распространяющаяся по направлению OY , плоскополяризована (плоскость колебаний - HOY). Взе-

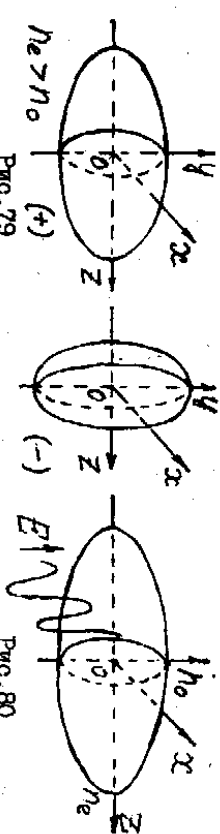


Рис. 79

Рис. 80

дем определение главной оптической оси - ось OZ , как плоскости, в которой лежат две прямые - оптические ось кристалла и луч света (если, как на рис. 80, оптическая ось кристалла OZ , а луч распространяется по оси OY , то главная оптическая плоскость - YOZ). Поэтому можно сказать, что плоскость колебаний расщепляемой волны перпендикулярна главной оптической плоскости. Для такой волны показатель преломления равен n_0 , а скорость распространения - c/n_0 . Из рис. 80 видно, что величина показателя преломления и скорости распространения будут таковы же для любого светового луча, плоскость колебаний которого перпендикулярна главной оптической плоскости кристалла. Такой луч

будет распространяться по любому направлению с одной и той же скоростью, равной V_0 , и, поскольку это обычное поведение светового луча, к которому мы привыкли, когда имели дело с однородными и изотропными средами, такой луч принято называть *обыкновенным*. Таким образом, обыкновенный луч - это световой луч, плоскость колебаний которого перпендикулярна главной оптической плоскости одноосного кристалла.

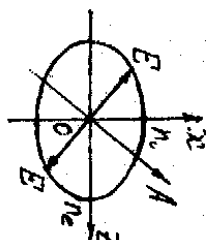


Рис. 81

Н е о б ы к н о в е н н ы м принято называть любой луч света, плоскость колебаний которого параллельна главной оптической плоскости. Почему он так называется, видно на рис. 81, на котором показано сечение рис. 80 плоскостью XOZ . Проходящий через кристалл луч света OA лежит в плоскости чертежа, как и оптическая ось OZ , поэтому главная оптическая плоскость кристалла в данном случае совпадает с плоскостью чертежа (XOZ). Будем считать, что вектор E луча OA также колеблется в плоскости XOZ . Изменяя медленно направление луча OA , приходим к выводу, что показатель преломления (n), следовательно, скорость распространения (такого луча зависит от направления распространения. В частности, если волна распространяется вдоль оптической оси OZ , показатель преломления минимален и равен n_0 , а скорость максимальна - c/n_0 ; если направление луча - ось OX , то показатель преломления максимален и равен n_e , а скорость распространения минимальна ($V_e = c/n_e$). Для произвольного направления луча OA величины n и $V = c/n$ принимаем промежуточные между n_0 , n_e и V_0 значения.

При произвольной ориентации плоскости колебаний светового луча в главной оптической плоскости в кристалле будут возбуждаться колебания электронных оболочек атомов как в главной оптической плоскости, так и перпендикулярно к ней. Поскольку соответствующие возмущения распространяются с разными скоростями, в кристалле автоматически произойдет разделение луча света на два - обыкновенный и необыкновенный; эти лучи плоскополяризованы во взаимно перпендикулярных плоскостях. То же самое произойдет, если на кристалл направить луч естественного света - совокупность волн, поляризованных в различных плоскостях; каждая такая волна в результате прохождения через кристалл разделится на две: поляризованную в главной оптической плоскости и перпендикулярно ей.

Вот так легко одно направление, распространяться по которому, луч света ведет себя точно также, как в однородном и изотропном диэлектрике - вдоль оптической оси. В этом случае невозможно выделить единственную главную оптическую плоскость, нет разделения луча на обыкновенный и необыкновенный (можно сказать, что луч является обыкновенным).

Если представить гипотетически, что в объеме одноосного кристалла находится точечный источник естественного света, то в результате разделения волн на обыкновенные и необыкновенные (распространяющиеся с разной скоростью) картина волновых поверхностей будет более сложной, чем для изотропного вещества. Волновые поверхности для обыкновенных волн будут иметь привычную сферическую форму, тогда как волновые поверхности необыкновенных волн - эллипсоиды вращения, ось которых совпадает с оптической осью кристалла. Общий вид волновых поверхностей обыкновенных и необыкновенных волн показан на рис. 82 (а - положительный кристалл, б - отрицательный кристалл). Можно утверждать также, что на рис. 82 показаны зависимости скорости распространения обыкновенного и необыкновенного лучей от направления распространения волн.

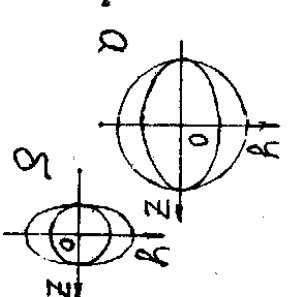


Рис. 82

Зная вид этих зависимостей, легко с помощью построения Гюйгенса найти ход обыкновенного и необыкновенного лучей в кристалле. В качестве примера определим направления распространения лучей в положительном кристалле, на поверхность которого по нормали к ней падает параллельный пучок естественного света - см. рис. 83. Будем предполагать, что оптическая ось кристалла наклонена по отношению к нормали на некоторый угол β . Преломленные волны есть результирующие волны от элементарных излучателей, расположенных на поверхности кристалла. Поскольку все эти излучатели начинают возмущаться падающей волной в один и тот же момент времени (фронт падающей волны совпадает с поверхностью кристалла), волновые поверхности для элементарных излучателей - абсолютно идентичные сферы (обыкновенные волны) или эллипсоиды вращения (необыкновенные волны).

Результирующие волновые поверхности для обыкновенного и необыкновенного лучей получаем, проводя касательные к волновым поверхностям элементарных излучателей - это плоскости, параллельные

поверхности кристалла. Необходимо, однако, иметь в виду, что направление луча - это направление распространения энергии; найти его можно, соединяя элементарный излучатель (например, O на рис. 83)

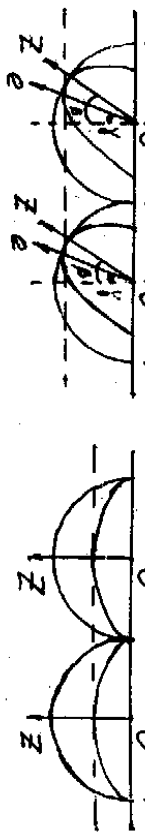


Рис. 83

Рис. 84

с точкой касания волновой поверхности с этого излучателя. Для обыкновенного луча получаем тригонометрический результат - этот луч, в полном соответствии с обычным законом преломления, распространяется по нормали к поверхности кристалла. Необыкновенный же луч, вопреки классическому закону преломления, отклоняется от нормали на угол δ . Таким образом, обыкновенный и необыкновенный лучи в разном направлении распространяются одновременно - из кристалла выйдут два луча, polarизованные во взаимно перпендикулярных плоскостях.

Построением легко показать, что при произвольной величине угла падения на двоякопреломляющий кристалл необыкновенный луч в общем случае не лежит в плоскости падения, что также не согласуется с обычным законом преломления.

§ 4. Эллиптическая и круговая (циркулярная) поляризация света

Пусть луч плоскополяризованного света падает по нормали на плоскопараллельную пластинку толщиной h , вырезанную из одноосного по положительному кристаллу так, что его оптическая ось параллельна поверхности пластинки. Из построения Фрэнсиса следует, что в этом случае обыкновенный и необыкновенный лучи распространяются в пластинке по одному и тому же направлению - по нормали к ней (см. рис. 84), но с разными скоростями. Из-за того, что скорости обыкновенного и необыкновенного лучей отличаются (v_o и v_e), в результате прохождения пластинки между этими лучами возникнет оптическая разность хода $\Delta = h(n_e - n_o)$. Соответственно, после прохождения пластинки между колебаниями векторов E обыкновенного и необыкновенного лучей "набежит" разность фаз

$$\Delta\varphi = 2\pi\Delta/\lambda \quad (5.13)$$

На рис. 85, а показана схема опыта (луч распространяется по оси Z , оптическая ось кристалла - ось Z); на рис. 85, б тот же опыт иллюстрируется тригонометрическим изображением, на котором видна также плоскость колебаний вектора напряженности электрического поля в падающем луче (амплитуда напряженности - E_0). Как следует из рисунка, падающий на пластинку луч света будет возбуждать в ней обыкновенную волну (в которой вектор E колеблется вдоль оси Y) и необыкновенную (вектор E колеблется по оси Z). На передней поверхности кристаллической пластинки ($Z=0$)

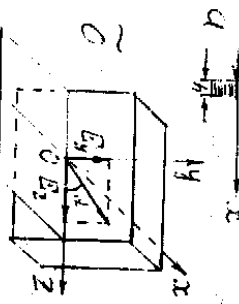


Рис. 85

На задней грани пластинки, учитывая (5.13), можно записать:

$$E_y(h) = E_{y0} \cos \omega t', \quad \text{где } t' = t - h/v_o \quad (5.15, a)$$

$$E_z(h) = E_{z0} \cos(\omega t' - \Delta\varphi) \quad (5.15, б)$$

Уравнения (5.15, а) и (5.15, б) описывают колебания вектора напряженности электрического поля в обыкновенном и необыкновенном лучах, соответственно. Поскольку для положительного кристалла скорость обыкновенного луча больше, чем необыкновенного ($v_o > v_e$, $\lambda_o > \lambda_e$), необыкновенный луч проходит больший оптический путь и отстает по фазе от обыкновенного.

После прохождения пластинки результирующая волна получается сложением двух колебаний, происходящих по взаимно перпендикулярным осям (Y и Z). Поскольку уравнения (5.15, а) и (5.15, б) не что иное, как параметрическое описание эллипса, из пластинки выйдет эллиптически поляризованная волна, в которой конец вектора E описывает в плоскости YOZ эллипс. Э предельных случаях эллипс "выпрямляется" в прямую (плоскополяризованный свет) или окружность (круговая, или циркулярная поляризация). Очевидно, в частности, что плоскополяризованный свет на выходе пластинки поделится, если разность фаз (5.13) составляет целое число π ; циркулярно-поляризованный свет может получиться только при условии $\Delta\varphi = 2\pi n$, а также, если разность фаз (5.13) составляет нечетное число $\pi/2$.

Поларизация света после прохождения двоякопреломляющей пластинки, вырезанной параллельно оптической оси (ось Z). Луч света распространяется по оси X (за чертой). Сlightическая разность хода между обыкновенным и необыкновенным лучами на выходе из пластинки - Δ, соответствующая разность фаз - Δφ; λ₀ - длина световой волны в вакууме.

Δ	λ₀/8	λ₀/4	3λ₀/8	λ₀/2
Δφ	π/4	π/2	3π/4	π

Δ	5λ₀/8	3λ₀/4	7λ₀/8	λ₀
Δφ	5π/4	3π/2	7π/4	2π

В таблице 1 показан характер поларизации света после прохождения кристаллической пластинки в зависимости от величины оптической разности хода (5.13), а также угла между плоскостью колебаний падающего луча и главной оптической плоскостью (α'). Соответствующие различным величинам Δ фигуры легко получить, задавая в соотношениях (5.15, а) и (5.15, б) несколько последовательных значений α' (например, 0, π/2, π, 3π/2, 2π). При этом окажется, что, в зависимости от оптической разности хода между обыкновенным и необыкновенным лучом Δ, направление обхода по эллипсу может быть разным. Историически сложилась такая терминология: эллиптическая поларизация называется *левой*, если направление распространения луча света и направление вращения вектора E связаны правилом правого буравчика (рис. 86, а), в противном случае поларизация называется *правой* (рис. 86, б). На рисунках, показанных в табл. 1, луч света распространяется за чертой; поэтому величинам Δ = λ₀/8, λ₀/4 и 3λ₀/8 будет соответствовать состояние левой эллиптической (или круговой) поларизации выходящего из кристаллической пластинки света: величины Δ = 5λ₀/8, 3λ₀/4, 7λ₀/8 - состояние правой поларизации.

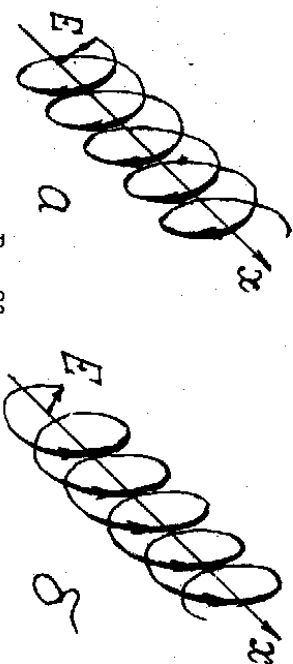


Рис. 86

Кристаллические пластинки, создающие оптическую разность хода между обыкновенным и необыкновенным лучом Δ = (m + 1/2) λ₀ называются пластинками в половин (здесь m = 0, 1, 2, ...). Такие пластинки поворачивают плоскость поларизации луча света на угол 2Δ (симметрично относительно главной оптической плоскости). Если плоскость поларизации падающего луча составляет угол α = π/4 с главной оптической плоскостью, пластинка в λ₀/2 осуществляет поворот плоскости поларизации на π/2 (плоскость поларизации выходящего из пластинки луча света перпендикулярна плоскости поларизации падающего луча).

$$i \cdot \Delta = \left(m + \frac{1}{4} \right) \lambda_n$$

Кристаллические пластинки, толщина которых соответствует оптической разности хода между обыкновенным и необыкновенным лучом $\Delta = (m + 1/4) \lambda_0$ (где $m = 0, 1, 2, \dots$), называются пластинками в четверть волны. Такие пластинки преобразуют плоскополяризованный свет в эллиптически поляризованный, причем ориентация эллипса заранее известна — одна из его осей направлена вдоль оптической оси пластинки, а другая — перпендикулярна ей (см. табл. I). Это свойство четвертьволновых пластинок используется для того, чтобы отличать эллиптически поляризованный свет от частично плоскополяризованного (смеси естественного и плоскополяризованного).

Если использовать для анализа состояния поляризации луча света только поляроид II и регистрирующее устройство Р (в простейшем случае — экран) — см. рис. 87, а, то различить эллиптически поляризованный и частично плоскополяризованный свет невозможно. В обоих случаях при вращении главной плоскости поляроида регистрирующее устройство зафиксирует плавное изменение интенсивности света от некоторого максимального до минимального (отличного от нуля) значения. Если, однако, перед поляроидом II расположить четвертьволновую пластинку (К), ориентированную ее оптической осью вдоль главного направления поляроида, соответствующего максимальному (или минимальному) интенсивности света в предыдущем опыте, то если на пластинку падает эллиптически поляризованный свет, после прохождения пластинки $\lambda_0/4$ он преобразуется в плоскополяризованный. При вращении главной плоскости поляроида II регистрирующий прибор будет отмечать минимальную интенсивность света, равную нулю. Этого никогда не произойдет, если падающий на пластинку К и поляроид Р луч света час-точно плоскополяризован.

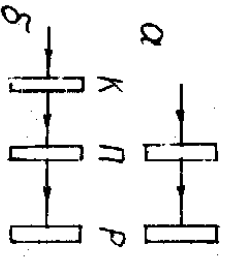


Рис. 87

Аналогичным образом можно отличить с помощью четвертьволновой пластинки свет, поляризованный по кругу, и естественный свет. В этом случае в эксперименте, показанном на рис. 87, б, оптически ось кристаллической пластинки можно ориентировать произвольно — при любом положении оси циркулярно поляризованного свет будет преобразован пластинкой $\lambda_0/4$ в плоскополяризованный. Изменяя ориентацию главной плоскости поляроида, будем регистрировать прибором Р изменение интенсивности света от максимального значения до нуля. При пропускании через пластинку

$\lambda_0/4$ естественного света луч не станет плоскополяризованным, поэтому регистрирующий прибор ни при каком положении главной плоскости поляроида II не зарегистрирует нулевой интенсивности. Обусловим теперь, можно ли для получения эллиптически (или циркулярно) поляризованного света использовать непоглощающую оптический элемент. Пусть в падающем на кристаллическую пластинку луче присутствуют волны разных частот в диапазоне от ω до $\omega + \Delta\omega$ (соответствующим длинам волн в вакууме — от λ_0 до $\lambda_0 + \Delta\lambda_0$). Для формирования на выходе из пластинки эллиптически поляризованного света необходимо, чтобы колебания напряженности электрического поля по осям Y и Z (см. рис. 85) были скорректированными по фазе (т.е. когерентными). Очевидно, что когерентность обыкновенного и необыкновенного лучей сохраняется при выполнении условия:

$$\Delta/\lambda_0 < N_k, \quad \Delta < \ell_k = N_k \lambda_0, \quad (5.16)$$

где $\Delta = h (n_e - n_o)$ — оптическая разность хода обыкновенного и необыкновенного лучей; $N_k = \omega/\Delta\omega = \lambda_0/\Delta\lambda_0$ — число когерентных колебаний (см. стр. 40); ℓ_k — длина когерентности. Из соотношения (5.16) следует, что толщина кристаллической пластинки, вырезанной параллельно оптической оси, должна удовлетворять неравенству:

$$h < \ell_k / (n_e - n_o). \quad (5.16, a)$$

Необходимо подчеркнуть, что условие формирования эллиптически поляризованного света (5.16, а) значительно мягче, чем условия сохранения когерентности лучей, отраженных от двух поверхностей той же кристаллической пластинки ($2hn < \ell_k$), поскольку обычно $h n_e - n_o \ll h$. Рассмотрим в качестве примера прохождения красного света ($\lambda_0 = 0,687$ мкм; $\Delta\lambda_0 \approx 0,069$ мкм) через квадратную пластинку ($n_o = 1,54$; $n_e = 1,55$) толщиной h . Учтывая, что в данном случае $N_k = \lambda_0/\Delta\lambda_0 \approx 10$, можно сделать вывод, что дифференциал волн, отраженных от двух поверхностей квадратной пластинки, можно наблюдать, если толщина пластинки не более 2,2 мкм; в то же время эллиптически поляризованные световые волны можно получать с помощью квадратной пластинки толщиной $h \approx 690$ мкм $\approx 0,69$ мм.

В заключение этого параграфа обусловим характер поляризации луча естественного света после прохождения через кристаллическую пластинку. Так как естественный свет — это совокупность плоско-

При поперечном луче произошло увеличение волн с длиной λ_0 и ослабление λ_0 . Если толщина кристаллической пластинки будет одинакова, то при наблюдении через поляризатор P_2 пластинка будет казаться окрашенной в фиолетовый цвет, соответствующий λ_0 . При повороте главной плоскости поляризатора P_2 на $\lambda/2$ вместо увеличения волн с длиной λ_0 произойдет их ослабление и кристаллическая пластинка окрасится в противоположный цвет (например, из синей превратится в оранжевую).

Если пластинка неоднородна по толщине, то все области одинаковых толщин окрасятся одинаково, и по распределению цветных полос или пятен по площади пластинки можно судить о степени и характере толщинной неоднородности этой пластинки. Например, если двоякопреломлящая кристаллическая пластинка имеет форму клина, то в опыте, показанном на рис. 89, она окажется концентрично параллельными между собой и ребру клина цветными полосами. Чередуясь по толщине одинаковой окраски соответствующим изменением оптической разности хода между обыкновенными и необыкновенными лучами на целое число длин волн (т.е. уменьшая разности фаз колебаний в этих лучах на $2\pi m$, где $m = 1, 2, 3, \dots$).

2. Полосы Давидова выцветы.

Лучи на кристаллическую пластинку, вырезанную перпендикулярно оптической оси, падает скользящим пучком белого света (см. рис. 91). В этом случае оптическая разность хода между обыкновенными и необыкновенными волнами зависит

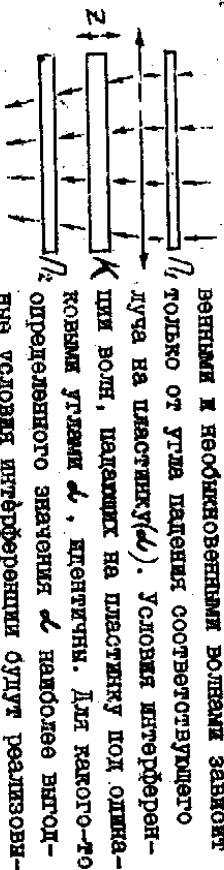


Рис. 91

только от угла падения соответствующего луча на пластинку (δ). Условия интерференции при волн, падающих на пластинку под одинаковыми углами δ , идентичны. Для какого-то определенного значения δ наблюдается выцветы условия интерференции будут реализовываться для световых волн, соответствующих вполне определенному цвету. Поэтому в опыте, показанном на рис. 91, однородная по толщине кристаллическая пластинка будет казаться покрытой концентрическими окружностями разных цветов. В центре преломной картины будет светлое или темное пятно (центральные световые луч распространяются вдоль оптической оси, поэтому необыкновенные волны в нем отсутствуют); интенсивность пятен в центре зависит от взаимного расположения главных плоскостей поляризаторов P_1 и P_2 .

Так как лучи, лежащие в главной плоскости поляризатора P_1 (или в перпендикулярной к ней плоскости), будут возбуждаться в кристалле только необыкновенные (или только обыкновенные) волны, вся преломная интерференционная картина будет пересечена бесцветными крестом, интенсивность которого такая же, как центрального пятна, накладывающегося в центре креста. Обычно наблюдаемая яркая интерференционная картина получается при скрещенных поляризаторах P_1 и P_2 ; в этом случае крест и центральное пятно темные.

Если в качестве источника света использовать лазер, то интерференционная картина, естественно, получается одноцветной, но зато очень четкой; небольшое отклонение оптической оси кристалла от нормали к поверхности пластинки сразу проявляется в изменении центральной симметрии интерференционной картины. Поэтому поляризационно-оптический метод наблюдения кристаллов в скрывающей лазерном пучке света (т.е. "метод лазерной конфокации") широко используется для точного определения ориентации оптической оси кристаллов. Кроме того, метод позволяет легко отличать одноосные двоякопреломляющие кристаллы от двуосных.

§ 6. Колебательная оптическая анизотропия

Все физические взаимодействия, способные ориентировать структурные элементы первоначально изотропного вещества, могут вызвать возникновение колебательной оптической анизотропии. Основным способом на основании способов формирования когерентной оптической анизотропии.

1. Прозвоптический эффект ("фотоупругость").

Прозвоптический эффект состоит в появлении оптической анизотропии при приложении к первоначально изотропному твердому телу (в частности, полимеру) механического напряжения. Физический механизм этого эффекта ясен из рис. 78, а - при растяжении или сжатии твердого тела вдоль какой-либо оси происходит увеличение или уменьшение расстояния между атомами вдоль этой оси со всеми вытекающими отсюда последствиями. Очевидно, знак $n_e - n_o$ зависит от характера воздействия (растяжение или сжатие); эффект является линейным по напряжению:

$$n_e - n_o = K \cdot \epsilon. \quad (5.17)$$

Энергия $\delta = F/S$ - механическое напряжение, K_1 - упругопластическая постоянная (иногда ее называют постоянной Брюстера). Типичные величины упругопластической постоянной для стекол лежат в пределах $K_1 = 10^{-11} - 10^{-12} \text{ м}^2/\text{Н}$.

Линейная зависимость между δ и $(P_e - P_o)$ выполняется только при не очень больших механических напряжениях.

Метод фотоупругости используется для изучения распределения механических напряжений в сложных телах, для которых разработаны методы неэффективны. Для этого изготавливаются модель детали из прозрачного вещества и подвергается требуемым воздействиям; в некоторых случаях удобное нанесение на поверхность детали тончайшее покрытие, которое затем под нагрузкой концентрируется в отраженном поляризованном свете.

2. Электрооптический эффект - это явление оптической анизотропии первоначально изотропного вещества при помещении его в электрическое поле. Наблюдаются электрооптические эффекты двух типов: линейный и квадратичный.

а. Эффект Пожкельса - линейный электрооптический эффект, который удается наблюдать только в piezoelektrических кристаллах. Piezoelektrиками называются вещества, сматые или растяженные которых по определенным направлениям сопровождаются появлением электрической поляризации ("н. "прямой piezoeffekt") и наоборот, приложение электрического поля вызывает растяжение или сжатие кристалла по направлению поля ("обратный piezoeffekt"). Поскольку связь между деформацией и напряженностью электрического поля для piezoelektrиков линейна, по аналогии с упругопластическим эффектом имеем:

$$P_e - P_o = K_2 E, \quad (5.18)$$

где E - напряженность электрического поля, K_2 - постоянная Пожкельса. Для типичного piezoelektrика - ниобата лития $K_2 = 3,7 \cdot 10^{-10} \text{ м/В}$.

Кроме того, для изготовления "оптических затворов" на основе эффекта Пожкельса используются также piezoelektrики, как для гидрофофат кальция ($\text{KH}_2\text{P}_2\text{O}_4$) и дигидрофофат аммония (ADP) - $\text{NH}_4\text{H}_2\text{PO}_4$.

Для того, чтобы пластинка ниобата лития толщиной порядка миллиметра выполняла роль полупроводниковой пластинки, необходимо приложить к ней электрическое поле $E \approx 5 \cdot 10^5 \text{ В/м}$.

б. Эффект Керра - квадратичный электрооптический эффект. Эффект Керра наблюдается в жидкостях, стеклах, а также кристаллических веществах (не в piezoelektrиках!). В результате приложенных к этим веществам электрического поля появляется оптическая анизотропия (оптическая ось направлена вдоль поля), причем различие между показателями преломления обыкновенного и необыкновенного лучей квадратично зависит от величины поля

$$P_e - P_o = K_3 E^2. \quad (5.19)$$

Величина постоянной Керра для нитробензола, например, равна $K_3 = 10^{-18} \text{ м}^2/\text{В}^2$. В электрическом поле $E = 10^6 \text{ В/м}$ разность фаз между обыкновенным и необыкновенным лучами достигает π ("полуступка" $\lambda/2$), если толщина слоя нитробензола $h = 20 \text{ см}$.

Физическая причина эффекта Керра состоит в ориентации структурных элементов вещества (например, молекул нитробензола) в электрическом поле, либо в искажении электронных оболочек молекул или атомов в электрическом поле. В первом случае эффект Керра называется ориентационным, он может наблюдаться только в веществах, состоящих из дипольных молекул; эффект Керра второго типа ("поляризационный") характерен для веществ, молекулы или атомы которых первоначально не обладают дипольными моментами, но достаточно сильно поляризуются в электрическом поле.

Благодаря квадратичности эффекта Керра неравновесное электрическое поле достаточно мощного лазерного излучения будет вызывать в этом веществе появление оптической анизотропии, что легко обнаружить, пропуская луч света через облучаемое лазером вещество. Такой эффект Керра называют "оптическим". Оптический эффект Керра - типичный пример нарушения принципа суперпозиции; в этом случае волна лазерного излучения изменяет свойства среды и таким образом влияет на распространение в этой среде другой световой волны.

На базе эффектов Пожкельса и Керра создают быстродействующие оптические затворы, которые находят широкое применение в науке и технике. Принципы устройства такого затвора иллюстрированы рис. 92. Между параллельными P_1 и P_2 , главные плоскости которых взаимно перпендикулярны, помещаются ячейка Пожкельса или Керра. Направление электрического поля в ячейке составляет угол $\pi/4$ с главными плоскостями P_1 и P_2 (рис. 92, б). Величина напряженности электрического поля подбирается такой, чтобы на длине

ячейки находится оптическая разность хода между объективными и несоблюденным лучами, равная $\lambda/2$. Тогда при подаче электрического поля на ячейку плоскость колебаний падающего на нее луча света повернется на $\lambda/2$ и вышедший из ячейки луч пройдет через полупрозрачный элемент электрооптического поля затвор.



Рис. 92

"закрыт" - свет через него не проходит. Очевидно, что затворы на базе эффекта Поккеля можно использовать для модуляции светового потока - т.е. для передачи информации оптическим способом (ячейки Керра для этого менее пригодны из-за нелинейной связи между $N_e - N_o$ и напряженностью поля, что является причиной искажения сигнала). Максимальная частота модуляции сигнала с помощью ячейки Пококеля порядка 10^{13} Гц, что позволяет реализовать огромную плотность передачи информации. Быстродействующие затворы Керра, основанные на поляризационном эффекте, такого же порядка, для ориентационного эффекта Керра "время ориентации" на 4-5 порядков больше (ориентация молекул - достаточно инерционный процесс).

3. Магнитно-оптический эффект

Эффект Коттона-Мутона - это "магнитный аналог" эффекта Керра. Объяснение этого эффекта аналогично изложенному выше объяснению эффекта Керра; величина возникающей в магнитном поле оптической анизотропии вещества квадратично зависит от индукции магнитного поля:

$$n_e - n_o = K_4 B^2 \quad (5.20)$$

Постоянная Коттона-Мутона обычно очень мала (для жидкостей $K_4 = 10^{-9} - 10^{-10}$ Гц⁻²); наибольшие величины $K_4 = 10^{-6} - 10^{-7}$ Гц⁻² зарегистрированы для некоторых коллоидных растворов и жидких кристаллов, однако, даже для этих веществ в достаточной степени магнитных полей ~ 1 Тл на пути $l = 1$ см достигается разность фаз между объективными и несоблюденными волнами всего в несколько градусов. Поэтому практических применений эффект Коттона-Мутона пока не нашел; тем не менее, его можно использовать в чисто научных целях для изучения магнитных свойств и структуры молекул, а также их комплексов.

В заключение отметим, что все постоянные $K_1 - K_4$ в соотношениях (5.17)-(5.20) могут быть, в зависимости от типа вещества, как положительными, так и отрицательными. Кроме того, для явления оптической анизотропии характерна дисперсия - т.е. зависимость величин постоянных $K_1 + K_4$ от длины волны света.

§ 7. Оптическая активность

При прохождении плоскополяризованного света через некоторая вещества (называемые оптически-активными) происходит постепенный поворот плоскости колебаний световой волны. Это явление получило название оптической активности.

Ряд веществ проявляют оптическую активность в жидком агрегатном состоянии - твердом, жидком и газообразном. Обнаружено, что эти вещества состоят из молекул, не имеющих ни центра, ни плоскости симметрии. Особенно это характерно для органических молекул, содержащих атом углерода, связанный с четырьмя различными заместителями. Типичным представителем этого класса веществ является молочная кислота, молекула которой $C_3H_5O_3$ не имеет ни одного элемента симметрии. Для молекулы такого типа характерно существование двух форм ("изомеров"), пространственно несоместимых друг с другом любыми вращениями и перемещениями. Отличаются они друг от друга, как правая и левая рука, или как предмет неправильной формы от своего изображения в зеркале. Такие изомеры называются "зеркальными" или, что более правильно, "оптическими", поскольку соответствующие вещества вращают плоскость поляризации света в разные стороны. Два оптических изомера молекулы молочной кислоты показаны на рис. 93, а. З хвостик их принято изображать при помощи проекционных формул Фишера (см. рис. 93, б), в которых верхний и нижний заместители ($COOH$, OH) следует представлять себе расположенными за плоскостью чертежа, боковые же заместители (H , OH) - перед плоскостью рисунка. Считается, что в центре проекционной формулы находится атом углерода, который лежит в плоскости чертежа.

Правовращающие оптические изомеры принято называть положительными (они обозначаются знаком "плюс" перед формулой), левовращающие - отрицательными (перед химической формулой в этом случае ставится знак "минус"). Смесь оптических изомеров в равных количествах (т.н. "рацемат") не проявляет оптической актив-

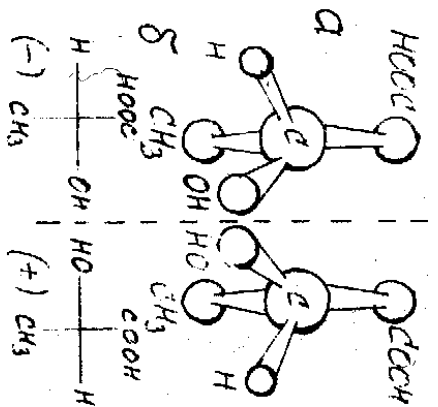


Рис. 93

растворимых также проявляет оптическую активность; причем угол поворота плоскости поляризации света в растворе оказывается пропорциональным концентрации раствора c и длине пути, пройденного лучом света в растворе l :

$$\alpha = [\alpha] l c \quad (5.21)$$

Соотношение (5.21) называется законом Био; величина $[\alpha]$ — удельная оптическая активность. Обычно в справочниках величина $[\alpha]$ дается в градусах, если l измерен в дециметрах, а концентрация — в граммах оптически-активного вещества на объем раствора в см³. Например, для молочной кислоты величина $[\alpha] = 3,82^\circ$ (положительна для правоовращающей и отрицательна для левоовращающей формы). Для тростникового сахара (сахарозы $C_{12}H_{22}O_{11}$) $[\alpha] = +66,4^\circ$; для виноградного сахара (глюкозы $C_6H_{12}O_6$) $[\alpha] = +52,6^\circ$; для фруктового сахара (фруктозы $C_6H_{12}O_6$) $[\alpha] = -91,9^\circ$ (левоовращающий).

Удельная оптическая активность (иногда для краткости называют удельным вращением) зависит от длины волны света. Обычно величина удельного вращения определяется для желтой линии натрия, тогда она обозначается $[\alpha]_D$ (выше приведены иные значения $[\alpha]_D$).

Методы исследования оптически-активных веществ, основанные на изучении вращения плоскости поляризации (т.н. "поляриметрия") широко используются для точного определения концент-

рации этих веществ в растворах (см. соотношение (5.21)). В растворе "вращательной дисперсии" (зависимости угла вращения плоскости поляризации света от длины волны) позволяет изучать строение веществ. Наконец, оптическая активность крайне чувствительна к небольшим вариациям в строении молекул и к междумолекулярным взаимодействиям, поэтому ее исследование может служить как ограничитель, так и комплексных неорганических соединений. Для того, чтобы проиллюстрировать огромные возможности поляриметрии в стереохимии, на рис. 94 приведены структурные формулы двух форм глюкозы — α -глюкозы и β -глюкозы. Обе эти формы правоовращающие, отличие между ними состоит лишь в направлении пространственной ориентации двух связей, обозначенных на

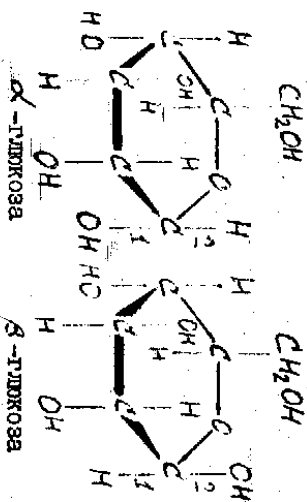


Рис. 94

рис. 94 цифрами 1 и 2. Несмотря на столь названные различия, на первый взгляд, разницу, удельная оптическая активность двух форм глюкозы отличается в шесть раз. Приведенная выше величина $[\alpha]_D = 52,5^\circ$ для глюкозы на самом деле получена в результате суммирования эффектов от двух

сосуществующих в равновесии форм — α -глюкозы с удельным вращением $[\alpha]_D = 112^\circ$ и β -глюкозы с удельной оптической активностью $[\alpha]_D = 18,7^\circ$. Помимо веществ, оптически-активных "на молекулярном уровне", имеется достаточно обширный класс веществ, проявляющих оптическую активность только в кристаллической форме. Например, стеклообразный кварц обычно оптически неактивен, тогда как кристаллический кварц характеризуется значительной оптической активностью. Оптическая активность таких веществ — свойство кристалла как целого. Общее свойство оптически-активных кристаллов — отсутствие зеркальной симметрии. В случае кварца, например, структурные элементы кристаллической решетки — тетраэдры SiO_4 , соединяясь между собой вершинами (атомы кислорода), образуют спиральные цепи. Подобно оптическим изомерам, существуют право-

и левовращающие кристаллы, которые отличаются друг от друга как предмет и его зеркальное отображение. Также кристаллы, абсолют-но инертные по физическим свойствам, отличаются только на-правлением вращения плоскости поляризации света, принято назы-вать оптически активными. Очень макромольная оптическая ак-тивность в кристаллах наблюдается при распространении света вдоль оптической оси.

Для кристаллических оптически-активных веществ закон Био (5.21) принимает форму:

$$\alpha = [\alpha] l \quad (5.22)$$

Удельное вращение для кристаллов обычно существенно больше, чем для жидких оптически-активных веществ. Например, для кварца удельное вращение изменяется в спектральном диапазоне $\lambda = 0,76$ мкм - 0,4 мкм от 12,7 град/мм до 51 град/мм (обращаем внимание, что для кристаллов удельное вращение принято рассчитывать на 1 мм пути луча, а не на 10 см, как для жидкостей). Удельная оп-тическая активность как кристаллов, так и жидкостей, зависит от таких внешних факторов, как температура, давление, состав растворителя.

Физический механизм явления оптической активности был предложен Френелем в 20-х годах XIX века. Основная идея Френе-ля состоит в том, что в оптически-активных веществах циркуляр-но-поляризованный в разных направлениях (г.е. левый и правый) свет распространяется с разными скоростями. Если учесть опреде-ленную "спиральность" кристаллов и молекул оптически-активных веществ, такое различие скоростей распространения лево- и пра-вополяризованного света кажется вполне естественным, поскольку условия поляризации вещества зависят от того, совпадает ли на-правление вращения вектора E световой волны с направлением "спиральности" этого вещества.

Далее, Френель предложил рассмотреть плоскополяризован-ную световую волну частоты ω , падающую на поверхность оптиче-ски-активного вещества, как результирует наложения двух циркулярно-поляризованных в разных направлениях волн одной и той же ча-стоты и с одинаковыми амплитудами (амплитуда каждой поларизо-ванной по кругу волны равна половине амплитуды исходной, непо-скольгированной, волны) - см. рис. 95, в. Поскольку показатели преломления правополяризованной (n_+) и левополяризованной (n_-)

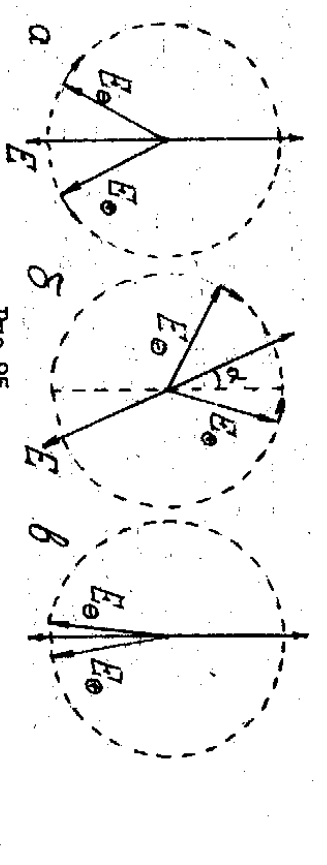


Рис. 95

волн отличаются по величине, между правополяризованной и лево-поляризованной волнами после прохождения слоя оптически-актив-ного вещества толщиной l наберется оптическая разность хода $\Delta = l(n_+ - n_-)$. Если, например, $n_+ > n_-$, то скорость рас-пространения левого циркулярно-поляризованного света (U_-) больше, чем правого (U_+); лево-поляризованный свет пройдет слой l за меньшее время, чем правый; соответственно, вектор E за это время повернется на меньший угол - см. рис. 95, б. Из рисунка видно, что в итоге плоскость колебаний выходящего из оптически-активного вещества света повернется на угол α про-тив часовой стрелки (луч света распространяется от нас за чер-той). Такое направление вращения плоскости поляризации свето-вых волн соответствует правоовращающему (положительному) опти-чески-активному веществу. Для левовращающего (отрицательного) вещества $n_+ < n_-$, $U_+ > U_-$.

Если оптическая разность хода право- и лево-поляризован-ных волн Δ равна длине волны света в вакууме, то, как это видно из рис. 95, в, плоскость поляризации световой волны после прохождения слоя вещества толщиной l поворачивается на угол α (не 2α !). Следовательно, угол поворота плоскости колебаний светового вектора при произвольном значении величины Δ может быть определен по формуле:

$$\alpha = \frac{\Delta}{2} = l(n_+ - n_-) \quad (5.23)$$

Положительные значения угла α соответствуют правоовращаю-щему (положительному) оптически-активному веществу.

Как и оптически-анизотропным, оптически-активными перво-наачально неактивного вещества можно выявлять искусственно. Для этого нужно это вещество поместить в достаточно сильное магнит-

ное поле, а луч света направляют по направлению полюса магнитного поля (не путать с эффектом Коттона-Мултона — там световой луч должен составлять угол $\pi/2$ с магнитным полем). Возникновение некуросовенной оптической активности в магнитном поле наблюдается эффектом Фарадея, поскольку именно Фарадей в середине XIX века впервые наблюдал этот эффект. Как и в случае естественной оптической активности, угол поворота плоскости колебаний световой волны определяется длиной пройденного в магнитном поле пути l и разницей показателей преломления n_+ и n_- — см. соотношение (5.23).

Как правило, если величина магнитной индукции не слишком велика, разность показателей преломления право- и левополяризованного света линейно зависит от индукции магнитного поля:

$$n_+ - n_- = K_V l B. \quad (5.24)$$

Постоянная K_V называется удельным магнитным вращением, или постоянной Верде по имени ученого, наиболее полно исследовавшего закономерности магнитного вращении. Знак постоянной Верде для большинства веществ положителен (правовращающие в магнитном поле вещества), лишь некоторым веществам в магнитном поле является левовращающими ($K_V < 0$). Величина постоянной Верде зависит от длины волны света и температуры.

Магнитное вращение, по-видимому, в той или иной степени проявляется все вещества, хотя обычно оно весьма мало. Даже для тех веществ, в которых оно ступаето больше (например, некоторые сортов стекол) удельное вращение не превышает 10-15°, если l измерять в см, а индукцию магнитного поля — в Гл. Больше величина угла магнитного вращении α регистрируется также в тонких ($l = 0,1$ мм) полупрозрачных для световых волн пленках ферромагнетиков (железа, кобальта, никеля). Угол поворота плоскости колебаний света в таких пленках может достигать несколько градусов и более при помещении пленки во "внешнее" магнитное поле порядка Гл. Необходимо, однако, иметь в виду, что "внутреннее" магнитное поле в ферромагнитных материалах превышает "внешнее" в 10^3-10^5 раз (магнитная проницаемость ферромагнетиков достигает $\mu = 10^4-10^5$).

Подчеркнем, что знак угла поворота плоскости поляризации света зависит только от направления магнитного поля и не зависит от направления распространения луча света. Поэтому при

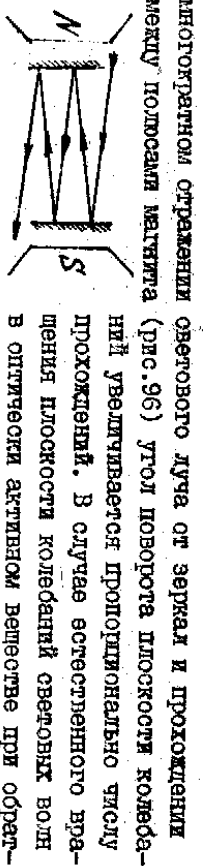


Рис. 96
Ся в исходное положение.

Иногда для анализа структуры вещества вводят величину молекулярного вращения $\Omega = K_V/g$, где g — плотность вещества в моль/м^3 (или моль/см^3). Оказывается, что при изменении плотности и даже агрегатного состояния вещества сохраняется практически неизменной молекулярная постоянная магнитного вращении

$$M = 90\Omega / (n^2 + 2), \text{ где } n - \text{показатель преломления вещества.}$$

Магнитное вращение плоскости поляризации света обусловлено возникновением индупрированного кругового движения электронов в магнитном поле. В результате условия распространения волны, подризванных по кругу, становится зависшими от направления вращения вектора напряженности электрического поля. Поскольку направление кругового движения электронов определяется только направлением магнитного поля, знак угла вращении плоскости поляризации света не зависит от того, в какую сторону распространяется световой луч — по магнитному полю или против него.

ТАБЛА УГ. ВОЛНОВЫЕ ПАКЕТЫ И ИМПУЛЬСЫ

§ 1. МОДУЛИРОВАННЫЕ ВОЛНЫ

Поскольку в термодической волне каждый последующий период колебаний в точности повторяет предыдущий, с помощью таких волн нельзя осуществлять передачу информации. Для того, чтобы использовать волны для этой цели, нужно в процессе испускания волны изменить длину из параметров, характеризующих волну — амплитуду, частоту или начальную фазу. Соответственно, существует три вида модуляции волн — амплитудная, частотная и фазовая.

При амплитудной модуляции исходная гармоническая волна (рис. 97, а), называемая иногда "несущей", видоизменяется с помощью модулирующего сигнала (рис. 97, б) такими образом, что амплитуда

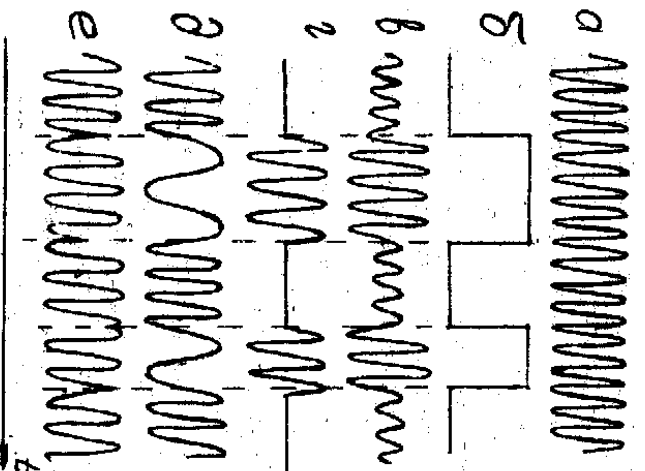


Рис. 97

меняются).

Подчеркнем, что при всех способах модуляции используются ограниченные во времени и в пространстве "лучи" термических колебаний, которые не являются монохроматическими волнами (монохроматическая волна - бесконечная синусоида). Поэтому очевидно, что любой способ передачи информации с помощью волн требует использования набора монохроматических волн разных частот. В том случае, когда используется суперпозиция плоских монохроматических волн с близкими значениями частот ω и волновых векторов k , принято называть такое волновое образование "волновым пакетом" или "пакетом волн".

§ 2. Характеристики волнового пакета

Разогнем прямоугольный волновой пакет - дисперсный набор плоских монохроматических волн одинаковых амплитуд, частоты которых равномерно распределены в интервале $\omega_1 \pm \Delta\omega$; соответствующий диапазон волновых чисел - $k_1 \pm \Delta k$ (волне с частотой ω_0

туда результирующей волной подвержен модулирующий сигнал - рис. 97, в. Частный случай амплитудной модуляции - исключение составляющих на коротких интервалах волновой частоты - т.н. "радиомодуляторов" - см. рис. 97, г. В случае частотной модуляции (рис. 97, д) в момент появления модулирующего сигнала изменяется частота несущей, амплитуда волны остается неизменной. Наконец, при фазовой модуляции в определенные моменты времени, задаваемые модулирующим сигналом, "сдвигается" начальная фаза колебаний - см. рис. 97, е (амплитуда и частота при этом не

соответствует волновое число k_1). Будем предполагать, что всего имеется N волн, так что разность частот и волновых чисел "соседних" волн $\delta\omega = \Delta\omega/(N-1)$ и $\delta k = \Delta k/(N-1)$ соответственно - см. рис. 98. Волна с номером n описывается соотношением:

$$\xi_n = a \cos(\omega_n t - k_n x) \quad (6.1)$$

Здесь a - амплитуда волны (в прямоугольном пакете одна и та же для всех волн), $\omega_n = \omega_0 + (n-1)\delta\omega$; $k_n = k_1 + (n-1)\delta k$.

Наша задача - выяснить, что получится в результате суперпозиции

при всех волн пакета:

$$\xi = a \sum_{n=1}^N \cos \omega_n t - k_n x \quad (6.2)$$

воспользуемся для этого методом векторных диаграмм. Пусть в некоторый момент времени вектор, изображающий амплитуду колебаний в первой волне для какой-то точки пространства, расположен горизонтально (см. вектор АВ на рис. 99). В последующие моменты вектор АВ будет вращаться в плоскости рисунка против часовой стрелки с угловой скоростью ω_1 . Вектор, изображающий колебания в той же точке, возбуждаемые второй волной ($\omega_2 = \omega_1 + \delta\omega$, $k_2 = k_1 + \delta k$), нужно повернуть относительно первого на величину сдвига фаз между ξ_1 и $\xi_2 - \delta\omega t - \delta k x$. Направление этого сдвига (опережение или отставание по фазе) зависит от величины $\delta\omega t$ и $\delta k x$; для определенности мы будем считать, что $\delta\omega > 0$ (колебания ξ_2 опережают по фазе колебания ξ_1), соответственно, вектор ВС повернут относительно АВ против часовой

стрелки на угол $\delta\varphi$. Суммируя аналогичным образом колебания от всех N волн, получим равносторонний многоугольник (число сторон равно N , стороны равны благодаря тому, что равны амплитуды колебаний разных частот). Отрезок перпендикуляр из середины отрезка АВ, ВС, ... находим центр О окружности, в которую вписан многоугольник. Радиус этой окружности, как легко видеть из рис. 99, равен

$$R = (a/2) / \sin(\delta\varphi/2) \quad (6.3)$$

(здесь угол $\delta\varphi$ между радиусами ОА и ОВ точно равен углу между

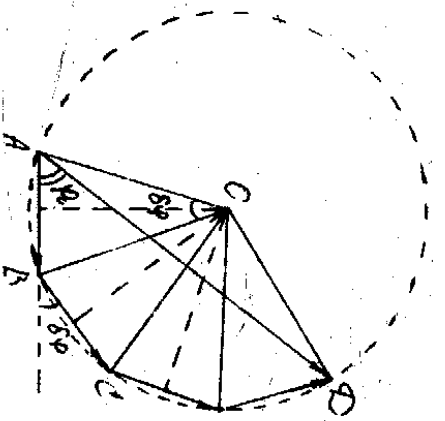


Рис. 99

КОЛЛЕБАНИЯ

$$A = a \frac{\sin(N\delta\varphi/2)}{\sin(\delta\varphi/2)}$$

(6.5)

Сдвиг фаз между результирующими колебаниями и колебаниями, входящими первой волны пакета, равен углу $\angle DAC$ на рис. 99 (один из углов $\angle OAB$ равен $(\delta - N\delta\varphi)/2$, получаем

$$\varphi_0 = \angle OAB - \angle OAD = (N-1)\delta\varphi/2 = \frac{1}{2}(N-1)(\delta\omega t - \delta kx) \quad (6.5, a)$$

Выразим теперь результирующее колебание ξ , учитывая, что первая волна описывается уравнением (6.1) с $n = 1$, а сдвиг по фазе между ξ и ξ_1 — соответствием (6.5, a):

$$\xi = A \cos(\omega t - k_1 x + \varphi_0) = A \cos(\omega t - kx + \chi) \quad (6.6)$$

В уравнении волны (6.6) введены средние для волнового пакета частота $\langle \omega \rangle$ и волновое число $\langle k \rangle$:

$$\langle \omega \rangle = \omega_1 + (N-1)\delta\omega/2; \quad \langle k \rangle = k_1 + (N-1)\delta k/2 \quad (6.7)$$

Существенно, что амплитуда результирующей волны A , которая описывается формулой (6.4), не зависит как во времени, так и в пространстве, поскольку величина φ_0 зависит от t и x . Проведем анализ этой зависимости для случая, когда полное число

векторами AB и BC , т. е. трехугольник ABC может быть поворотом треугольника AOB на угол $\delta\varphi$.

Обозначим амплитуду результирующего колебания (длину вектора AD) через A , из равнобедренного треугольника AOB получаем

$$A/2 = R \sin(N\delta\varphi/2) \quad (6.4)$$

Отсюда для (6.3) и (6.4), получаем выражение для амплитуды результирующего колебания, пригодное для прямоугольного пакета, состоящего из N волн

волн N в пакете достаточно велико ($N \gg 1$), а фазовый сдвиг между отдельными волнами — мал ($\delta\varphi \ll 1$). В этих условиях в знаменателе (6.4) синус малого угла можно заменить самим углом $\delta\varphi/2$, а в числителе — вместо $N\delta\varphi/2$ писать φ_0 (см. (6.5, a)). В итоге соотношение (6.4) принимает следующую форму:

$$A \approx Na \sin\varphi_0 / \varphi_0; \quad N \gg 1 \quad (6.8)$$

Зависимость амплитуды A при $N \gg 1$ от угла φ показана на рис. 100. При $\varphi_0 = 0$ амплитуда максимальна и равна N_0 ; фазовый сдвиг этого угла определен — при этом условии фазы всех колебаний совпадают и "тоже" векторная диаграмма, показанная на рис. 99, представляется в прямую линию, длина которой N_0 . Однако, что в некоторой точке пространства φ_0 амплитуда результирующего колебания достигает максимального значения только в момент времени t_0 , когда выполняется условие:

$$\delta\varphi = \delta\omega t_0 - \delta k x_0 = 0 \quad (6.9)$$

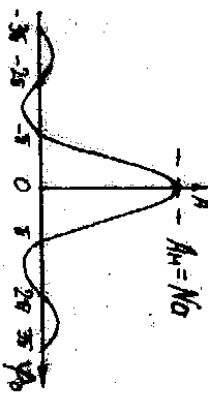


Рис. 100

В другие моменты времени, из-за того, что частоты колебаний волн, составляющих пакет, неодинаковы, строгая синфазность колебаний $\xi_1, \xi_2, \dots, \xi_N$ нарушена и амплитуда колебаний меньше максимальной. При постепенном увеличении разности фаз между колебаниями "соседей" волн пакета $\delta\varphi$ растет также угол поворота результирующего вектора AD (см. рис. 99); когда φ_0 достигает π , вектор AD изменяет направление на обратное (по сравнению с его положением при $\varphi_0 = 0$). Это соответствует изменению знака амплитуды на рис. 100 и фазовою сдвигу на π . На рис. 101 показана зависимость амплитуды результирующего колебания в некоторой фиксированной точке x_0 от времени t . Максимальная амплитуда колебаний будет зарегистрирована ближайшем, находящемся в точке x_0 , в момент $t_0 = x_0 \delta k / \delta\omega$. Выполнено условие $\varphi_0 = \pm \pi$ соответствуют моменты времени $(t - t_0) = \pm 2\pi / \delta\omega$. Небольшая частота результирующего сигнала — $\langle \omega \rangle$ (см. соотношение (6.6)). Поскольку переносимая каждой энергией пропорциональна квадрату амплитуды колебаний, практическая волна

энергия волнового пакета будет сосредоточена наблюдая в период времени от $-2\delta/\Delta\omega$ до $+2\delta/\Delta\omega$ - рис.101. Так как разность фаз $\Delta\phi$ между соседними волнами в интервале $\Delta\omega$ равна 2π , то $\Delta\phi = 2\pi \Delta\omega \Delta t$. Принимая условие $\Delta\phi = 2\pi$, получаем, что $\Delta t = 2\delta/\Delta\omega$, т.е. получаем, что длительность импульса Δt пропорциональна ширине спектра $\Delta\omega$.

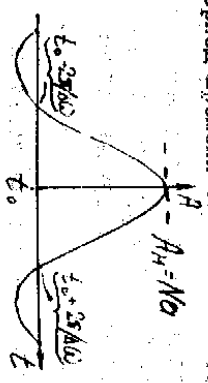


Рис.101

Этот соотношение часто называют теоремой о ширине частотной полосы. В соответствии с этой теоремой импульсный сигнал длительностью Δt получается сложением пакета волн, частоты которых лежат в диапазоне $\Delta\omega \approx 2\delta/\Delta t$. Чем более короткий импульс требуется получить, тем шире должен быть частотный интервал, занимаемый волновым пакетом. Одной монокроматической волне соответствует $\Delta\omega = 0$ и, следовательно, $\Delta t \rightarrow \infty$ (бесконечно большая длительность сигнала).

$$\Delta t \cdot \Delta\omega \approx 2\delta \quad \text{или} \quad \Delta t \cdot \Delta\nu \approx 1 \quad (6.10)$$

Заметим, что в момент времени $t = t_0$ колебания всех составляющих пакета сдвиганы, через время $t_k = 2\delta/\Delta\omega$ эта сдвиганность полностью "расстраивается". Очевидно, что время t_k не что иное, как введенное ранее (см. гл. III, § 3) время когерентности.

Интересно теперь зафиксировать момент времени t_0 и сделать "мгновенную фотосъемку" сигнала в этот момент - см. рис. 102. Условием $\psi_0 = \pm \delta$ соответствуют координаты $(x_0 - t_0) = \pm 2\delta/\Delta k$. Почти вся энергия волнового пакета сосредоточена в ограниченной области пространства.



Рис.102

ва. Как и ранее, принятое считать пространственной протяженностью волнового пакета величину $\Delta x = 2\delta/\Delta k$. Эта величина равна половине расстояния между минимумами $(x_0 - 2\delta/\Delta k)$ и $(x_0 + 2\delta/\Delta k)$. Определенная таким образом протяженность волнового пакета Δx связана с интервалом

длины волны, составляющих пакет, соответственно, приближается к формуле геометрии о ширине частотной полосы:

$$\Delta x \cdot \Delta k \approx 2\delta \quad \text{или} \quad \Delta x / \Delta(\nu/\lambda) \approx 1 \quad (6.11)$$

Очевидно, чем меньше протяженность волнового пакета Δx , тем шире должен быть набор длин волн, составляющих пакет. Монокроматической волне соответствует $\Delta k = 0$, следовательно, такая волна описывается бесконечно длинным пучком. Из (6.11) следует, в частности, что не существует бесконечно короткого пучка, но только для пространственно ограниченных пучков волн. Если же размер волнового пучка (в поперечном сечении) ограничен, то это означает, что этот пучок характеризуется некоторым набором волновых векторов Δk (т.е. волна не является монохроматической).

На мгновенной фотосъемке волнового пакета (рис.102) в результате все компоненты пакета возбуждают синхронные колебания. После прохождения расстояния $\Delta x = 2\delta/\Delta k$ когерентность отдельных разнородных волн, составляющих пакет, нарушается. Поэтому расстояние $\Delta x = 2\delta/\Delta k = \lambda^2/\Delta\lambda$ можно назвать длиной когерентности, определенной ранее (см. гл. III, § 3).

Заключение этого параграфа отметим, что соотношение (6.8) можно использовать для количественных расчетов дифракционной картины от щели или системы щелей (решетки), понимая под N число интерферирующих пучков волн (в случае "дифракционной решетки" N - число щелей); необходимо при этом учитывать, что угол ψ_0 приблизительно равен половине сдвига фаз между "соседними" волнами пакета (см. (6.5,а)). Для дифракции на рис.103 показаны векторные диаграммы сложения когерентных компонент нового пакета в зависимости от угла ψ_0 (и, соответственно, сдвига фаз между "крайними" компонентами $N\psi_0 = 2\psi_0$). Согласно рис.103, рис.55 и рис.62, можно видеть актуальность этих рисунков, если учесть, что в случае дифракции от одной щели $N\psi_0 = 2\psi_0$ (в.с. рис.103), а при рассмотрении топологических минимумов и максимумов дифракционной картины от решетки $N\psi_0 = 2\psi_0(N\psi_0/\lambda)$. Следует также иметь в виду, что щель построена из векторных диаграмм на рис.103 и 99 предполагается, что каждая последующая волна пакета опережает предыдущую по фазе на ψ_0 , тогда как векторные диаграммы рис.55 и рис.62 построены для случая, когда каждая последующая волна отстает по фазе от

предыдущей (соответственно, отличаются направлением "загрузки" векторов на рис. 103 и рис. 55).

ψ_0	0	$\pi/2$	π	$3\pi/2$	2π	$5\pi/2$
$N \Delta \varphi = 2\psi_0$	0	π	2π	3π	4π	5π
$\sin \psi_0 / \psi_0$	1	$2/\pi$	0	$2/3\pi$	0	$2/5\pi$
Векторы, направленные	→	↻	↻	↻	↻	↻

Рис. 103

Несколько забегая вперед отметим, что в современной физике теорема о ширине частотной полосы переходит в принцип неопределенности Гейзенберга. В квантовой механике с частицей сопоставляется волна, параметры которой определяются энергией W и импульсом p частицы: $\nu = W/h$, $\lambda = h/p$, где h - постоянная Планка. Подставляя в формулы (6.10) и (6.11) величины $\Delta W = \Delta W/h$ и $\Delta (1/\lambda) = \Delta p/h$, получим:

$$\Delta W \Delta t \approx h, \quad \Delta p \Delta x \approx h \quad (6.12)$$

Точные формулировки принципа неопределенности в квантовой механике записываются несколько иначе:

$$\Delta W \Delta t \approx h/2\pi, \quad \Delta p \Delta x \approx h/4\pi \quad (6.13)$$

§ 3. Распространение волновых пакетов

Анализируя условие максимума волнового пакета (6.9), легко понять, что с течением времени пакет перемещается по оси x со скоростью

$$v_g = v_0 / \tau_0 = \partial \omega / \partial k = \partial v \omega / \partial k \quad (6.14)$$

Именно с этой скоростью, называемой групповой скоростью волнового пакета, распространяется энергия пакета и, следовательно,

точно, информация, которую мы передаем с помощью волны.

Учитывая, что $\omega = v k$, где v - фазовая скорость волны (см. стр.), можно записать выражение для групповой скорости не- сколько иначе:

$$v_g = v + k \partial v / \partial k = v - \lambda \partial v / \partial \lambda \quad (6.15)$$

Для электромагнитных волн в вакууме (гл. II, § 5) фазовая скорость - постоянная величина ($v = c = 1/\sqrt{\epsilon_0 \mu_0}$); в этом случае групповая скорость равна фазовой. В вакууме информация может быть передана с помощью электромагнитных волн со скоростью, равной c .

Однако в большинстве случаев при распространении как электромагнитных, так и упругих волн в различных веществах фазовая скорость волн оказывается зависимой от λ . В принципе возможны три вида зависимостей $\omega(k)$ - т.е. "дисперсионных кривых" - см. рис. 104. Прямая 1, проходящая через начало координат, соответ- ствует среде, в которой $v_g = v = c \omega / \omega$ (принято говорить в этом случае об отсутствии дисперсии волн). Кривая 2 ха- рактерна для сред, в которых

$$\partial v / \partial \lambda > 0; \quad v_g < v \quad (6.16)$$

Дисперсия волн (т.е. зависимость ω от k , v от λ) для таких сред называется аномальной.

Наконец, для веществ, в которых дисперсия волн аномальна, $\partial v / \partial \lambda < 0$:

$$v_g > v$$

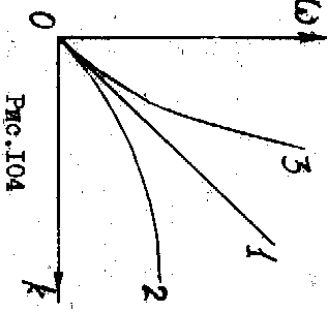


Рис. 104

(кр. 3).

Рассмотрим качественно характер дисперсии электромагнитных волн в диэлектрике. При прохождении электромагнитной волны через диэлектрик электрическое поле волны вызывает в роли вынуждающей переменной силы, вызывающей смещение заряженных частиц (электронов и ионов). Поскольку диэлектрическая проницаемость диэлектрика определяется его способностью поляризоваться в электрическом поле, вид зависимости $\epsilon(\omega)$ качественно должен повторить зави- симость от частоты вынуждающей силы амплитуды дисперсии (см. гл. II, § 5). На рис. 105 показан характер зависимостей от частоты вынуждающей силы амплитуды поглощения (а), амплитуды дисперсии (б) и диэлектрической проницаемости $\epsilon(\omega)$ (в). Величина ϵ'

ранна дисперсионной способности вещества в постоянном электрическом поле, при резонансной частоте ω_0 дисперсия не приближается (нет смещения зарядных частиц в фазе с вынужденной силой), поэтому $\epsilon = 1$. На высоких частотах зарядные частицы вообще не успевают реагировать на переменное электрическое поле, следовательно, при $\omega \rightarrow \infty$, $\epsilon \approx 1$. Учитывая, что фазовая скорость распространения электромагнитных волн $v = c/\sqrt{\epsilon\mu}$, причем для большинства веществ магнитная проницаемость $\mu \approx \mu_0$ — постоянная порядка единицы, получаем

$$dv/d\lambda = (dv/d\epsilon) (d\epsilon/d\lambda) = - (v/2\epsilon) (d\epsilon/d\lambda) \quad (6.17)$$

Осложив групповую скорость электромагнитных волн может быть записана в форме:

$$v_g = v \left(1 + \frac{2}{2\epsilon} \frac{d\epsilon}{d\lambda} \right) \quad (6.18)$$

Из соотношения (6.18) следует, что во всем спектральном дисперсионной зоне, кроме области волн близки поглощения, дисперсия электромагнитных волн нормальная (соответствует области спектра обозначены на рис. 105 цифрой I). В интервале II, соответствующей полюсу поглощения электромагнитных волн в данном материале, дисперсия аномальная. Обусловим теперь некоторые особенности распространения волновых пакетов в дисперсионных средах. На рис. 106 показан волновой пакет в три последовательных момента времени ($t_3 > t_2 > t_1$).

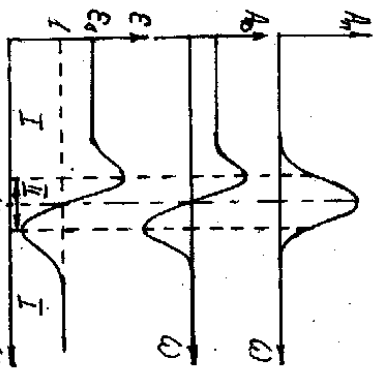


Рис. 105

Поскольку в дисперсионной среде групповая скорость (характеризующая скорость переноса энергии волнового пакета) не равна фазовой скорости волн (которая характеризует скорость перемещения по оси x максимумов "несущей" частоты $\omega < \omega_0$), волновой пакет при его перемещении будет постоянно видоизменяться. В случае нормальной дисперсии ($v_g < v$) в левой части пакета будет все время как бы "наормаль" волна частоты $\omega < \omega_0$ и, перемещаясь быстрее следующей

пакета, нечаять на его правой границе.

Если волна, составляющая пакет, занимает достаточно узкий диапазон частот $\Delta\omega$, так что соответствующий участок дисперсионной кривой можно считать линейным, то произвольная $d\omega/dk$ одинакова во всем интервале $\Delta\omega$, и вопрос об определении групповой скорости, характеризующей перемещение максимума отбрасывается волнового пакета (см. формулу (6.14)). Не требуется специального обоснования. Однако, если величина $d\omega/dk$ в дисперсионной зоне частот $\Delta\omega$ претерпевает заметные изменения, то определение скорости перемещения максимума отбрасываемого волнового пакета требует некоторого уточнения. Так как основной вклад в формирование максимума несет волна средней частоты ω_0 (линейно такая частота "несущей" гамма-иниции), очевидно, что скорость перемещения максимума нужно вычислять по величине произвольной $d\omega/dk$ волн близки частоты ω_0 .

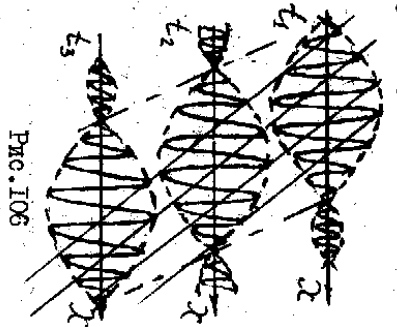


Рис. 106

$$v_{max} \equiv v_g(\omega_0) = d\omega/dk \Big|_{\omega=\omega_0} \quad (6.19)$$

Остановимся вкратце на вопросе об изменении формы волнового пакета при распространении его в дисперсионных средах. Для этого проведем мысленно следующую процедуру — разобьем интервал $\Delta\omega$ на несколько (например, на пять) равных частей $\Delta\omega' = \Delta\omega/5$ — см. рис. 107. Каждая такая часть может рассматриваться как отдельный волновой пакет (будем называть такой пакет "пакетиком"). Каждый "пакетик" даст волновой импульс, показанный на рис. 102, только длина волны $\Delta\lambda'$ и пропорциональная протяженность $\Delta x'$ "пакетика" будут, в соответствии с

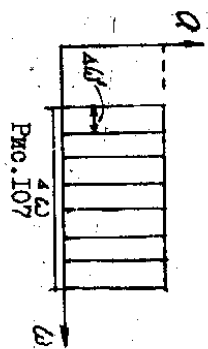


Рис. 107

теоремой о ширине частотной полосы, в 5 раз больше, тем целого пакета. Если групповые скорости, соответствующие средним частотам всех "пакетиков", одинаковы, то волновые импульсы пяти "пакетиков" будут распространяться вместе, между колебаниями в этих импульсах будет происходить интерференция, и в итоге ширина

на суммарного волнового импульса увеличивается в 5 раз (точно так же, как увеличивается в 5 раз ширина главного дифракционного максимума при увеличении количества щелей в 5 раз - см. стр. ...).

Ситуация коренным образом изменится, если частотный диапазон распространяется пакетом ($\Delta\omega$), не очень мал, а среда, в которой распространяется пакет - диспергирующая. Тогда величина производной $d\omega/dk$ для частот, соответствующих средам разных "пакетиков", будут разными; поэтому волновые импульсы от разных "пакетиков" будут распространяться с различными скоростями и с течением времени будут постепенно расфокусироваться. В результате условия интерференции волновых "пакетиков" нарушатся, что немедленно приведет к "расплыванию" результирующего волнового пакета. Подчеркнем вместе с тем, что скорость распространения результирующего волнового пакета может быть определена по формуле (6.19).

Если в момент времени t_0 волновой пакет характеризуется длительностью $(\Delta t)_0$ и пространственной протяженностью $(\Delta z)_0$, то в диспергирующей среде из-за разброса величин групповых скоростей волн Δv_g в пределах пакета параметры, характеризующие протяженность волнового пакета во времени и пространстве в момент $t_1 > t_0$, будут с учетом "расплывания" таковы:

$$(\Delta z)_1 = (\Delta z)_0 + (\Delta v_g)(t_1 - t_0), \quad (6.20)$$

$$(\Delta t)_1 = (\Delta t)_0 + (\Delta v_g)(t_1 - t_0)/v_g \quad (6.21)$$

Величина разброса групповых скоростей по пакету Δv_g может быть записана в виде: $\Delta v_g = (dv_g/dk)\Delta k = (d^2\omega/dk^2)\Delta k$.

Учитывая формулы (6.20) и (6.21), легко показать, что полученные ранее соотношения (6.10) и (6.11) справедливы совершенно строго только в недиспергирующих средах. Используя эти соотношения возможно на начальном этапе распространения пакета (при малых $t_1 - t_0$ "расплыванием" пакета можно пренебречь, $(\Delta z)_1 \approx (\Delta z)_0$; в таком же случае величина Δv_g в пределах пакета. В противном случае вместо распространения пакета

$$\Delta z \cdot \Delta k \approx 2\pi, \quad \Delta x \cdot \Delta(1/\lambda) \approx 1. \quad (6.23)$$

§ 4. Золотые пакеты и импульсы произвольной формы

О сих пор мы имели дело только с "прямоугольными" волновыми пакетами. Нам удалось установить, что такому пакету соответствует импульсный сигнал, форма которого показана на рис. 101 и рис. 102. Таким образом, если наблюдатель принял сигнал, имеющий такую форму, сразу можно сделать вывод о спектральном составе зарегистрированного волнового пакета (с учетом соотношений (6.10) и (6.11)).

Очевидно, что если изменить вид волнового пакета, варьируя амплитуды отдельных составляющих, то будет также измениться форма соответствующего сигнала. Легко установить, насколько широкий диапазон сигналов, которые можно получить, создавая различные по форме волновые пакеты (т.е. задавая разные зависимости амплитуд гармонических компонент от частоты и изменив спектральный состав пакета).

Некоторые соображения на этот счет можно привести, основываясь только на классическом волновом уравнении (2.5). Ранее упоминалось, что любая достаточно гладкая функция $f(x)$ вида $f(x) = f(x/c)$ удовлетворяет этому уравнению. С другой стороны, решениями (2.5) являются также гармонические функции вида:

$$A \sin[\omega(t - x/c)] \quad \text{или} \quad B \cos[\omega(t - x/c)] \quad (6.24)$$

Легко проверить, что любая гладкая функция может быть представлена в виде некоторого набора гармоник (6.24).

Для того, чтобы точно определить этот набор для какой-то функции $f(x)$, воспользуемся методом разложения функции в ряд Фурье. Сначала рассмотрим периодическую функцию времени $F(t)$, полагая, что она удовлетворяет условиям Карниеса. Представим ниже рассмотренные аналитически периодическую на вещественной оси, если провести замену $t \rightarrow x$.

Эти Фурье для функции $F(t)$ выглядят так:

$$F(t) = B_0/2 + \sum_{n=1}^{\infty} A_n \sin n\omega t + \sum_{n=1}^{\infty} B_n \cos n\omega t \quad (6.25)$$

Здесь $\omega = 2\pi/T$, T - период функции; A_n и B_n - коэффициенты, определяемые соотношениями:

* Функция должна удовлетворять условиям Дирихле, см. список на стр. 29.

$$A_n = (2/T) \int_{-T/2}^{T/2} F(t) \sin n\omega t dt,$$

$$B_n = (2/T) \int_{-T/2}^{T/2} F(t) \cos n\omega t dt,$$

$$B_0 = (2/T) \int_{-T/2}^{T/2} F(t) dt.$$

(6.26)

Коэффициент B_0 отличается от нуля для функций, среднее значение которых за период не равно нулю (см. рис. 108, а). Если функция $F(t)$ — четная (рис. 108, б), то все $A_n = 0$; для нечетных функций $B_1 = B_2 = \dots = 0$ (рис. 108, в).

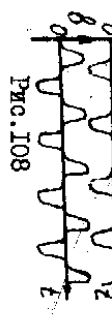


Рис. 108

В качестве примера на рис. 109 показаны три периодические функции (верхняя — четная, средняя и нижняя — нечетные), приведены ряды Фурье для этих функций, а также соответствующие частотные спектры (по горизонтали — частоты, по вертикали — амплитуды гармоник). Видно, что для периодических функций основной вклад в разложение Фурье вносят низкочастотные гармонические составляющие. Чем более плавной является функция, тем быстрее убывает амплитуда гармоник с возрастанием номера n в разложении периодической функции (6.25).

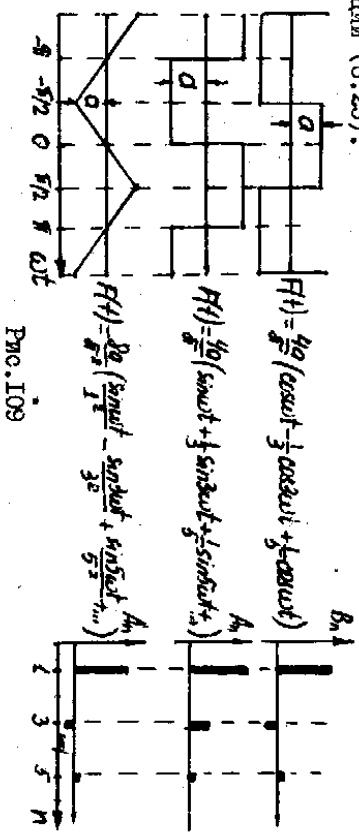


Рис. 109

Для приближенного описания периодических функций, как правило, достаточно небольшого числа первых членов ряда (6.25). Это хорошо видно из рис. 110, на котором показаны графики суммы первых трех (а) и пяти (б) членов ряда Фурье для прямоугольной волны.

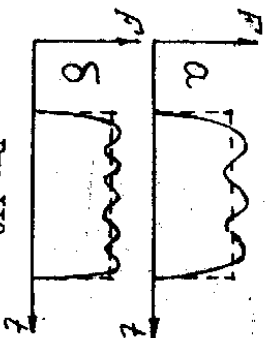


Рис. 110

Правильнее теперь к обсуждению возможности представления в виде суммирования гармоник периодических функций. Пусть в некоторую точку t_0 приходится непериодический сигнал $f(t)$, имеющий форму импульса ограниченной длительности (т.е. функции $\xi(t)$ равна нулю за пределами интервала времени $t_0 < t < t_0 + T_0$ — см. рис. 111, а). Для того, чтобы иметь возможность использовать полученные при рассмотрении периодических функций результаты, воспользуемся следующим приемом. Построим функцию $f(t)$, точно равную функции $\xi(t)$ в интервале $t_0 < t < t_0 + T_0$, а вне этого интервала представляющую собой периодическое повторение функции $\xi(t)$ с периодом T_0 , так что $f(t) = f(t + T_0)$ — см. рис. 111, б. Будем считать, что $f(t)$ удовлетворяет условиям Дирихле и ее можно разложить в ряд Фурье (6.25). Если среднее значение функции $\xi(t)$ равно нулю, т.е.

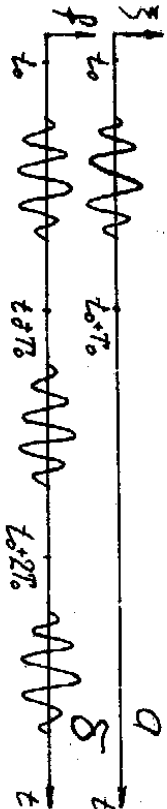


Рис. 111

отсутствует постоянный «сдвиг» сигнала (см. рис. 108, а), то коэффициент B_0 в разложении (6.25) равен нулю. Очевидно, что четная функция $f(t)$, как и ранее, будет содержать в разложении (6.25) только косинусы, нечетная — только синусы. В обоих случаях первые члены соответствующих рядов Фурье — гармоника с частотой $\omega_0 = 2\pi/T_0$. Поскольку выбор периода T_0 в общем, произволен, его можно выбрать столь большим, что частота $\omega_0 = 2\pi/T_0$ будет очень малой. При этом отличие частот соседних гармоник (с близкими номерами n) будет тоже малым ($\delta\omega = \omega_0/n$). В итоге суммирование отдельных гармоник в ряду (6.25) можно заменить интегрированием по частоте:

$$f(t) = \int_{-\infty}^{\infty} A(\omega) \sin \omega t d\omega + \int_{-\infty}^{\infty} B(\omega) \cos \omega t d\omega,$$

(6.27)

где $A(\omega) = A(\omega)e$, $B(\omega) = B(\omega)e$, $B(\omega) = B(\omega)e$ (6.28)

Кажные пределы в интегралах (6.27) взяты равными нулю, так как при бесконечном возрастании T_0 частоты самых низкочастотных составляющих ряда (6.25) стремятся к нулю. Детальный анализ трансформации частотного спектра периодической функции $f(t)$ при увеличении периода и перехода в пределе к одиночному сигналу $\xi(t)$ будет проведен в следующем параграфе (п.3).

Аналитическим путем можно определить, воспользовавшись соотношениями (6.26) и (6.28):

$$A(\omega) = 2(\omega T_0)^{-1} \int_{-T_0/2}^{T_0/2} f(t) \cos \omega t dt, \quad (6.29)$$

$$B(\omega) = 2(\omega T_0)^{-1} \int_{-T_0/2}^{T_0/2} f(t) \sin \omega t dt. \quad (6.29)$$

В последних равенствах учтено, что $\omega T_0 = 2\pi$, а величина интеграла по периоду от искусственно сдвинутой периодической функции $f(t)$ точно равна интегралу по промежутку от $-\infty$ до $+\infty$ от одиночного непериодического импульса $\xi(t)$.

Разматривая вытекающее, запишем представляющее непериодическую функцию времени в виде т.н. "интеграла Фурье":

$$\xi(t) = \int_{-\infty}^{\infty} A(\omega) \cos \omega t dt + \int_{-\infty}^{\infty} B(\omega) \sin \omega t dt \quad (6.30)$$

где коэффициенты $A(\omega)$ и $B(\omega)$ определяются правилами равенств (6.29).

Мы уже неоднократно убеждались в пользе нечетности описания функций времени и пространства, поэтому очевидно, что "пространственный импульс" — записывается в какой-то момент картина распределенности по оси x одиночного сигнала — также может быть представлена в виде совокупности гармонических волн, аналогично (6.30), только ωt при этом нужно заменить на kx .

Соотношения (6.29), таким образом, позволяют определить спектральный состав сигналов произвольной формы. Пропедевтура, описанная формулами (6.26), называется Фурье-анализом сигнала или волнового пакета. Успешнее парадигма мы проанализируем возможность Фурье-анализа на примере нескольких сигналов, с которыми довольно часто приходится встречаться на практике.

§ 5. Фурье-анализ волновых пакетов и импульсов

1. Начнем Фурье-анализ сигналов с рассмотрения простейшего волнового пакета — прямоугольного частотного спектра, который мы уже анализировали, пользуясь методом векторных диаграмм (см. гл. VI, § 2).

Пусть функция $A(\omega)$ равна нулю во всем спектральном диапазоне, а функция $B(\omega)$ задана соотношением:

$$B(\omega) = \Delta \omega \quad \omega_1 \leq \omega \leq \omega_2, \quad \Delta \omega \quad (6.31)$$

$$B(\omega) = 0; \quad \omega < \omega_1, \quad \omega > \omega_2 = \omega_1 + \Delta \omega$$

Постоянное значение функции $B(\omega)$ в интервале частот от ω_1 до ω_2 задано таким, чтобы нормировать ее интеграл по частоте на единицу:

$$\int_{\omega_1}^{\omega_2} B(\omega) d\omega = 1. \quad (6.32)$$

Воспользовавшись формулой (6.30) и учитывая, что $A(\omega) = 0$, получаем:

$$\xi(t) = \int_{\omega_1}^{\omega_2} B(\omega) \cos \omega t d\omega = (\sin \omega_2 t - \sin \omega_1 t) / \Delta \omega t \quad (6.33)$$

Представляя разность синусов в виде удвоенного произведения косинуса полусуммы углов на синус полуразности, имеем:

$$\xi(t) = \frac{\sin(\Delta \omega t / 2)}{\Delta \omega t / 2} \cos(\omega_0 t) \quad \omega_0 = A(\omega) \cos \omega_0 t \quad (6.34)$$

Таким образом, мы пришли к уже известному нам результату: прямоугольный волновой пакет имеет импульс, представляющий собой "диффузное" колебание со средней частотой ω_0 , а длительность импульса сравнительно медленно уменьшается со временем по закону:

$$A(t) = \frac{\sin(\Delta \omega t / 2)}{\Delta \omega t / 2} \quad (6.35)$$

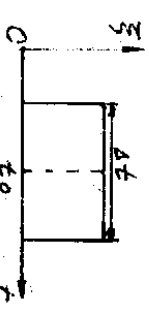
Формула (6.35) аналогична (6.8); фазовый сдвиг сигнала достигнут при соотношении (6.8) т.е. $\Delta \omega t$ в (6.35) обозначено отсюда — в обоих случаях это величина без меры "диффузии" составляющих прямоугольного пакета. Какое-либо значение функции (6.8) в (6.35), конечно, отличают, поскольку для функции $B(\omega)$

принято условие нормировки (6.31). Максимум (6.35) достигается при $t = 0$ и равен единице.

Заметим, что в задаче с дискретными частотными спектром прямоугольного волнового пакета (§ 2) аналогом интеграла $\int_{-\infty}^{\infty} f(\omega) d\omega$ является сумма амплитуд A всех N компонент пакета, т.е. произведение NA , которое равно максимальной амплитуде импульса A_m (см. рис. 100). Поэтому условие нормировки функции $B(\omega)$, полностью эквивалентное задаче, рассмотренной в § 2, таково:

$$\int_{-\infty}^{\infty} B(\omega) d\omega = A_m \quad (6.36)$$

Используя (6.36) соответствующим постоянная величина амплитуды "непредвижно" пакета, равная $A_m (\Delta\omega)^{-1}$ при $\omega_1 < \omega < \omega_2 = \omega_1 + \Delta\omega$ считаем $\xi(t)$ - см. рис. 112. Пусть t_0 - время, соответствующее центру импульса. Для удобства сравнения с задачей о "непредвижном" прямоугольном частотном спектре проинтегрируем импульсный сигнал:



$$\int_{-\infty}^{\infty} \xi(t) dt = 1 \quad (6.37)$$

Из (6.37) следует, что амплитуда импульса равна:

$$\xi(t) = 1/\Delta t \quad \text{при } (t_0 - \Delta t/2) < t < (t_0 + \Delta t/2) \quad (6.38)$$

Из рис. 112 видно, что $\xi(t)$ - четная функция ($t - t_0$). Поэтому интеграл Фурье для этой функции можно записать в форме:

$$\xi(t) = \int_{-\infty}^{\infty} B(\omega) \cos \omega(t - t_0) d\omega, \quad (6.39)$$

а спектральный состав гармоник соответствующего пакета найдем по формуле (6.39):

$$B(\omega) = (A)^{-1} \int_{-\infty}^{\infty} \xi(t) \cos \omega(t - t_0) dt \quad (6.40)$$

Интегрируя (5.40), получаем:

$$B(\omega) = \frac{1}{A} \frac{\sin(\omega \Delta t / 2)}{\omega \Delta t / 2} \quad (6.41)$$

Из рис. 113 составляем: прямоугольный частотный спектр (а) и амплитуда соответствующего сигнала (б) в различные моменты времени:

а также прямоугольный импульсный сигнал (в) и соответствующий частотный спектр (г).

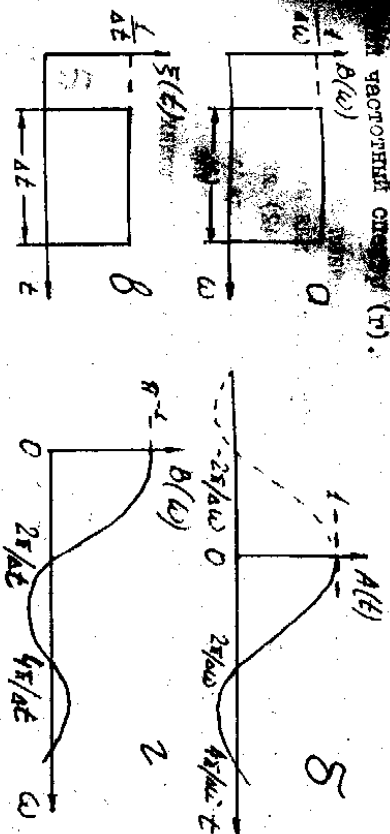


Рис. 113

Оригинальные значения амплитуды означают, что в соответствующих частотных диапазонах на рис. 113, б фаза несущей частоты $\omega < \omega_0$ изменяется на π . Аналогично, в спектре частот на рис. 113, г присутствуют гармоники, которым соответствуют отрицательные значения $B(\omega)$; начальные фазы соответствующих гармоник сдвинуты на π .

Из рис. 113 видно, что имеется однозначное соответствие между функциями $B(\omega)$ и $\xi(t)$ - представляем одну из этих функций в виде интеграла Фурье, получаем другую. Также пара функций принято называть "Фурье-образом" друг друга, а переход от одной к другой - Фурье-преобразованием.

3. Проследим трансформацию, которую претерпевает спектр этого гармоник периодической функции по мере увеличения периода T и в пределе превращения этой функции в одиночный сигнал. Для того чтобы анализ удобно выразить последовательность импульсов постоянной длительности Δt , период повторения которых T .

Начнем мы с "прямоугольной волны", которую рассматривали в начале § 4 (см. рис. 109), и будем постепенно трансформировать функцию, увеличивая период повторения импульсов в два раза ($T_1 = 2T$, $T_2 = 4T$, ...). В конце концов мы придём к одиночному прямоугольному импульсу - см. рис. 114(а-г). Отсчет времени $t = 0$ начнем с середины одного из импульсов, так что наша периодическая функция - четная, поэтому рис. Фурье для нее должен состоять только из косинусов:

$$F(t) = B_0/2 + \sum B_n \cos \omega_n t, \quad \omega_n = 2\pi n/T \quad (6.42)$$

Поскольку "прямоугольная волна", показанная на рис. 114, а, несимметрична (ор. с рис. 109), коэффициент B_0 для нее отличен от нуля. Но этот постоянный член разложения (6.42) интересовать нас не будет, потому что по мере увеличения периода он будет постепенно уменьшаться, стремясь к нулю. В данном случае мы сконцентрируем внимание только на гармонических составляющих ряда (5.42).

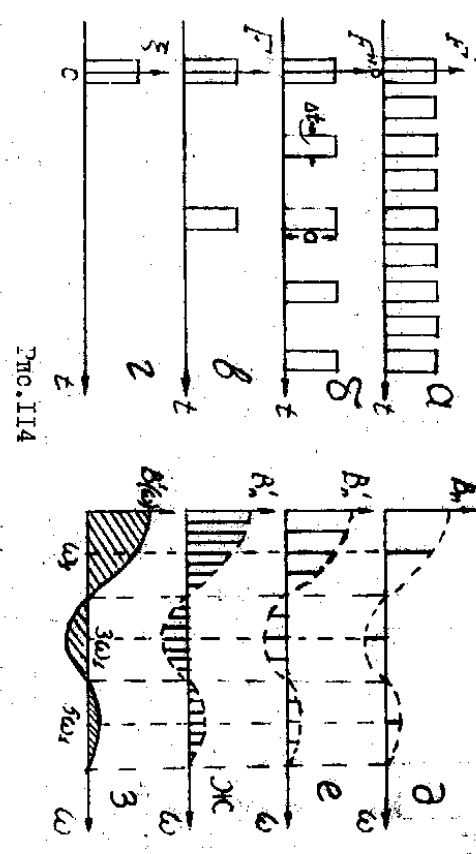


Рис. 114 Амплитуды гармоник B_n находим, используя (6.26):

$$B_n = 2T^{-1} \int_0^{\Delta t} F(t) \cos \omega_n t dt \quad (6.43)$$

Допуская, что амплитуда импульсов равна Q , а период повторения их — T , получаем:

$$B_n = \left(\frac{4Q}{T} \right) \sin \omega_n \frac{\Delta t}{2} \left. \begin{array}{l} \Delta t/2 \\ 0 \end{array} \right|_0^{\Delta t/2} = 2Q \left(\frac{\Delta t}{T} \right) \frac{\sin(\omega_n \Delta t/2)}{\omega_n \Delta t/2} \quad (6.44)$$

Для постоянной амплитуде импульсов совершенно очевидно, что для "удаленных" половинки из них амплитуды гармоник уменьшаются пропорционально величине отклонения $\Delta t/T$. Так как мы анализируем только спектральные состав сигналов, на графиках рис. 114 (б-г) будем изображать коэффициенты $B_n = \theta_n T / \Delta t$, величины которых не зависят от отклонения $\Delta t/T$. Вид функциональной зависимости $B_n(\omega)$ показан на рис. 113, г и перенесен пунктирной линией на рис. 114 (г-з), на котором ось частот проградирована в единицах,

соответствующих частоте первой гармоники сигнала $F(t)$, показанного на рис. 114, а.
Положение первого (самого низкочастотного) "узла" на зависимости $B_n(\omega)$, изображенных на рис. 114 (д-з), определяется условием (см. рис. 100):

$$n \omega_n \Delta t / 2 = \pi \quad (6.45)$$

Обозначая $\omega = n \omega_n$ и учитывая, что для "прямоугольной волны" (рис. 114, а) $\Delta t = T/2$, получим частоту, соответствующую первому узлу функции $B_n(\omega)$ на рис. 114, д: $\omega = 2\omega_1$. Из рис. 114, д видно, что амплитуды всех четных гармоник в разложении "прямоугольной волны" в ряд Фурье равны нулю, так как попадают в узлы функции $B_n(\omega)$. Амплитуды всех нечетных гармоник ($\omega = \omega_1, 3\omega_1, 5\omega_1$ и т.д.) попеременно меняют знак (см. также рис. 109). Точка гармоник, показаны на рис. 114, д пифрема, представляли ряды: с соответствующими вертикальными стрелками.

Удалив из последовательности импульсов, показанных на рис. 114, а, каждый второй; в результате получим периодическую функцию $F'(t)$, период которой $T' = 2T$, а следовательно частота в разложении (6.42):

$$\omega_n' = 2\pi / T' = \omega_n / 2 \quad (6.46)$$

Остаеться заметить, что расстояние между соседними гармониками по оси частот ряда Фурье для функции $F'(t)$ будет в два раза меньше, чем для функции $F(t)$ — см. рис. 114, д, е).

Снова проведем "прожективные" последовательности импульсов, оставляя каждый второй — см. рис. 114, в. Первой функцией опять увеличится в два раза, а следовательно частота — уменьшается в два раза аналогично (6.46). Этому спектру частот ряда Фурье для функции $F(t)$ стал еще в два раза "гуще" — см. рис. 114, ж.

Очевидно, что проделав эту процедуру некое раз, мы приходим по существу к одиночному импульсу (рис. 114, г), который описывается бесконечно большим количеством гармоник — т.е. непрерывным распределением гармоник по частотам — рис. 114, з. Место ряда Фурье в этом случае необходимо использовать интеграл Фурье для представления функции в виде совокупности гармоник — см. соотношение (6.25) и (6.27).

Как уже обсуждалось ранее, чем меньше длительность импульса Δt , тем шире спектр частот гармоник, составляющих этот импульсный сигнал (см. рис. 113, г).

4. Проведем Фурье-анализ заужающего колебательного процесса, происходящего по закону (см. (I.36), рис. 7):

$$f(t) = A_0 \exp(-\beta t) \cos \omega t; \quad \omega_0^2 = \omega_0^2 - \beta^2; \quad t > 0 \quad (6.47)$$

Функция (6.47) — непериодическая, поэтому может быть представлена в виде интеграла Фурье:

$$f(t) = \int_{-\infty}^{\infty} A(\omega) \sin \omega t d\omega + \int_{-\infty}^{\infty} B(\omega) \cos \omega t d\omega \quad (6.48)$$

Коэффициенты Фурье определяются соотношениями:

$$A(\omega) = (\beta)^{-1} \int_0^{\infty} f(t) \sin \omega t dt = (A_0/\beta)^{-1} \int_0^{\infty} e^{-\beta t} \cos \omega t \sin \omega t dt =$$

$$= (A_0/2\beta) \int_0^{\infty} e^{-\beta t} [\sin(\omega + \omega_0)t + \sin(\omega - \omega_0)t] dt \quad (6.49)$$

$$B(\omega) = (\beta)^{-1} \int_0^{\infty} f(t) \cos \omega t dt = (A_0/\beta) \int_0^{\infty} e^{-\beta t} \cos \omega t \cos \omega t dt =$$

$$= (A_0/2\beta) \int_0^{\infty} e^{-\beta t} [\cos(\omega + \omega_0)t + \cos(\omega - \omega_0)t] dt \quad (6.50)$$

Используя табличные интегралы

$$\int_0^{\infty} e^{-\beta t} \sin \omega t dt = \beta / (\beta^2 + \omega^2); \quad \int_0^{\infty} e^{-\beta t} \cos \omega t dt = \beta / (\beta^2 - \omega^2) \quad (6.51)$$

формулы (6.49) и (6.50) легко привести к виду:

$$A(\omega) = (A_0/2\beta) \{ \beta / (\beta^2 + (\omega + \omega_0)^2) + \beta / (\beta^2 + (\omega - \omega_0)^2) \} \quad (6.52)$$

$$B(\omega) = (A_0/2\beta) \{ \beta / (\beta^2 + (\omega + \omega_0)^2) + \beta / (\beta^2 + (\omega - \omega_0)^2) \} \quad (6.53)$$

Полная зауженная малым ($\beta^2 \ll \omega_0^2$, $\omega_0 \gg \omega$) и расширяемая область частот вблизи ω_0 , в соотношениях (6.52) и (6.53) можно пренебречь первыми слагаемыми:

$$A(\omega) \approx (A_0/2\beta) (\omega - \omega_0) / [(\omega - \omega_0)^2 + \beta^2] \quad (6.54)$$

$$B(\omega) \approx (A_0/2\beta) \beta / [\beta^2 + (\omega - \omega_0)^2] \quad (6.55)$$

Интенсивность колебаний определяется суммой квадратов коэффициентов $A(\omega)$ и $B(\omega)$, поэтому имеем

$$I(\omega) = A^2(\omega) + B^2(\omega) \approx (A_0/2\beta)^2 \{ \beta^2 + (\omega - \omega_0)^2 \} \quad (6.56)$$

Легко видеть, что интенсивность колебаний, в соответствии с формулой (6.56), пропорциональна функции $R(\omega)$ — лоренцевской функции Фурье (см. (I.70)).

Отсюда следует важный практический вывод — для того, чтобы

экспериментально определить характеристики заужающего колебательного процесса, достаточно провести Фурье-анализ этого процесса. Обычно это требует значительно меньшего времени, чем изучение вынужденных колебаний в исследуемой системе.

5. Пусть плоская монохроматическая волна распространяется по оси x — рис. 115, а. Поместим на ее пути линзу сель шириной δ , ограничивающую просветленно размер фронта волны по оси y — рис. 115, б. В результате дифракции амплитуда результирующего колебания A будет зависеть от угла дифракции так, как это показано на рис. 115, в (интенсивность волны, пропорциональная квадрату амплитуды, представлена для разных углов дифракции на рис. 56)*

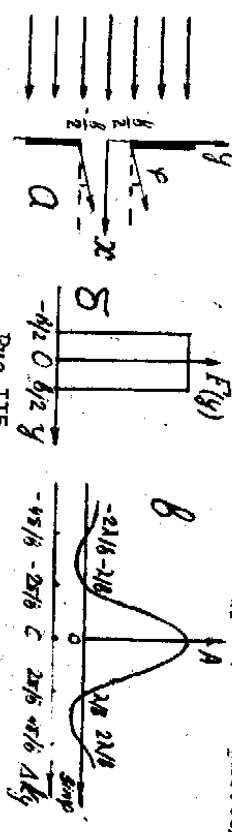


Рис. 115

Положение линзы в дифракционной картине определяется соотношением (4.14), которое можно переписать так:

$$(2\pi/\lambda) \sin \alpha = \pm m / (2\pi/\delta) \quad (6.57)$$

Заметим, что $k = 2\pi/\lambda$, а $k \sin \alpha = \Delta k_y$ — изменение соответствующего волнового вектора в результате дифракции по оси y (амплитуда волнового вектора остается неизменной). В итоге торсиональную ось на рис. 115, в можно проинтерпретировать в величинах Δk_y . Согласно рис. 115, б, в можно проинтерпретировать в величинах Δk_y . Согласно рис. 115, в соответствующее выполнение теоремы о ширине волнового пачка в форме:

$$\Delta k_y \cdot \delta = \Delta k_y \cdot \Delta y = 2\pi \quad (6.58)$$

Эта картина образцов, дифракционная картина от щели, соответствует, но, может рассматриваться как Фурье-образ (в Δk_y — просветленность) ограниченного по оси y фронта плоской волны. Представление о дифракции как Фурье-преобразовании оказывается чрезвычайно полезным при рассмотрении дифракции на более сложных препятствиях. Изменяя направление знака амплитуды на рис. 115, в та же, что и на рис. 100 — см. текст на стр. 121.

5.6. Представление о фуре-спектрометрии

Фуре-спектрометр - это оптический прибор, в котором спектры излучения объекта получают в две стадии. На первой стадии детектируется так называемый "интерференционный объект", на второй - проводится измерительная обработка интерференции, в результате которой и восстанавливается спектральный состав излучаемого излучения.

Для получения интерференции используется интерферометр Майкельсона - несомненный элемент любого фуре-спектрометра. Устройство интерферометра Майкельсона о схематически показано на рис. 116. Параллельный лучок исследуемого излучения через входное отверстие спектрометра направляется на полупрозрачное зеркало 3, плоскость которого составляет с лучком угол 45°. Половина составляющих лучок 0

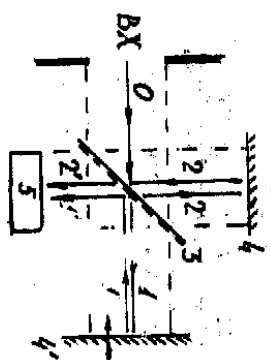


Рис. 116

волн проходит через полупрозрачное зеркало (луч 1), а другая половина отражается от него (луч 2). Далее луч 1 и 2 отражаются от зеркал 4 и 4', соответственно; затем они вновь попадают на зеркало 3, где опять проходят разделение каждого из этих лучей на два (на рисунке показаны только лучи 1' и 2', направления распространения которых совпадают). Если волны 1' и 2' когерентны, ретрансприрующая прибор 5 захватывает интерференцию. Устройство интерферометра Майкельсона таково, что интенсивность интерференционных лучей 1' и 2' строго одинакова.

Сначала предполагали, что на вход интерферометра попадает некогерентное излучение частоты ω . После разделения входного луча на два, каждый из вновь образованных лучей (1 и 2) проходит свой путь, после чего они вновь соединяются (лучи 1' и 2'). Ранее было показано (см. соотношение (3.9)), что, если интенсивности лучей 1' и 2' равны $I_0(\omega)/2$, то интенсивность результирующих комбинаций на выходе прибора 5 будет равна:

$$I(\omega) = I_0(\omega) \cos^2(\Delta\varphi) \quad (6.59)$$

где $\Delta\varphi$ - разность фаз комбинации между лучами 1' и 2'.

В начальный момент времени зеркала 4 и 4' установлены так, что величина $\Delta\varphi = 0$. Затем одно из них (зеркало 4', например) начинает поступательно перемещаться вдоль луча 1 с постоянной скоростью V . Так как разность фаз $\Delta\varphi$ связана с разностью хода лучей 1' и 2' соотношением $\Delta\varphi = k\Delta l$, получаем:

$$\Delta\varphi = 2V\omega t / c \quad (6.60)$$

Здесь V - фазовая скорость распространения волн; множитель два отражает то обстоятельство, что Δl изменяется со скоростью $2V$. Поскольку величина $\Delta\varphi$ периодически изменяется со временем, результирующий прибор 5 захватывает присутствие в сигнале переменной составляющей

$$I(\omega) = I_0(\omega) \cos^2 \omega t \quad (6.61)$$

где $\tau = 2V/c$.

Если на входе интерферометра присутствуют волны двух частот, то переменный сигнал результирующего прибора 5 получается сложением двух составляющих типа (6.61):

$$I(\tau) = I_1(\omega) \cos \omega_1 \tau + I_2(\omega) \cos \omega_2 \tau \quad (6.62)$$

Здесь $I_1(\omega_1)$ - интенсивность волн с частотой ω_1 , $I_2(\omega_2)$ - интенсивность волн с частотой ω_2 на входе интерферометра.

Очевидно, что если частотный спектр исследуемого сигнала непрерывный, то переменная составляющая отклика результирующего прибора 5 захватится в виде интеграла

$$I(\tau) = \int_{-\infty}^{\infty} I(\omega) \cos \omega \tau d\omega \quad (6.63)$$

Легко видеть, что выражение (6.63) - не что иное, как Фуре-преобразование частотного спектра входного сигнала $I(\omega)$. В частности, если последующий сигнал представляет собой наложение волн одинаковых амплитуд, равномерно заполненных частотный диапазон от ω_1 до $\omega_2 + \Delta\omega$ (прямоугольный частотный спектр), то прибор 5 захватывает сигнал, изображенный во времени так, как это показано на рис. 113,б.

В общем случае оптический спектр входного сигнала может быть найден, как это следует из предыдущего параграфа, с помощью обратного преобразования Фуре - в это составляет второй этап получения искомого спектра:

$$I(\omega) = \int_{-\infty}^{\infty} I(\tau) \cos \omega \tau d\tau \quad (6.64)$$

Идея Фурье-спектроскопии была высказана Майкельсоном сто лет назад (математический аппарат Фурье преобразований к тому времени был уже развит). Однако, практическая реализация метода стала возможной лишь после появления дифракционных решетчатых дисперсионных композитов, с помощью которых можно достаточно быстро проводить численное интегрирование (6.54). В современных вариантах Фурье-спектрометров ЭМ используется не только для обработки экспериментальных данных, но и для автоматического управления экспериментальной установкой.

Принципиальным отличием Фурье-спектроскопии от традиционной спектроскопии является то, что Фурье-спектрометр регистрирует сразу весь спектр последующего сигнала, а не его малейший участок, как обычный спектрометр с диспергирующим элементом (призмой или дифракционной решеткой). Соответственно, на порядок возрастает объем получаемой в единицу времени информации, а также разрешающая способность аппарата. Например, в инфракрасной области спектра Фурье-спектрометр позволяет получать спектральное разрешение линий, отличающихся на тысячные доли см^{-1} . Фурье-спектрометры для дальней инфракрасной области спектра (50-2000 см^{-1}) находят широкое применение в химии.

П Р И Л О Ж Е Н И Е. ИНТЕРФЕРЕНЦИОННЫЕ МЕТОДЫ ИЗМЕРЕНИЙ

Принцип действия всех интерференционных приборов одинаков - лучок света разделяется на два или более когерентных пучков, которые проходят различные оптические пути и затем вновь накладываются друг на друга. Наблюдаемая интерференционная картина зависит от трех параметров: разности хода лучей Δl , показателя (или показателей) преломления среды n , и длины волны используемого света λ . Соответственно, при двух известных параметрах из интерференционной картины может быть найден третий параметр: если это разность хода Δl , то прибор называется интерференционным компаратором; если это показатель преломления, - интерференционным рефрактометром; интерференционные аппараты для измерения длины волны называются интерференционными спектральными приборами. Кратко остановимся на устройстве некоторых интерферометров, относящихся к указанным типам приборов.

1. И Н Т Е Р Ф Е Р Е Н Ц И О Н Н ы е К о м п а р а т о р ы

Для точного измерения длин в технике широко используются так называемые "концевые меры" или "плитки". В частности, они служат для проверки и градуировки измерительного инструмента (линейки, штангенциркуля и т.п.). Плитки представляют собой precisely параллелепипеды строго определенного сечения (9×30 или $9 \times 35 \text{ мм}^2$) с плоскопараллельными гранями. Длина плиток различна - от 1 до 1000 мм. Поверхности плиток столь высокого качества, что при сдвигании двух плиток они за счет сил молекулярного взаимодействия как бы "оклеиваются", так что из нескольких плиток можно составлять новую концевую меру. Обычно плитки составляют набор, с помощью которого можно изготовить любую требуемую концевую меру с заданной точностью (например, 0,01 мм или 0,001 мм).

С помощью интерференционного компаратора можно сравнивать длины изготовленных плиток с эталонными, либо непосредственно с длиной волны света. Идея метода иллюстрируется рисунком П.7. Две плитки - эталонная Э и измеряемая И устанавливаются между двумя плоскопараллельными стеклянными или кварцевыми пластинами П₁ и П₂. На систему направляются параллельный пучок света в областях I и II наблюдается интерференционная картина (полосы равной толщины при небольшой непараллельности П₁ и П₂). По виду интерференционной картины в области II можно судить о качестве поверх-

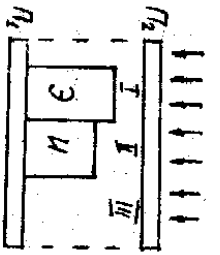


Рис. 117

ности пленки И, а по сдвигу интерференционных полос в областях I и II - о разности длин концевых мер Э и И. Длину исследуемой пленки в принципе можно определить и непосредственными сравнением ее с длиной световой волны - для этого необходимо найти величину сдвига интерференционных картинок в областях I и II - см. рис. 117. Особенности современных методов определения длин являются то, что число волн, укладываемых на длине концевой меры, получается без непосредственного счета интерференционных полос. Номер соответствует вышедшей интерференционной полосе определяется косвенным путем, так называемый "особым совпадением дробных частей" (по совпадению интерференционных максимумов от разных длин волн).

В качестве интерференционного компаратора можно использовать интерферометр Майкельсона - см. рис. 116, поскольку в этом приборе эталонную и измеряемую длины можно пространственно разделить (поместить в разные плечи интерферометра). Одно из зеркал интерферометра Майкельсона (4 или 4' на рис. 116) можно закрыть - непосредственно на исследуемом объекте любой формы.

Интерференционные компараторы в сочетании с микроскопом позволяют с высокой степенью точности (по сотням долей длины волны) изучать геометрический рельеф поверхности.

С помощью современных интерференционных компараторов длина в несколько метров может быть измерена с точностью до 0,005 мкм.

II. Интерференционный рефрактометр Жамена

Интерферометр Жамена - типичный двухлучевой интерференционный прибор, широко применяемый для измерения показателей преломления жидкостей и газов. Устройство рефрактометра Жамена показано на рис. 118.

Разделительный лучок монохроматического света 0 после отщепления от зеркала и задней поверхности стеклянной пластины П₁ разделяется на два луча - I и II. Лучи I и II проходят через одинаковые кюветы К₁ и К₂ и попадают на стеклянную пластину П₂, которая сдвинута поперек относительно пластины П₁. Для наблюдения лучей, отраженных от передней и задней поверхностей пла-

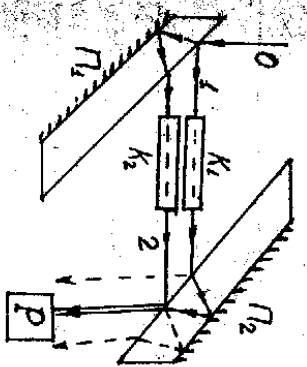


Рис. 118

стины П₂, накладываются друг на друга (эти лучи показаны на рис. 118 сплошными линиями) и интерферируют в регистрирующем устройстве Р. Если в качестве регистрирующего устройства используется зрительная труба, то наблюдатель будет видеть систему полос равной толщины (пластины П₁ и П₂ образуют "воздушный клин").

В контрольном эксперименте обе кюветы заполнены одним и тем же веществом, положение максимумов и минимумов интерференционной картины строго фиксируется. После этого одна из кювет заполняется исследуемым веществом и регистрируется величина сдвига интерференционной картины. Известно, что показатели преломления веществ, находящихся в кюветках К₁ и К₂, разные, между лучами I и II возникает дополнительная оптическая разность хода $\Delta = (n_2 - n_1)l$, где n_1 и n_2 - показатели преломления веществ в кюветках К₁ и К₂, l - длина кювет. Правильное смещение интерференционной картины по сравнению с контрольной указывает, какой из показателей преломления (n_1 или n_2) больше, а из величины сдвига легко вычислить искомый показатель преломления n_2 .

Одной из точностей определения показателя преломления интерференционным методом. Пусть длина кювет $l = 5$ см, длина волны исследуемого света $\lambda = 5 \cdot 10^{-7}$ м, а минимальная величина сдвига интерференционной картины, регистрируемая прибором Р, соответствует смещению на 0,1 полос. Тогда получаем

$$\Delta n = n_2 - n_1 = \Delta l / l = 0,1 \cdot 5 \cdot 10^{-7} \text{ м} / 5 \cdot 10^{-2} \text{ м} = 10^{-6} \quad (\text{П.1})$$

Точность определения может быть повышена, во-первых, удлинением кювет К₁ и К₂, а во-вторых, использованием более совершенной регистрирующей аппаратуры. В современных лазерных интерференционных рефрактометрах точность определения Δn достигает седьмого-восьмого десятичного знака.

Рефрактометрия находит широкое применение в химии для определения состава и структуры веществ (чаще всего газов и разбавленных растворов). Для иллюстрации возможностей метода в следующей таблице приведены показатели преломления разбавленных водных

Вес сахарозы, в процентах	0	1	2	3
Показатели преломления	1,33299	1,33443	1,33598	1,33733

Видно, что при точности метода 10^{-7} - 10^{-8} легко зарегистрировать изменения концентрации раствора в тысячные доли процента (одна ложка сахара в пятилитровом бассейне).

Измерение показателя преломления вещества позволяет, кроме того, проверить правильность предположений о составе и строении этого вещества путем определения так называемой "молекулярной рефракции".

$$R_M = \frac{n^2 - 1}{n^2 + 2} \frac{M}{\rho} \quad (П.2)$$

где M - молекулярная масса; ρ - плотность вещества.

В соответствии с формулой Лоренц-Лоренца показатель преломления вещества с электронной поляризуемостью составляющих его частиц однозначно связан с величиной этой поляризуемости:

$$\frac{n^2 - 1}{n^2 + 2} \frac{M}{\rho} = \frac{4\pi}{3} N_A \alpha \quad (П.3)$$

(Здесь N_A - число поляризуемых частиц в единице объема). При использовании видимого или ультрафиолетового света поляризуемость вещества этого электронная, поэтому формула Лоренц-Лоренца справедлива. Согласно (П.2) и (П.3), легко видеть, что молекулярная рефракция пропорциональна поляризуемости молекул, из которых состоит исследуемое вещество. Поскольку электронная поляризуемость обладает свойством аддитивности (складывается из поляризуемостей отдельных атомов или связей в молекуле), так же свойством аддитивности обладает и молекулярная рефракция R_M . Поэтому молекулярная рефракция какого-либо вещества можно найти как сумму ряда постоянных слагаемых R_i , соответствующих атомным рефракциям, групповым рефракциям, связанным рефракциям и т.п. В частности, молекулярная рефракция бензола может быть вычислена как сумма связанных рефракций:

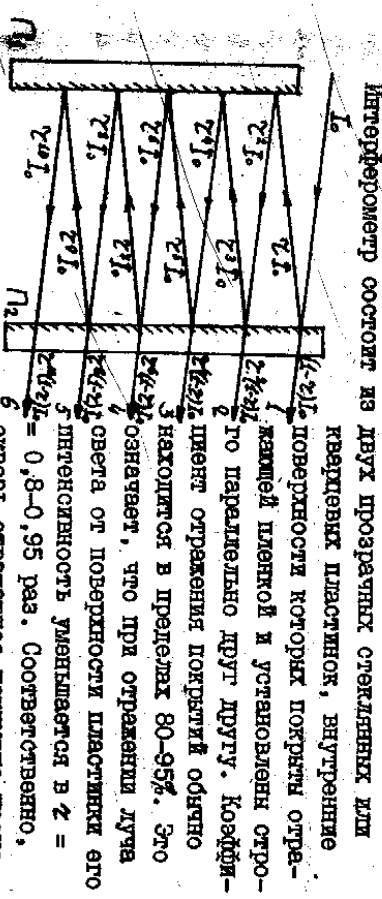
$$R_{C_6H_6} = 6R_{C-H} + 3R_{C-C} + 3R_{C=C} = 26,307. \quad (П.4)$$

Здесь связаны рефракции равны соответственно $R_{C-H} = 1,705$; $R_{C-C} = 1,209$; $R_{C=C} = 4,15$.

В случае растворов молекулярная рефракция сохраняет свойство аддитивности в тех случаях, когда при растворении поляризуемости компонентов не изменяется. При этом молекулярная рефракция раствора будет линейной функцией рефракций отдельных компонентов раствора с коэффициентами, учитывающими содержание этих компонентов в растворе.

III. Интерференционный спектр радльни апарат Фабри-Перо

Интерферометр Фабри-Перо представляет собой многолучевой прибор, предназначенный для исследования тонкой структуры спектров в достаточно узком спектральном диапазоне.



Интерферометр состоит из двух прозрачных стеклянных для кварцевых пластинок, внутренне параллельных поверхностей которых покрыты отражающей пленкой и установлены строго параллельно друг другу. Каждый элемент отражения покрытий обычно находится в пределах 80-95%. Это означает, что при отражении луча интенсивность уменьшается в $\gamma = 0,8-0,95$ раз. Соответственно, освещенность покрытия прохода (I - γ) от интенсивности падающего луча.

На систему направляется параллельный (или почти параллельный) лучок света интенсивностью I_0 , который претерпевает многократные отражения от зеркальных покрытий пластины P_1 и P_2 . При этом отражении из системы выходит часть энергии света (лучи 1, 2, 3, ...). Интенсивности нескольких отраженных и прошедших через пластину P_2 лучей показаны на рис. 119 (предполагается, что поглощением света внутри пластины P_1 и P_2 можно пренебречь). Видно, что интенсивность каждого последующего луча, выходящего из интерферометра, меньше интенсивности предыдущего в γ^2 раз. При

Условии ограничения когерентности все выходящие лучи, находясь в расе друг на друга, образуют интерференционную картину. Без применения сообразней линз эта картина, как обсуждалось в гл. II (§ 5), локализована в бесконечности; однако обычно после интерферометра ставится линза и интерференционная картина регистрируется в фокальной плоскости этой линзы. Если падающий на интерферометр пучок света слегка не параллелен, картина будет состоять из светлых и темных полос равного наклона. Существовало, что чем большее количество лучей интерферирует, тем более резкой получится интерференционная картина (точно также, как при увеличении количества щелей дифракционной решетки). Поскольку условия максимумов и минимумов интерференции зависят от длины волны света, положения максимумов для разных длин волн будут отличаться. Таким образом, интерферометр Фабри-Леро будет осуществлять разложение падающего луча света в спектр, т. е. будет выполнять функцию спектрального анализатора.

Проведем оценку важнейших параметров спектрометра Фабри-Леро. Воспользуемся для этого результатами, полученными при анализе параметров дифракционной решетки (гл. IV, § 5).

В частности, для разрешающей способности решетки была получена формула (4.43): $R = mN$, где m - порядок интерференции, N - число щелей. Очевидно, что в случае спектрометра Фабри-Леро под N следует понимать количество интерферирующих лучей, выходящих из аппарата.

Оценим число N следующим образом. Будем полагать, что "продвинутый" интерферирующий луч ослаблен по сравнению с первым в K раз. Тогда, учитывая, что луч под номером N имеет интенсивность $I_N = I_1 e^{-2\alpha(N-1)}$ (см. рис. II.9), получаем:

$$N = \ln K / 2\alpha \quad (II.5)$$

Условно принимаем, что $K = 10^{-2}$ (результат не очень сильно зависит от выбора величины K), получаем из (II.5) следующие значения для наиболее типичных коэффициентов отражения:

α	0,8	0,85	0,9	0,95
N	10	14	22	45

Для того, чтобы оценить порядок интерференции в интерферометре Фабри-Леро, нужно разность хода между двумя соседними лу-

чей, выходящих из интерферометра, разделить на длину световой волны. Поскольку обычно расстояние между пластинами Π_1 и Π_2 выбрано порядка нескольких сантиметров, а разность хода между соседними лучами порядка удвоенного расстояния между пластинами, имеем $m = 10^5 - 10^6$. Учитывая, что $N = 10 - 100$, получаем в итоге разрешающую способность спектрометра Фабри-Леро $R = mN = 10^6 - 10^8$. Это очень большая величина, которая на несколько порядков превышает типичные значения R для примененных или решаемых спектрометров. Совершенно ясно, что для увеличения разрешающей способности спектрального аппарата Фабри-Леро нужно увеличивать расстояние между зеркалами, а также коэффициент отражения покрытия τ . Однако, при этом нужно иметь в виду, что при росте τ существенно уменьшается интенсивность света, прошедшего через прибор. Поэтому обычно выбирают некоторое оптимальное значение $\tau = 0,8 - 0,9$.

Другой важный параметр спектрального аппарата - свободная спектральная область. Так как величина свободной спектральной области равна отношению минимальной длины волны в рабочем диапазоне к порядку интерференции, получаем, что для спектрометра Фабри-Леро эта область очень узкая - всего лишь $10^{-5} - 10^{-6} \lambda$. Поэтому основное применение этого прибора - изучение тонкой структуры оптических спектров в узкой спектральной области.

Запись спектра исследуемого сигнала обычно осуществляется с помощью т. н. "сканирующего" интерферометра Фабри-Леро следующим образом. Интенсивность интерференционной картины в определенной точке регистрируется фотозаписывателем. Одно из зеркал постоянно перемещается, так что расстояние между зеркалами контролируемого образца изменяется. Каждому положению зеркала соответствует выполнение условия максимума интерференции для определенной длины волны. Полученная зависимость амплитуды сигнала, снимаемого с фотозаписывателя, от положения зеркала, легко может быть пересчитана в искомого оптический спектр сигнала.

Л И Т Е Р А Т У Р А

1. Крауфорд Ф. Волны. М.: Наука, 1984. 510 с.
2. Кэтгелъ Ч., Найт В., Рудерман М. Механика. М.: Наука, 1983. 447 с.
3. Савватев И.В. Курс общей физики, т. I. Механика, молекулярная физика. М.: Наука, 1987. 432 с.
4. Савватев И.В. Курс общей физики, т. II. Электричество и магнетизм. М.: Наука, 1988. 496 с.
5. Ландсберг Г.С. Оптика. М.: Наука, 1976. 926 с.
6. Калашников С.Г. Электричество. М.: Наука, 1985. 576 с.
7. Матвеев А.Н. Оптика. М.: Высшая школа, 1985. 351 с.
8. Матвеев А.Н. Механика и теория относительности. М.: Высшая школа, 1986. 320 с.
9. Цейт Г. Физика колебаний и волн. М.: Мир, 1979. 389 с.
10. Бжжан Р. Колебания. М.: Наука, 1986. 190 с.
11. Горелик Г.С. Колебания и волны. М.: ИИИИ, 1950. 551 с.

Учебное издание

Козлов Сергей Николаевич

Колебания и волны

Зав. редакцией Н.М. Дзякова

Редактор С.П. Нестеренко

Удостоверенный редактор Ю.М. Дюбрянская